

هیات تحریریه:

پژوهشگاه مواد و انرژی	دکتر علیرضا آقایی
دانشگاه تبریز	دکتر محمد رضوانی
دانشگاه تربیت مدرس	دکتر رسول صراف ماموری
دانشگاه تربیت مدرس	دکتر پروین علیزاده
شرکت ایرانا	دکتر حسین مولایی
دانشگاه علم و صنعت ایران	دکتر علیرضا میرجیبی
دانشگاه علم و صنعت ایران	دکتر رحیم نقی زاده
دانشگاه تهران	دکتر علی محمد هادیان
شرکت عابس مشهد	دکتر عابس یوسفی

گروه مشاوران:

پژوهشگاه مواد و انرژی	دکتر علی اصغر بهنام قادر
فرآورده‌های دیرگلاز مهر آریان فارس	مهندس نادر خلیلی
مهندسه سیروس روشنفکر فلاخ	مهندسه سیروس روشنفکر فلاخ
انجمن تولید کنندگان کاشی و سرامیک کشور	مهندسه محمد روشنفکر فلاخ
مهندسه میر حسام الدین داعی نیاکی	شرکت گل سرخ گستر آمل
انجمن صنفی کارفرمایی صنعت مواد نسوز	مهندسه علی زاویه
انجمن صنفی صنعت شیشه	مهندسه حسین زجاجی
شرکت آرمیتاژ	مهندسه محمود سالاریه
دانشگاه بین الملل امام خمینی	دکتر آرمان صدقی
دانشگاه ایالتی نیوجرسی	دکتر احمد صفری
صنعت سیمان	مهندسه حسین عزیزیان
شرکت اشکان پارت آفرین	دکتر مهران غفاری
سازمان زمین شناسی کشور	دکتر عابس فاضلی
دانشگاه امیرکبیر	دکتر کاوهس فلامکی
شرکت چنی زرین ایران	مهندسه عباسی قصاعی
دانشگاه علم و صنعت ایران	مهندسه حسین قصاعی
پژوهشگاه علوم و فناوری رنگ	دکتر ابراهیم قاسمی
دانشگاه شفیلد انگلستان	دکتر کاظم قنبری
دانشگاه بریتیش کلمبیا	دکتر مهرداد کشمیری
شرکت معدنی و صنعتی سوراوجین عقیق	دکتر علیرضا گنجی
شرکت لایران	دکتر حمیدرضا نعمتی
دانشگاه آزاد	دکتر امیر عابس نوربخش



سال دهم، شماره پنجم و دوم

۱۳۹۶

ISSN: ۱۷۳۵-۳۳۵۱

«با درجه علمی ترویجی»

صاحب امتیاز: انجمن سرامیک ایران

مدیر مسئول: دکتر مسعود محبی

سردیبیر: دکتر علیرضا سوری

مدیر اجرایی: سعیده علیشاھی

گردآوری مطالب: محبوبه پیریانی

نشانی: تهران، نارمک، دانشگاه علم و صنعت ایران، دانشکده

مهندسی مواد و متالورژی، دفتر انجمن سرامیک ایران

صندوق پستی: تهران، ۱۱۱-۱۶۸۴۵

تلفن: ۷۷۸۹۹۳۹۹

دورنگار: ۷۷۸۹۹۳۹۹

پست الکترونیکی: info@jicers.ir

نشانی سایت اینترنتی: www.jicers.ir

طراحی، گرافیک و صفحه‌آرایی: تمام طرح ۷۷۲۰۹۲۲۸

اصلاح و خلاصه کردن مطالب با نظر مترجمان و نویسنده‌گان انجام می‌شود. مسئولیت محتوای مقالات به عهده نویسنده‌گان و مترجمان است. مطالب ارسالی برگردانده نمی‌شود.

فهرست مطالب:

تازه‌ها

خبر انجمن سرامیک ایران

گزارش حضور انجمن سرامیک ایران در چهارمین کنفرانس بین‌المللی انجمن علمی ...

کارگاه آموزشی فرایند چاپ سه بعدی

دوره آموزشی مروری بر فرایند تولید کاشی و سرامیک

اخبار شرکت‌ها

۵۰۰۰ تن کاشی و سرامیک از چهارمحال و بختیاری صادر شد.

پایانه ویژه صادرات کاشی و سرامیک در میبد ایجاد می‌شود.

پروتوتایپ‌های متکی بر ایمپلنت جایگاه مهمی در دندانپزشکی نوین دارد.

تولید نانوساختارهای سرامیکی از جنس دندان و صدف دریایی!

راهاندازی آزمایشگاه سفال و سرامیک در مرکز فنی و حرفه‌ای شهرضا

ساخت باطری با استفاده از نمک مذاب برای ذخیره بیشتر نیرو

ساخت داربستی نوین و بهینه برای مهندسی بافت استخوان

الصادرات شیشه نانویی ایران به ۴ قاره/تولید آینه‌های نانوکرومی برای کشتی‌ها و ...

عکس/ نقاشی با کاشی‌های شکسته روی دیوارهای تهران

فناوری چاپ سه بعدی به کمک درمان شکستگی می‌آید.

قابلیت خاک‌های صنعتی فردوس برای ساخت کاشی و سرامیک

نخستین مسابقه ملی «طراحی بدنه استاندارد کاشی و سرامیک» در میبد برگزار می‌شود.

اخبار علمی

سیمان الهام گرفته از خارپشت دریایی (sea urchin-inspired cement) ...

توسعه کاربرد کامپوزیت‌های پایه سرامیکی CMC در صنایع هوا فضا

کاربرد شیشه سرامیک‌ها برای صنعت حمل و نقل هوایی

ساخت ترین سرامیک‌های شفاف پای کریستال

تأثیر ابعاد نانوذرات در خاصیت نهایی نانوکامپوزیت

سنتر آزمایشگاهی نانوپوشش‌های گالوانیزه با خاصیت ترمیم‌شوندگی

روشی برای تولید نانوکامپوزیت با استفاده از نانولوله‌های کربنی

ساخت اولین کارخانه تصفیه پساب مبتنی بر فناوری نانو در پرو

مقالات پژوهشی

تأثیر فسفات کلسیم در ساخت پیش شکل سیلیسیم کاربید به روش ریخته‌گری ژلی

تأثیر پلی‌وینیل پیرولیدون (PVP) بر اندازه ذرات و خواص نوری نانوذرات اکسید روی ...

۳۴	اثر pH محیط سنتز بر روی اندازه نانو بلورک‌ها و تغییر فاز زیرکونیا تهیه شده به روش ... لایه‌نشانی و بررسی خواص لایه نازک کربن شبه الماسی اعمال شده بر پنجره مادون‌قرمز ...
۴۰	
۴۷	بررسی سنتز پودر تک فاز Zn_2TiO_4 با استفاده از مایکروویو تازه‌های نشر
۵۴	
۵۵	معرفی پایان‌نامه‌های تحصیلات تكمیلی
۵۸	لیست اعضای حقوقی انجمن سرامیک ایران
۶۶	تقویم رویدادهای سرامیک

أخبار انجمن سرامیک ایران

گزارش حضور انجمن سرامیک ایران در چهارمین کنفرانس بین‌المللی انجمن علمی انرژی ایران ۱۳۹۶ و ۱۱ بهمن

انجمن علمی انرژی ایران در روزهای ۱۰ و ۱۱ بهمن ماه سال جاری، چهارمین کنفرانس بین‌المللی خود را با عنوان فناوری و مدیریت انرژی در مرکز همایش‌های بین‌المللی دانشگاه شهید بهشتی برگزار کرد.

این همایش با حضور مقامات عالی رتبه و تاثیرگذار، سیاست‌گذاران و مسئولین بخش‌های مختلف حوزه انرژی از جمله وزارت نیرو، وزارت نفت و شرکت‌های سرمایه‌گذاری بخش خصوصی اجرا گشت. همچنین سخنرانی‌هایی توسط برخی چهره‌های علمی و صنعتی مطرح از کشورهای پیشرو جهان بالاخص کشورهای اروپایی در این کنفرانس ارائه شد.

ریاست این کنفرانس را دکتر محمد ساتکین، رئیس انجمن علمی انرژی ایران بر عهده داشت و دبیر علمی کنفرانس دکتر بهنام محمدی ایوانلو دبیر انجمن بود. همچنین با توجه به بنیه علمی قوی این کنفرانس

بسیاری از دانشگاه‌های کشور از همکاری با این کنفرانس استقبال کردند بطوری که این کنفرانس با همکاری ویژه دانشگاه شهید بهشتی برگزار شد. علاوه بر آن سایر دانشگاه‌های صاحب نام کشور از جمله دانشگاه‌های شریف و تهران حضور پررنگ و مناسبی در ارسال مقالات علمی از بخش‌های دانشجویی داشته‌اند. انجمن علمی انرژی ایران با ژورنال‌های مطرح ISC برای چاپ مقالات برتر کنفرانس توافقانی را انجام داده و همچنین از مقالات برگزیده تقدیر ویژه به عمل آمد.

در این همایش چندین کارگاه آموزشی با موضوعات مرتبط با مباحث انرژی نیز برگزار شد. علاوه بر موارد فوق در نمایشگاه جانبی کنفرانس، به شرکت‌های متغیر این نیز غرفه‌هایی تعلق گرفت. برگزتری این نمایشگاه فرصت مناسبی برای بهبود بخشیدن به ارتباطات بین بخش‌های علمی و اجرایی در حوزه انرژی بود.



انجمن سرامیک ایران نیز با مشارکت انجمن صنفی تولیدکنندگان کاشی و سرامیک کشور ضمن حمایت از این همایش در نمایشگاه جانبی برگزار شده شرکت کرد.



این همایش در هفت محور انرژی‌های فسیلی، اقتصاد انرژی، انرژی‌های تجدیدپذیر و توسعه پایدار، برنامه‌ریزی و سیاست‌گذاری انرژی، بهینه‌سازی انرژی، انرژی، ایمنی و محیط زیست و همچنین ذخیره سازی انرژی و فن آوری‌های نوین برگزار گردید. در انتهای کنفرانس بیانیه‌ای که حاصل جمع‌بندی‌های نشست‌های علمی و دستاوردهای مقالات بود توسط کمیته‌های ناظر بر داوری مقالات ارائه و منتشر شد که امید است این بیانیه در برنامه ششم توسعه به تصمیم‌گیران سند، کمک نماید.

از جمله اهداف کنفرانس می‌توان به موارد زیر اشاره کرد:

- فراهم کردن بستری مناسب برای تبادل افکار و اندیشه‌های پژوهشگران، استادان، سیاست‌گذاران، مدیران، کارشناسان و خبرگان در حوزه انرژی
- آشنایی با آخرین دستاوردهای حوزه انرژی در جهان
- بررسی راه کارهای تامین انرژی و شناسایی منابع انرژی با نگاهی ویژه به حفظ منابع زیست محیطی و رعایت ایمنی در حوزه‌های کاری مرتبط
- کمک به افزایش آگاهی آحاد مردم در استفاده بهینه از انرژی
- توجه به ضرورت حفظ محیط زیست و توسعه پایدار
- شناسایی موانع و مشکلات کشور در حوزه انرژی و یافتن راه حل‌های مناسب
- تشویق بخش خصوصی برای سرمایه‌گذاری در حوزه انرژی

مصاحبه جناب آقای مهندس روشنگر ریاست انجمن سرامیک ایران در حاشیه کنفرانس:



لازمه‌ی توسعه پایدار، مسائل زیست محیطی و مربوط به انرژی می‌باشد که از جمله موضوعات اصلی بحث در این کنفرانس می‌باشند. در انجمن‌های علمی و صنفی سرامیک سعی بر آن است که بهینه سازی انرژی و استفاده درست از انرژی به عنوان یک فرهنگ نهادینه شود. متسافانه در بین ۱۴۰ کارخانه فعال در زمینه تولید کاشی و سرامیک، بیش از یک سوم انرژی به صورت انرژی اتلاف شده می‌باشد. به عنوان مثال اگر فرض شود که مجموع تولیدات کارخانه‌ها ۷۰۰ میلیون متر مربع باشد و به ازای هر یک میلیون متر مربع، مقدار ۱ مگاوات برق مصرف شود، به میزان ۷۰۰ مگاوات مصرف برق داریم که این رقم بسیار قابل توجهی بوده و در صورتی که تنها ۲۰٪ از این انرژی مصرفی ذخیره شود، نقش بسزایی در ذخیره انرژی و بهینه سازی مصرف آن دارد.

یکی دیگر از دغدغه‌های واحدهای تولیدی، بهینه کردن ساختار زیست محیطی است و ما هنوز برای رسیدن به یک فضای کسب و کار با زیرساخت زیست محیطی خوب و مطابق با

استانداردهای جهانی مسیر طولانی را در پیش داریم. لذا انجمن صنفی تولیدکنندگان کاشی و سرامیک و انجمن سرامیک ایران از سازمان‌های تحقیقاتی، پژوهشگران و دانشمندان دعوت بعمل می‌آورد که به این انجمن‌ها مراجعه نمایند تا بتوانیم با عقد قراردادهایی در زمینه اصلاح زیرساخت‌های زیست محیطی و بهینه سازی انرژی، مشکلات موجود در این زمینه را از میان برداریم.

همیشه کنفرانس‌های علمی می‌توانند دستاوردهای خوبی داشته باشند به شرطی که مقالات ارائه شده در این کنفرانس‌ها بیشتر کاربردی و قابل استفاده در کارگاه‌ها باشند. به طوری که بتوان تئوری‌های نظری را به تئوری‌های عملی انتقال داد و بتوان از تحقیقات و پژوهش‌ها به صورت عملیاتی استفاده کرد. مبادله دانش و تجربیات در محیط‌های علمی به تولید علم می‌انجامد و پیدا کردن روش‌هایی که توسط آن‌ها تولید علم به ثروت تبدیل شود می‌تواند بهترین نتیجه را داشته باشد.

بهینه کردن مصرف انرژی لازم است نهادینه فرهنگی شود. متسافانه ما در محیط اطراف و حتی خانه‌های خود شاهد مصرف بالای انرژی و هدر رفتن زیاد آن هستیم.

فرهنگ سازی در رابطه با ساختارهای زیست محیطی و حفظ انرژی و محیط زیست، اولین گام در بهینه سازی مصرف انرژی بوده و می‌تواند کمک بزرگی به زندگی نسل‌های آینده بکند.

کارگاه آموزشی فرایند چاپ سه بعدی

کارگاه آموزشی فرایند چاپ سه بعدی روز چهارشنبه ۲۵ بهمن ماه ۱۳۹۶ با حضور تعدادی از کارشناسان از صنایع دیرگذار و کاشی و شیشه در دانشگاه علم و صنعت ایران برگزار شد.

این دوره با خوشنامدگویی جناب آقای دکتر افتخاری (نایب رییس هیئت مدیره انجمن سرامیک ایران) آغاز شد.



در بخش اول کارگاه، در رابطه با تعاریف مقدماتی فناوری چاپ سه بعدی، اصول اولیه، کاربردها و انواع روش‌های قابل استفاده در این فناوری آموزش‌هایی ارائه شد. در بخش دوم طراحی یک قطعه با استفاده از نرم‌افزار Solid works و مراحل لازم برای آماده سازی نمونه جهت پرینت توسط جناب آقای مهندس نمازی و دکتر غفاری به شرکت کنندگان آموزش داده شد.



در بخش نهایی کارگاه، قطعه طراحی شده با استفاده از دستگاه پرینت سه بعدی پرینت گرفته شد. در جمع بندی نظرات شرکت کنندگان این دوره، آنها درخواست برگزاری چنین دوره‌هایی بخصوص تمرکز بر روی نمونه‌های سرامیکی را داشتند.

جناب آقای دکتر محبی

در گذشت مادر گرامیتان را به شما و خانواده محترمندان تسلیت عرض می‌کنیم و آرزوی صبر و سلامتی برای شما از خداوند منان خواستاریم.

فصلنامه سرامیک ایران

دوره آموزشی مروری بر فرایند تولید کاشی و سرامیک

۱۳۹۶ آذر ماه ۲۰-۱۹

شرکت کاشی زهره

پیرو سیاست انجمن سرامیک ایران مبنی بر برگزاری دوره‌های آموزشی جهت عموم کارشناسان صنعت سرامیک در محل انجمن سرامیک و یا به سفارش شرکت‌های عضو حقوقی در محل کارخانه ویژه پرسنل همان شرکت در اولین تجربه بنا به درخواست شرکت کاشی و گرانیت زهره به جهت ارتقای دانش علمی پرسنل خط تولید با هماهنگی به عمل آمده اولین بخش بسته آموزشی مروری بر فرایند تولید کاشی و سرامیک در روزهای ۱۹ و ۲۰ آذر ماه در محل کارخانه با تدریس آفای دکتر مولایی برگزار گردید.



روز یکشنبه دوره با حضور بیش از ۳۰ نفر از کارشناسان و مسئولین خط تولید کاشی زهره شروع گردید و در طی دو روز مباحث فاکتورهای موثر در انتخاب فرمولاسیون بدنی کاشی و انواع بدندهای کاشی و نوع و مشخصات مینرال‌های بکار رفته در صنایع کاشی و بخشی از مراحل مختلف پروسه تولید کاشی کف و دیواری ارایه گردید.



در ارزیابی به عمل آمده از حاضرین این دوره برای آنان بسیار مفید و قابل استفاده بوده است.

اخبار شرکت‌ها

**رئیس سازمان صنعت، معدن و تجارت چهارمحال و بختیاری:
۵۰۰۰ تن کاشی و سرامیک از چهارمحال و بختیاری صادر شد.**



شهرکرد- رئیس سازمان صنعت، معدن و تجارت چهارمحال و بختیاری گفت: بیش از پنج هزار تن کاشی و سرامیک از چهارمحال و بختیاری صادر شد.

نعیم امامی در گفت و گو با خبرنگار مهر با اشاره به اینکه از ابتدای سال تاکنون بیش از پنج هزار تن کاشی و سرامیک از چهارمحال و بختیاری صادر شد، اظهار داشت: ارزش محموله‌های صادراتی کاشی و سرامیک از چهارمحال و بختیاری بیش از ۷۵۰ هزار دلار است.

وی بیان کرد: چهارمحال و بختیاری یکی از تولید کنندگان برتر تولید کاشی و سرامیک در کشور است.

رئیس سازمان صنعت، معدن و تجارت چهارمحال و بختیاری با اشاره به اینکه چهار کارخانه تولید کاشی و سرامیک در چهارمحال و بختیاری فعالیت می‌کنند، اظهار داشت: این کارخانه‌های تولید کاشی در شهرستان‌های شهرکرد و بروجن واقع هستند.

۵۰۰ نفر در واحدهای صنعتی تولید کاشی و سرامیک چهارمحال و بختیاری فعالیت می‌کنند.

وی عنوان کرد: بیش از ۵۰۰ نفر در واحدهای صنعتی تولید کاشی و سرامیک فعالیت می‌کنند.

رئیس صنعت، معدن و تجارت چهارمحال و بختیاری تأکید کرد: سالانه حدود هشت میلیون متر مکعب کاشی و سرامیک توسط این واحدهای صنعتی تولید می‌شود و روانه بازار مصرف می‌شود.

وی بیان کرد: بخش تولید کاشی و سرامیک از مهمترین ظرفیت‌های اشتغالزا در استان چهارمحال و بختیاری به شمار می‌رond که باید واحدهای تولیدی کاشی و سرامیک توسعه یابند.

منبع: <https://www.mehrnews.com/news/4193489>

**در کارگروه توسعه صادرات استان مطرح شد؛
پایانه ویژه صادرات کاشی و سرامیک در میبد ایجاد می‌شود.**

بیزد- نشست اعضای کارگروه توسعه صادرات استان بیزد امروز دو مصوبه داشت؛ یکی احداث پایانه ویژه صادرات کاشی و سرامیک در شهرستان میبد و دیگری انجام تشریفات اداری صادرکنندگان نمونه، خارج از نوبت.

به گزارش خبرنگار مهر، رئیس سازمان صنعت، معدن و تجارت استان بیزد در این نشست با اشاره به مشوق‌های صادراتی که برای صادرکنندگان نمونه وجود دارد گفت: هیات وزیران مصوبه‌ای دارد که ادارات و دستگاه‌ها مکلفند تشریفات اداری مربوط به صادرکنندگان نمونه را در خارج از نوبت انجام دهند.

محمد رضا علمدار یزدی با بیان اینکه این موضوع مربوط به صادرکنندگان ممتاز و نمونه کشوری است ادامه داد: درخواست دادیم

تا این مصوبه هیات وزیران شامل صادرکنندگان نمونه استانی هم بشود.

وی در بخش دیگری از سخنان خود از برگزاری نمایشگاه اختصاصی ایران در هفته نخست دی ماه در کربلا خبر داد و اضافه کرد: این نمایشگاه با حضور واحدهای صنایع غذایی، فرش ماشینی و دستیاف، تولیدکنندگان پلاستیک، لوازم خانگی و مبلمان و ... برگزار می‌شود.

رئیس سازمان صنعت، معدن و تجارت استان یزد همچنین از برگزاری سه پاویون

جمهوری اسلامی در نمایشگاه‌های بین‌المللی تاجیکستان، مسکو و عمان خبر داد و عنوان کرد: هر یک از این پاویون‌ها به ترتیب در دیماه، بهمن ماه و اسفند ماه برگزار خواهد شد.

وی همچنین از اعزام یک هیات تجاری به تایپشگاه هنگ کنک خبرداد و تصریح کرد: این نمایشگاه در زمینه طلا و جواهر و سنگ‌های قیمتی از هفتم تا ۱۲ اسفند ماه دایر خواهد شد و در بهمن ماه نیز هیات تجاری با هدف بازاریابی در زمینه صنایع معدنی به تانزانیا اعزام خواهد شد.

علمدار یزدی بیان داشت: هیات اعزامی با تانزانیا در زمینه‌های مواد غذایی، پتروشیمی، دارو و تجهیزات پزشکی، منسوجات و خدمات فنی و مهندسی به تانزانیا خواهند رفت تا سهم بازارهای صادراتی را افزایش دهند.

وی همچنین پیشنهاد تشکیل کمیته برای تصویب اعزام هیات‌های تجاری خارج از کارگروه شد و گفت: اعزام هیئت‌های تجاری باید در کارگروه مصوب شود لذا اگر کمیته‌ای تشکیل شود و اختیارات کارگروه را به کمیته تفویض کنیم می‌توان در وقت صرفهجویی بیشتری داشت و روند اداری را طی کرد.

علمدار یزدی عنوان کرد: این موضوع با مسئولیت سازمان صنعت، معدن و تجارت استان دنبال می‌شود.

منبع: <https://www.mehrnews.com/news/4175047>

مسئول اجرایی علمی کنگره دندانپزشکان عمومی؛ پروتزهای متکی بر ایمپلنت جایگاه مهمی در دندانپزشکی نوین دارد.



مسئول اجرایی و علمی دوازدهمین کنگره علمی سالیانه انجمن دندانپزشکان عمومی ایران، گفت: برای موفقیت در درمان‌های پروتزی، همکاری و نقش لبراتوارهای دندانپزشکی بسیار حائز اهمیت است.

به گزارش خبرگزاری مهر، دکتر ثریا شاکری اظهارداشت: علم دندانپزشکی، علم و هنر جایگزینی دندان‌های تخریب شده و یا از دست رفته بیمار است و دامنه آن از ترمیم یک دندان تا بازسازی کامل متغیر بوده و شامل پروتز ثابت و پروتز متحرک است.

وی افروز: پروتز ثابت شامل بازسازی دندان‌های تخریب شده و یا جایزینی دندان‌های از دست رفته به وسیله پروتزهای فلزی ریختگی، فلز و سرامیک و یا تمام سرامیک است که امروز تمام سرامیک‌ها طرفداران زیادی در درمان‌های دندانپزشکی دارند. مسئول اجرایی علمی پروتز دوازدهمین کنگره انجمن دندانپزشکان عمومی ایران، ادامه داد: پروتز متحرک شامل پروتز بیمارانی است که تعدادی از دندان‌ها را از دست داده‌اند و یا بی‌دندانی کامل دارند. این درمان‌ها به خصوص در افراد مسن، در جویدن، زیبایی و سلامت دهانی نقش مهمی دارد و برای بالا بردن کیفیت زندگی افراد مسن مورد توجه است.

شاکری با اشاره به اینکه امروزه با بالا رفتن میانگین طول عمر افراد و درمان بیماران مسن جایگاه ویژه‌ای برای درمان‌های پروتزی ایجاد شده است، افزود: امروزه درمان‌های ایمپلنت هم بخش بزرگ و مهمی از درمان‌های پروتزی به شمار می‌رود و پروتزهای متکی بر ایمپلنت جایگاه مهم و اصلی در دندانپزشکی نوین دارند و با توجه به استفاده روز افزون از ایمپلنت‌ها و افزایش نیاز به آنها و دستیابی به تمام اهداف دندانپزشکی، این علم پیشرفت و اهمیت زیادی دارد.

وی بیان داشت: هدف از دندانپزشکی مدرن بازسازی فرم دندان‌ها، جویدن، صحبت کردن، راحتی بیمار و سلامت طبیعی بیمار است و در درمان‌های پروتزی نوین با جایگزینی نسوج و دندان‌های از دست رفته تمامی این اهداف امکان پذیر می‌شود. مسئول اجرایی علمی پروتز دوازدهمین کنگره انجمن دندانپزشکان عمومی ایران خاطرنشان کرد: برای موفقیت در درمان‌های پروتزی، علاوه بر دندانپزشک و بیمار، همکاری و نقش لابراتوارهای دندانپزشکی هم بسیار حائز اهمیت است و مثلث دندانپزشک، لابراتور و بیمار با همکاری کامل یک درمان موفق را رقم می‌زند و علاوه بر مهارت و تجربه دندانپزشک، مهارت و دقت تکنسین لابراتور هم اهمیت خاصی دارد.

شاکری گفت: برای درمان موفق پروتز، دندانپزشک باید آگاهی و تسلط کامل بر سایر شاخه‌های دندانپزشکی از جمله درمان‌های ریشه دندان، ترمیمی، جراحی، انساج پرودنتال و ... به خصوص در بخش بیومکانیک داشته باشد.

وی یادآور شد: درمان‌های نوین دندانپزشکی و پیشرفت روزافزون این علم در رشته پروتز نقش مهمی دارد و با توجه به مواد جدید دندانپزشکی در قالب گیری، فلزات، سرامیک جدید، وسایل و تجهیزات لابراتورهای دندانپزشکی و...، درمان‌های بهتر و کامل تر و موفق‌تری را در پروتز رقم خواهد زد.

دوازدهمین کنگره علمی سالیانه انجمن دندانپزشکان عمومی ایران از ۱۹ تا ۲۲ دی ماه ۹۶ در مرکز همایش‌های برج میلاد برگزار می‌شود.

منبع: <https://www.mehrnews.com/news/4194805>

با کاربرد در داروسازی؛

تولید نانوساختارهای سرامیکی از جنس دندان و صدف دریایی!

محققان کشور موفق به تولید نانوساختارهای سرامیکی شدند که در صنایع مختلف داروسازی، پتروشیمی، ژن درمانی و ... کاربرد دارند.

فاطمه مهندس، محقق طرح سنتر و شناسایی انواع نانو ساختارهای اکسیدی و سرامیکی و برگزیده نوزدهمین جشنواره جوان خوارزمی در گفتگو با خبرنگار مهر اظهار کرد: در این طرح از روش‌های بهینه شده و اقتصادی و بدون استفاده از قطعات وارداتی برای تهیه نانوساختارها استفاده کردیم.

وی با بیان اینکه در این راستا از مواد دور ریز بهره بردیم، خاطرنشان کرد: در این پروژه، نانوساختار سرامیکی از ضایعات و مواد دور ریزی مانند دندان انسان، مرجان‌ها و صدف دریایی، پوسته تخم مرغ و ... استفاده کردیم.

وی با بیان اینکه استفاده از این نانوساختارها کاربردهای فراوانی دارد، گفت: امروزه استفاده از چنین نانوساختارهایی در صنایع مختلف از جمله حوزه انرژی و سلول‌های خورشیدی، اپتوالکترونیک، نیمه هادی‌ها، کاتالیزورها و مصارف پزشکی مانند داروسازی، ژن درمانی و ترمیم آسیب‌های دندانی و استوانی مورد توجه قرار گرفته است.

پژوهشگر پسا دکتری دانشگاه صنعتی شریف افروز: ترکیبات اکسیدی و سرامیکی فلزات در ابعاد نانومتری اعم از صفر بعدی، یک بعدی، دو بعدی و سه بعدی در مقایسه با حالت توده‌ای خود به دلیل افزایش نسبت سطح به حجم دارای خواص ویژه‌ای هستند.

مهندس افزو: با توجه به وسعت حوزه کاربردی نانوساختارهای اکسیدی و سرامیکی، روش‌های شیمیایی و فیزیکی مختلفی به منظور کنترل اندازه ذرات و مورفولوژی این ترکیبات توسعه یافته است.

به گفته این محقق، از میان این روش‌ها، روش‌های شیمیایی تخریب حرارتی پیش ماده‌های آلی - فلزی موجب تهیه نانوساختارهایی با ذرات متراکم و جدا از هم می‌شود.

وی خاطر نشان کرد: از طرفی، استفاده از عوامل فعال سطحی (سورفتانت) نیز به جدایش ذرات از یکدیگر کمک شایانی می‌کند. در این طرح، ابتدا پیش ماده‌های آلی - فلزی تهیه و سپس مشخصه‌یابی می‌شوند. در مرحله بعد، پیش ماده‌های آلی - فلزی طی فرآیند تخریب حرارتی در حالت جامد یا در حضور حلال، هیدروترمال/سولوترمال، امواج مافق صوت و ماکروویو تبدیل به نانوساختارهای اکسیدی و سرامیکی می‌شود.

به گزارش مهر، «طرح سنتر و شناسایی انواع نانو ساختارهای اکسیدی و سرامیکی» رتبه سوم پژوهش‌های بنیادی در گروه فناوری‌های شیمیایی نوزدهمین جشنواره جوان خوارزمی توسط فاطمه مهندس کسب کرد.

این طرح با همکاری دانشگاه کاشان و صنعتی شریف توسط دکتر عبدالرضا سیم چی و دکتر مسعود صلوتی نیاسری به سرانجام رسیده است.

منبع: <https://www.mehrnews.com/news/4221645>

راهاندازی آزمایشگاه سفال و سرامیک در مرکز فنی و حرفه‌ای شهرضا

رئیس مرکز آموزش فنی و حرفه‌ای شهرضا گفت: مرکز فنی و حرفه‌ای شهرضا در نظر دارد یک آزمایشگاه در اختیار افراد علاقه‌مند به سفال و سرامیک برای آموزش، پژوهش، آزمایش و خطا قرار دهد.



به گزارش گروه استان‌های باشگاه خبرنگاران جوان از اصفهان، حسن ضیایی با اشاره به انتخاب شدن شهرضا به عنوان شهر ملی سفال و سرامیک و اقدامات فنی و حرفه‌ای در این راستا، اظهار کرد: در مردادماه ۱۳۹۵ با توجه به مصوبات کارگروه اشتغال، تصمیم به ایجاد کارگاه سفالگری با چرخ برقی، سفال‌گری نقش برجسته و نقاشی روی سفال گرفته شد.

وی با بیان این‌که در آذرماه ۹۵ دو کارگاه سفالگری در مرکز فنی و حرفه‌ای شهرضا افتتاح شد، افزو: از افتتاح کارگاه تاکنون بیش از ۲۰۰ نفر خانم و ۳۰ نفر آقا در حرفه سفال‌گری با چرخ برقی و نقش برجسته و ۷۵ نفر خانم در حرفه نقاشی روی سفال به صورت رایگان آموزش داده شده‌اند.

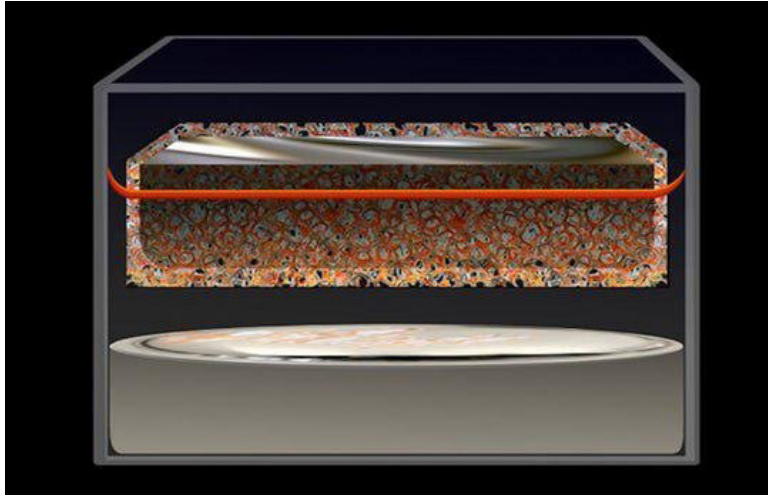
رئیس مرکز آموزش فنی و حرفه‌ای شهرضا گفت: این مرکز در نظر دارد در صورت تأمین بودجه خرید تجهیزات، تجهیزات مورد نیاز یک کارگاه سفال و سرامیک و لعب کاری را تهیه و به عنوان یک آزمایشگاه در اختیار افراد علاقه‌مند برای آموزش، پژوهش، آزمایش و خطا قرار دهد.

وی با اشاره به توسعه آموزش‌های فنی و حرفه‌ای در شهرستان شهرضا، بیان داشت: این مرکز در سه سال گذشته، اقدام به راهاندازی ۳ کارگاه جدید تراشکاری، سفال‌گری و نقاشی روی سفال کرده است. ضیایی اذعان کرد: امسال دو مکان بدون استفاده را به بخش خصوصی واگذار کرده‌ایم که این کارگاه‌ها در زمینه صنایع دستی شامل قلمزنی، مشبک فلز، طراحی سنتی و فیروزه‌کوبی و کارگاه صنایع تبدیلی در زمینه فرآوری میوه، خشک کردن میوه و سبزیجات فعالیت می‌کنند.

منبع: <http://www.yjc.ir/fa/news/6390251>

ساخت باتری با استفاده از نمک مذاب برای ذخیره بیشتر نیرو

پژوهشگران دانشگاه ام آی تی، برای ذخیره بیشتر نیرو، نوعی باتری ابداع کردند که ساخت آن هزینه کمتری نسبت به باتری‌های کنونی دارد.



به گزارش ایستا و به نقل از گیزمنگ، یکی از مشکلات ابتدایی با انرژی تجدیدپذیر، به خصوص باد و خورشید، این است که تولید نیرو هنگامی صورت می‌گیرد که باد یا خورشید در دسترس باشدند نه زمانی که به آنها نیاز است.

اگر دنیا از عهده طراحی یک باتری بزرگ، ارزان و طولانی مدت برآید که بتوان آن را برای ذخیره نیرو در مقیاس شبکه استفاده و به هنگام نیاز دوباره شارژ کرد، این مشکل، کم و بیش رفع خواهد شد.

از میان ابزار الکتریکی جدید و صنایع الکترونیکی مصرف کننده، باتری‌های لیتیوم، به خاطر عملکرد بالا، تراکم قدرت و وزن سبک، محبوب هستند.

اما لیتیوم، برای ذخیره در مقیاس شبکه، ماده پرهزینه‌ای است و هنگامی که صحبت ساخت باتری برای کل شهر مطرح می‌شود، اندازه و وزن نسبت به ساخت ابزاری ارزان، ایمن، قابل اعتماد و تا حد امکان بادوام، از اهمیت کمتری برخوردار است. اگر این باتری از یک ماده متعارف‌تر و در دسترس‌تر ساخته شود، بسیار بهتر خواهد بود.

خبر خوب اینکه یک گروه از پژوهشگران دانشگاه "ام آی تی" (MIT)، برای ساخت دوباره یک باتری قدیمی که اولین بار در ۵۰ سال پیش ثبت شده بود، روشی کم‌هزینه، موثر و دائمی، پیدا کرده‌اند.

این کشف، بر باتری‌های ساخته شده از نمک مذاب مانند مدل‌هایی که از سدیم/سولفور یا سدیم/نیکل کلراید ساخته شده‌اند، تمرکز دارد که در آنها، الکترودها در دمای بالا نگه داشته می‌شوند تا در نمک مذاب حفظ شوند و امکان انتقال شارژ، میان‌شان فراهم شود.

معمولًا، الکترودها باید با غشای خاصی که به مولکول‌های به خصوصی اجازه عبور می‌دهد و مولکول‌های دیگر را جدا می‌کند، از هم جدا نگه داشته شوند.

در گذشته، این کار با استفاده از یک لایه نازک سرامیکی بتا آلومینا انجام می‌گرفت اما استفاده تجاری از این باتری‌ها، به خاطر نازک، بی‌دوان و شکننده بودن این لایه سرامیکی، محدود شده است.

گروه پژوهشگران ام آی تی، با استفاده از یک شبکه استیل منظم که با نیترید تیتانیوم پوشیده شده، روش جدیدی برای جدا کردن الکترودها کشف کرده است.

در حالی که لایه سرامیکی، با استفاده از سوراخ‌های موجود در این ماده متخلخل، مولکول‌ها را براساس اندازه فیزیکی شان مرتباً می‌کند، شبکه استیل، برای دستیابی به نتیجه مشابه، از ویژگی‌های الکتریکی اش استفاده می‌کند.

تکنیک شبکه استیل، برای شیمی باتری تعدادی از باتری‌های گوناگون دارای الکترود ذوب شده، به کار گرفته می‌شود و از آنجا که به طراحی باتری کوچک و سبک وزن مانند باتری خودروی الکتریکی یا تلفن همراه کمکی نمی‌کند، پژوهشگران باور دارند این باتری می‌تواند یک ایده موثر برای ذخیره انرژی در مقیاس کوچک، هزینه کم و مکان ثابت باشد.

امکان دارد چنین پیشرفتی، به شهرها اجازه دهد بدون خطر و به سادگی، به بالاترین میزان انرژی‌های تجدیدپذیر حاصل از تلفیق انرژی دست یابند که برای همه خبر خوبی است.

منبع: <https://www.isna.ir/news/96110301781>

ساخت داربستی نوین و بینه برای مهندسی بافت استخوان

محققان دانشگاه تربیت مدرس موفق به ساخت داربست نوین کلاژن- بتا تری کلسیم فسفات برای مهندسی بافت استخوان شدند که حضور استرانسیم در آن تکثیر سلولی را سریع تر و خواص مکانیکی داربست را بهبود میبخشد.



محققان دانشگاه تربیت مدرس موفق به ساخت داربست نوین کلاژن- بتا تری کلسیم فسفات برای مهندسی بافت استخوان شدند که حضور استرانسیم در آن تکثیر سلولی را سریع تر و خواص مکانیکی داربست را بهبود میبخشد.

به گزارش ایستا، دکتر حمید گودرزی، محقق طرح اظهار کرد: تعداد افراد نیازمند به درمان نقص‌های شدید استخوانی، با پیوند استخوان رو به افزایش است. اما مشکلاتی مانند در دسترس نبودن استخوان در صورت وسیع بودن ضایعه، این روش درمان را با محدودیت

روبوتو کرده است. از این رو پژوهشگران، ایده مهندسی بافت استخوان را برای جایگزینی با پیوند استخوان مطرح کردند.

دکتر گودرزی با بیان این مقدمه افزوود: یکی از عناصر اصلی مهندسی بافت استخوان، داربست است که باید ویژگی‌های مشخصی را دara باشد. این ویژگی‌ها، مواد سازنده و همچنین روش مورد استفاده برای تهیه داربست تعیین می‌کند. مطالعات مختلفی درباره تهیه داربست به روش خشک کردن انجام‌داده با ترکیب کلاژن و سرامیک بتا تری کلسیم فسفات، به دلیل خصوصیات منحصر به فرد این مواد انجام گرفته است.

پژوهشگر دانشگاه تربیت مدرس ادامه داد: نانو ذرات زیست سرامیکی بتا- تری کلسیم فسفات (β -TCP) به عنوان یک جزء مطلوب در ساختار داربست‌های استخوانی پیشنهاد شده است. کلاژن نوع اول، ماده اولیه تشکیل‌دهنده بافت استخوان است و داربست‌های کلاژنی، خواص زیستی مناسب با درصد متخلخل بالا و ساختار منافذ به هم پیوسته برای تکثیر سلولی دارند.

دکتر گودرزی در تشریح طرح پژوهشی خود گفت: در این مطالعه، β -TCP با استرانسیم اکسید (SiO₂) ترکیب شد. داربست‌های نانو کامپوزیتی کلاژن، کلاژن- β -TCP و کلاژن- β -TCP- حاوی استرانسیم با روش خشک کردن انجام‌داده شده شدند. سپس، داربست‌ها با ترکیبات EDC/NHS اتصال عرضی داده شدند. اندازه نانوذرات، با آزمون پراکندگی دینامیک نوری (DLS) بررسی شد. شناسایی فازی و مقدار کلسیم، فسفر، اکسیژن و استرانسیم، با استفاده از آزمون طیفسنجی پراش پرتو ایکس (XRD) و پراش انرژی پرتو ایکس (EDAX) بررسی شدند. همچنین، به منظور تشخیص اجزای مواد سازنده، آزمون طیف نگاری تبدیل فوریه فروسخ (FT-IR) گرفته شد. ریخت‌شناسی و ساختار شیمیایی داربست‌های تهیه شده، با آزمون‌های SEM و FTIR تایید شد.

وی اضافه کرد: به منظور ارزیابی زیست معدنی زایی داربست‌ها در تماس با سیال مشابه بدن قرار گرفتند. داربست‌ها پس از ۳ و ۷ روز به منظور بررسی حضور عناصر کلسیم و فسفر بررسی شدند. داربست‌ها همچنین از نظر استحکام مکانیکی مورد ارزیابی قرار گرفتند. آزمون زنده‌مانی سلولی برای ارزیابی تکثیر سلولی با MTT و همچنین ریخت‌شناسی سلول روی داربست، با FE-SEM انجام شد.

محقق طرح ادامه داد: به منظور ارزیابی تمایز داربست‌ها، داربست‌ها در تماس با سیال مشابه بدن قرار گرفتند. داربست کلاژن- β -TCP- حاوی استرانسیم نشان داد که ساختار متخلخل با اندازه منافذ مناسب برای رشد بافت و چسبندگی سلولی دارد. نسبت ۱/۶۳ کلسیم به فسفر، برای داربست کلاژن- β -TCP- حاوی استرانسیم در مقایسه با داربست کلاژن- β -TCP پس از ۷ روز مشاهده شد. حضور استرانسیم اکسید، خواص مکانیکی داربست را بهبود بخشدید. همچنین، حضور اکسید استرانسیم، مادول یانگ و استحکام فشاری داربست کلاژن β -TCP را $6/44$ و $3/71$ برابر افزایش داد.

دکتر گودرزی در پایان تصریح کرد: مطالعات برونشی نشان داد که حضور استرانسیم در داربست کلاژن β -TCP تکثیر

سلولی را سریع‌تر می‌کند. فعالیت آلکالین فسفاتاز در نمونه حاوی استرانسیم در روز ۱۴ به طور قابل توجهی افزایش یافت. به طور خلاصه تایید شد که مشارکت استرانسیم در ساختار β -TCP می‌تواند به عنوان یک گزینه مناسب برای کاربردهای مهندسی بافت استخوان باشد.

بر اساس اعلام روابط عمومی دانشگاه تربیت مدرس، این پژوهش در قالب رساله دکتری تخصصی حمید گودرزی در رشته مهندسی بیوتکنولوژی با راهنمایی دکتر سمیره هاشمی نجف‌آبادی، عضو هیأت علمی دانشکده مهندسی شیمی دانشگاه انجام شده است.

منبع: <https://www.isna.ir/news/9>

صادرات شیشه نانویی ایران به ۴ قاره / تولید آینه‌های نانوکرومی بوای کشتی‌ها و ماشین‌آلات سنگین

محققان کشور موفق به صادرات آینه‌ها و شیشه‌های مبتنی بر نانو فناوری به ۳۵ کشور شدند که به گفته آنها این محصولات دارای یک لایه نانومتری با قابلیت کنترل گرما و سرما و ضریب انتقال حرارت پایین است.



به گزارش ایسنا، علیرضا قربانی از محققان این طرح با بیان اینکه فعالیت در این زمینه را از سال ۱۳۶۳ آغاز کردیم، اظهار کرد: تاکنون موفق به تولید محصولات نانویی شدیم که به ۳۵ کشور در قاره‌های آسیا، اروپا، آفریقا و آمریکا صادر می‌شود. به گفته وی کشورهای ایتالیا، آلمان، سوئد، کرواسی، لهستان، یونان، اسپانیا، امارات، آذربایجان، آفریقای جنوبی، تانزانیا، بربازیل و کانادا از جمله مقاصد صادراتی محصولات این شرکت فناور هستند.

قربانی یکی از جدیدترین محصولات این واحد تحقیقاتی را شیشه‌های Eco Star دانست و ادامه داد: مهمترین ویژگی این شیشه‌ها علاوه بر ظاهر و رنگ زیبا، بازده مناسب آنها از نظر بهینه‌سازی مصرف انرژی در تمام فصول سال است. وی در این باره توضیح داد: در این محصول علاوه بر نانولایه‌های فلزات مختلف، از لایه نقره نیز جهت کنترل گرما و انرژی استفاده شده و همین عامل کارایی این شیشه‌ها را نسبت به شیشه‌های رفلکس معمولی ارتقا داده است. این شیشه‌ها علاوه بر دارا بودن تمام ویژگی‌های شیشه‌های رفلکس، از خاصیت کنترل نانویی و بهینه‌سازی مصرف انرژی ساختمان نیز برخوردار هستند. این محقق اظهار کرد: با پوشش دادن لایه‌های نانومتری فلزی و اکسید فلزی بر روی شیشه، شیشه‌هایی تولید می‌شوند که تا حد زیادی کاستی‌های شیشه‌های معمولی بهویژه اتلاف و جذب انرژی حرارتی را برطرف می‌کنند.

قربانی خاطر نشان کرد: این محصولات که به شیشه‌های E-LOW موسوم هستند، با لایه‌نشانی لایه‌های نانومتری فلزی و سرامیکی توسط روش پوشش دهی کندوپاش تولید می‌شوند. این پوشش‌ها که ضخامت متوسط ۳۰ نانومتر دارند، اجازه عبور بخش مرئی طیف نور خورشید را می‌دهند، اما طیف مادون‌قرمز (طیف حرارتی) و ماوراء بنفش (طیف مضر) را منعکس و پایش می‌کنند.

وی با بیان اینکه با به کارگیری ذرات نانومتری ترکیبات کروم، الومینیوم و نقره موفق به تولید آینه‌هایی با کارایی بهتر و کیفیت بالاتر شدیم، یادآور شد: آینه‌های نانوکرومی ساخت این شرکت مقاومت مکانیکی بسیار بالا و در کاربردهای خاص مانند کشتی‌ها و ماشین‌آلات سنگین دارد، ضمن آنکه آینه‌های نانوذرات آلومینیوم در محیط‌های خشک و گرم و آینه‌های با نانوذرات نقره در منازل، باشگاه‌ها و مغازه‌ها و دکوراسیون لوکس مانند آینه کاری، معماری، پتینه کاری و تزئینات ساختمان کاربرد فراوان دارند.

این محقق با بیان اینکه آینه‌های آلومینیومی از اعمال یک روکش نانومتری آلومینیومی بر روی سطح شیشه تولید می‌شوند، افروزد: این نوع آینه‌ها از قیمت پایین‌تری نسبت به آینه‌های با روکش نقره برخوردار هستند و برای کاربردهایی که حساسیت کاربری کمتری دارد، قابل استفاده خواهد بود.

منبع: <https://www.isna.ir/news/96103016030>

عکس / نقاشی با کاشی‌های شکسته روی دیوارهای تهران

برخی فضاهای شهری تهران با کاشی‌های شکسته تزئین شده است.



هنر کاشی شکسته در تزیین برخی فضاهای شهری تهران نظر رسانه های خارجی را نیز به خود جلب کرده است. به گزارش «انتخاب»؛ برای ساخت چنین طرح های موزائیکی از خرد های کاشی و سرامیک استفاده می شود. به این هنر نقاشی موزائیکی، کاشی شکسته، معرق با موزائیک یا موزائیک شکسته می گویند. برای ساخت چنین طرح های موزائیکی از خرد های کاشی و سرامیک استفاده می شود.

منبع: <http://www.entekhab.ir/fa/news/387101>

فناوری چاپ سه بعدی به کمک درمان شکستگی می آید.

محققان دانشگاه سیدنی با استفاده از فناوری چاپ سه بعدی و بدون استفاده از هرگونه قطعات فلزی موفق شدند تا شکستگی های بزرگ پا را با استفاده از ایمپلنت های سرامیکی چاپ سه بعدی قابل تبدیل به استخوان درمان کنند.



به گزارش مشرق، نتایج آزمایش استقامت ایمپلنت سرامیکی جدید نشان می دهد که ساختار سرامیکی ایمپلنت مشابه استخوان طبیعی است و مهمترین قابلیت آن توانایی تبدیل به بافت استخوان پس از پایان دوره درمان است.

محققان به منظور آزمایش مقاومت عملکرد ایمپلنت جدید شکستگی های بزرگ در اندام های حرکتی هشت گوسفند را از طریق جراحی شکستگی استخوان و با استفاده از ایمپلنت های سرامیکی چاپ شده با چاپگر سه بعدی درمان کردند.

محققان پس از ثابت نگه داشتن محل شکستگی با قالب گچی دریافتند که بعد از چهار هفته شکستگی تا ۲۵ درصد کاملا درمان شده و بعد از سه ماه روند بهبودی کامل استخوان به ۸۵ درصد رسیده است.

نتایج بررسی اشعة ایکس از فرآیند ترمیم استخوان های شکسته نشان داد که سرامیک مورد استفاده در ایمپلنت جدید پس از گذشت فرایند درمان به استخوان تبدیل می شود.

منبع: <https://www.mashreghnews.ir/news/813862>

قابلیت خاک های صنعتی فردوس برای ساخت کاشی و سرامیک

فرماندار فردوس گفت: خاک های صنعتی فردوس از قابلیت بالایی برای ساخت کاشی و سرامیک برخوردار است.



«مهدی ابراهیمی» در گفت و گو با خبرنگار ایسنا، اظهار کرد: کشاورزی امروزه پاسخگوی نیازهای اقتصادی جامعه نیست.

وی افزود: در گذشته کشاورزی حرف اول اقتصاد مردم این منطقه بود، اما امروزه با کمبود آب و خشکسالی های چند ساله با توجه ویژه به دو حوزه صنعت و گردشگری می توان گام موثری در راستای اشتغال جوانان برداشت.

فرماندار فردوس تصریح کرد: خاک های صنعتی فردوس از قابلیت زیادی برای ساخت کاشی و سرامیک برخوردار است و ۴۰ درصد

خاک فردوس که شامل بنتونیت و کائولن است برای کاشی مورد استفاده قرار می گیرد.

منبع: <https://www.isna.ir/news/96111609223>

نخستین مسابقه ملی «طراحی بدنده استاندارد کاشی و سرامیک» در میبد برگزار می شود.

به همت دفتر ارتباط با صنعت و جامعه دانشگاه آزاد اسلامی واحد میبد اولین دوره مسابقه ملی «طراحی بدنده استاندارد کاشی و سرامیک» ۷ اسفندماه در این دانشگاه برگزار می شود.

به گزارش یزد رسا به نقل از مبید خبر، معاون پژوهشی دانشگاه آزاد مبید با اعلام این خبر افزود: این مسابقات برای اولین بار در کشور طراحی شده و هدف از برگزاری، ارتقاء سطحی کیفی محصولات تولیدی اولین محصول استراتئیک استان یزد می‌باشد.

**مسابقه ملی
طراحی بدنه استاندارد کاشی و سرامیک**
National ceramic and tile standard body design contest

اهداف برگزاری:

- کامپ در جهت ارتقاء کیفیت محصولات تولیدی کارخانجات کاشی و سرامیک
- شناسایی استعداد های برتر
- سنتزایر جمیت تقویت R&D واحد های تولیدی
- شناسایی و معرفی شرکت های دانش بنیان در حوزه صنعت کاشی و سرامیک
- فرآوری اصولی مواد اولیه صنعت کاشی و سرامیک

زمان برگزاری: ۱۳۹۶/۱۲/۷

آخرین مهلت ثبت نام: ۱۳۹۶/۱۱/۱۰

شوابط مسابقه:

حضور در این مسابقه برای دانشجویان و مرکز پژوهشی و صنعتی بلامانع است.
مسابقه در دو دسته سنت و دانشگاه برگزار میگردد.
در دانشگاه میتوان حداقل با ۲ نمایم در مسابقه شرکت کند.
برگزینشی پژوهش میتواند با یک نمایم در مسابقه شرکت کند.
هر نماید حداقل مشتمل از ۲ نفر باشد. حضور افراد به صورت انفرادی بلامانع است.

توفیق مسابقه:

اندازه گیری وزن و ضخامت قطعه (دیسکوت عدم رعایت از دور مسابقه حذف می شود)
نحوه محاسبه امتیاز در مرحله میانکمین اعداد محاسبه شده ۳ قطعه می باشد
تغییب مقاومت خشک قطعه

محل برگزاری:
دانشگاه آزاد اسلامی واحد مبید

در انتها معدل نیم ها محاسبه و برآورد آن به بندی صورت می گیرد
به قطعیتی که از نظر هیئت داوران قابلیت تولید منعثی داشته باشد بطور جداگانه امتیاز تعیین می گیرد

لینک اینترنتی و لاین ارتباط و نتایج: <http://conf.maybodiau.ac.ir>

تلفن دفتر خانه: ۰۲۵-۲۲۷۸۹۵۵
کد پستی: ۰۹۱۳۵۷۶۰۹۶
Email: ceriran@maybodiau.ac.ir
سازمان دفتر خانه مسابقه: مبید - کیلو متر ۳ جاده مبید یزد - دانشگاه آزاد اسلامی - مرکز آنالیز مواد و سرامیک

دکتر غلامرضا زارعی محمودآبادی گفت: مبید به عنوان اصلی ترین قطب تولید کاشی و سرامیک و خواستگاه این صنعت و دانشگاه آزاد نیز که از بسابقه ترین و مجدهترین دانشگاههای کشور در این رشته در تکمیل رسالت خود که همانا برقراری ارتباط صنعت و دانشگاه است اقدام به برگزاری این مسابقات آن هم در سطح خواهد کرد.

وی در ادامه بیان داشت: در این زمینه مجوزهای لازم از سازمان مرکزی دانشگاه و سایر مراجع اخذ شده و در حال حاضر دانشجویان، اساتید، فارغ التحصیلان و همچنین واحدهای تولیدی می‌توانند با مراجعت به سایت <http://conf.maybodiau.ac.ir> ضمن آشنایی با قوانین و مقررات نسبت به ثبت نام اقدام کنند.

زارعی خاطرنشان کرد: بدليل اینکه در برگزاری این مسابقات بایستی تیم‌ها تمام نمونه‌ها خود را آماده و جهت آزمایش به دبیرخانه این مسابقه در دانشگاه ارسال نمایند که این خود زمان براست لذا آخرین مهلت ثبت نام اول بهمن ماه و آخرین مهلت ارسال نمونه‌ها ۱۰ بهمن ماه تعیین شده است.

معاون پژوهشی دانشگاه در پایان گفت: امیدواریم این مسابقات بتواند نقشی موثر در ارتقاء تولیدات کاشی و سرامیک داشته باشد و در این راه دست صاحبان این صنعت را به گرمی می‌نشانیم.

منبع: <http://yazdrasa.ir/cs/article/32678264>

اخبار علمی

سیمان الهام گرفته از خارپشت دریایی (sea urchin-inspired cement) می‌تواند مقاومت بتن در برابر شکست را افزایش دهد.

ساختارهایی که از آجر و ملات شکل می‌گیرند ترکیبی از استحکام و انعطاف‌پذیری را ارائه می‌کنند. در طبیعت نیز چنین ساختارهایی را می‌توان یافت. به طور مثال در طبیعت صدف‌های مروارید دارای چنین ساختاری است. در ساختار این صدف‌ها از آجرهایی در اندازه نانو و از جنس آرگونیت استفاده شده است. لازم به ذکر است که هدف از این ساختار جلوگیری از ایجاد ترک نیست بلکه هدف جلوگیری از رشد ترک است. به طور مثال در ساختارهای آجر و ملات آجرها به دلیل ماهیت ترد خود قابلیت ترک خود را دارند ولی ترک هنگامی که به ملات می‌رسد به دلیل نرمتر بودن ملات نمی‌تواند به رشد خود ادامه دهد و یا اینکه تعییر جهت می‌دهد و در نتیجه ساختار پایدار می‌ماند. خارپشت‌های دریایی مشابهی برای ستون فقرات خود استفاده می‌کنند. آنها در واقع بلوك‌های کلسیتی کریستالی را با کربنات کلسیم آمرف به صورت آجر و ملات ترکیب می‌کنند. در گذشته چنین ساختارهایی برای استحکام بخشی شیشه و سرامیک استفاده شده است اما آیا این روش را می‌توان برای سیمان نیز استفاده کرد. پژوهشگران در دانشگاه کنستانز آلمان نشان داده‌اند که می‌توان با تولید ساختاری مشابه آجر و ملات در حد سایز نانو استحکام سیمان را افزایش داد. برای این منظور پژوهشگران نوعی بایندر پلیمری را به سیمان اضافه کرده‌اند تا از واکنش بین ذرات نانویی سیمان جلوگیری کند. در ظاهر به نظر می‌رسد که این امر باعث ضعیفتر شدن سیمان شود؛ ولی در واقع این امر به دانشمندان اجازه می‌دهد تا ساختار نانویی منظمی را در مخلوط سیمان ایجاد کنند. اگر از واکنش بین ذرات نانویی سیمان جلوگیری نشود؛ این نانو نانو ذرات به یکدیگر می‌چسبند و مخلوطی آمورف را به وجود می‌آورند. بایندرهای پلیمری که به مخلوط اضافه می‌شوند از واکنش ذرات مشخصی از سیمان جلوگیری می‌کنند و موجب می‌شوند که ساختار منظم‌تری ایجاد شود. پژوهشگران در مقاله‌ی خود بیان داشته‌اند که سیمان به دست آمده ۴۰ تا ۱۰۰ برابر از بتن در مقابل شکست مقام‌تر است. اگر ستونی از این سیمان ساخته شود می‌تواند تا ۸۰۰۰ متر ارتفاع داشته باشد و این ده برابر از بلندترین ساختمان جهان بلندتر است البته شاید بیشتر از این را نتوان ساخت چون ستون در اثر وزن خود خراب می‌شود. به عنوان مقایسه اگر بخواهیم ستونی از فولادی با استحکام ۲۵۰ مگاپاسکال بسازیم ارتفاع آن می‌تواند فقط به ۳۰۰۰ متر برسد. دانشمندان برای تست این فرمولا‌سیون سیمانی، با استفاده از آسیاب‌های یونی، ستونی به اندازه‌ی ۳ میکرومتر ساختند و آن را آزمایش کردند تا بیانند که این ستون چگونه بعد از آزمایش به حالت قبلی خود برگردد. آنها یافتند که حداقل در سایز نانو، ستون به جای این که بشکند به خوبی به حالت اولیه‌ی خود برگشت. دانشمندان تعییر الاستیکی برابر ۲۰۰ مگا پاسکال را گزارش کرده‌اند و این در مقایسه با بتن استاندارد که تعییراتی برابر با ۲ تا ۵ مگا پاسکال را نشان می‌دهد بسیار بالاست. البته نیاز به آزمایش‌های بیشتری است تا بتوان این نتایج آزمایش در حد نانو را به اندازه‌های بزرگ‌تر تعیین کرد. بنابراین دانشمندان با الهام گیری از طبیعت زنده توانستند به ساختارهای بسیار مستحکم دست یابند. برای مطالعه اصل مقاله ارائه شده از کد زیر استفاده نمایید: DOI:10.1126/sciadv.1701216

منبع: <https://t.me/IrCeC>

توسعه کاربرد کامپوزیت‌های پایه سرامیکی CMC در صنایع هوا فضا

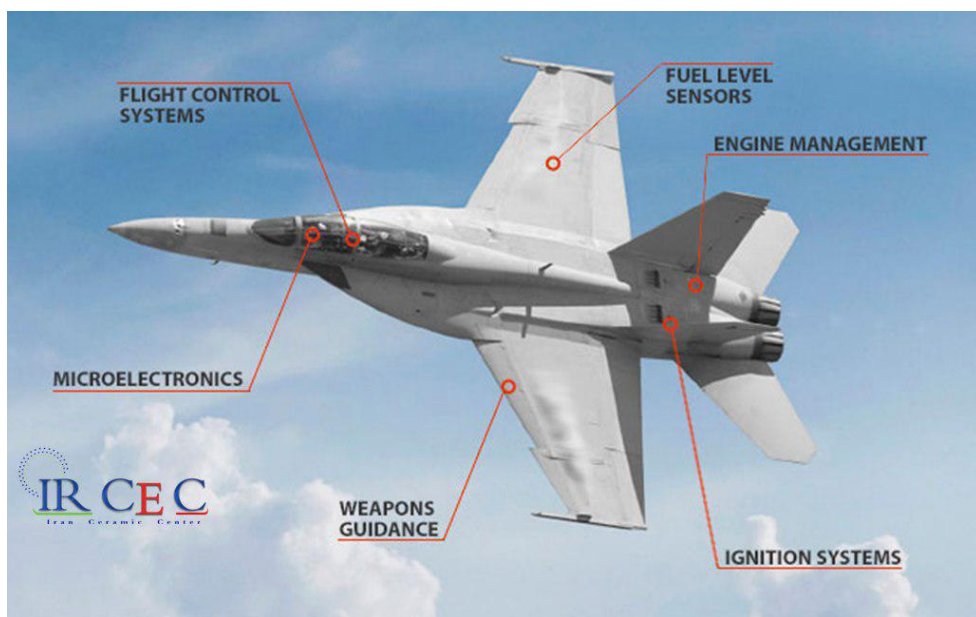
هدف از تولید این محصولات کاهش وزن، بهبود پایداری و صرفه‌جویی چشمگیر در ساخت توربین‌های است. در ساخت کامپوزیت‌های سرامیکی از انواع ذرات با الیاف سرامیکی استفاده می‌شود. مخلوط شکل داده شده و در صورت لزوم بمنظور افزایش تراکم محصول مجدداً عملیات تزریق چند باره تحت فشار انواع ترکیبات حاوی کربن انجام می‌شود. محصول شکل داده شده عملیات حرارتی شده تا با انجام واکنش‌های در جا ماند و واکنش سیلیکون و کربن بمنظور تشکیل کاربید سیلیسیم استحکام نهایی تامین شود.

کامپوزیت‌های پیشرفته پایه سرامیکی CMC در سالهای اخیر توسعه روز افزونی داشته و در صنایع مختلف بکار گرفته شده‌اند.

منبع: <https://t.me/IrCeC>

کاربرد شیشه سرامیک‌ها برای صنعت حمل و نقل هوایی

امروزه مواد پیشرفته شیشه‌ای در نقاط مختلف صنعت هوایی نقش مهمی ایفا می‌کنند. مواد پیشرفته شیشه‌ای و مواد نسوز به سرعت توسعه می‌یابند تا در شرایط سخت، با قابلیت اطمینان و دقت بالا کار کنند. اجزای مهم هوایی مانند ترمز، فلپ، اجزاء سوخت و سنسورهای هیدرولیکی از مواد شیشه‌ای بهره می‌گیرند. به همین دلیل است که برخی شرکت‌های شاخص مواد پیشرفته به عنوان یک رهبر در صنعت کاربرد شیشه سرامیک در نظر گرفته شده‌اند و تکنولوژی پوشش شیشه‌ای در سراسر صنعت حمل و نقل هوایی فناوری برجسته محسوب می‌شود.



مواد پیشرفته شیشه‌ای در انواع هواییماهای بکار گرفته شده‌اند. این مواد از جمله در کاندیداهای کاملاً کاربردی مانند پنجره‌ها، لنزها و سنسورها اطمینان بسیاری را جلب کرده‌اند. سنسورها و ابزارهای پیشرفته بر پایه شیشه و مواد کامپوزیتی شیشه سرامیکی هستند. این نوع خا از مواد شیشه‌ای مقاوم در برابر سایش، سبک وزن و مقاوم در برابر حرارت هستند، بنابراین آنها می‌توانند در تعدادی از مواد کاربرد در ارتفاع بالا گنجانیده شوند. اجزای شیشه سرامیکی برای دریچه‌های دید و با مقاومت عالی در برابر سایش در هواییما تجاری مانند Boeing 777 و هواییماهای نظامی به کار رفته‌اند.

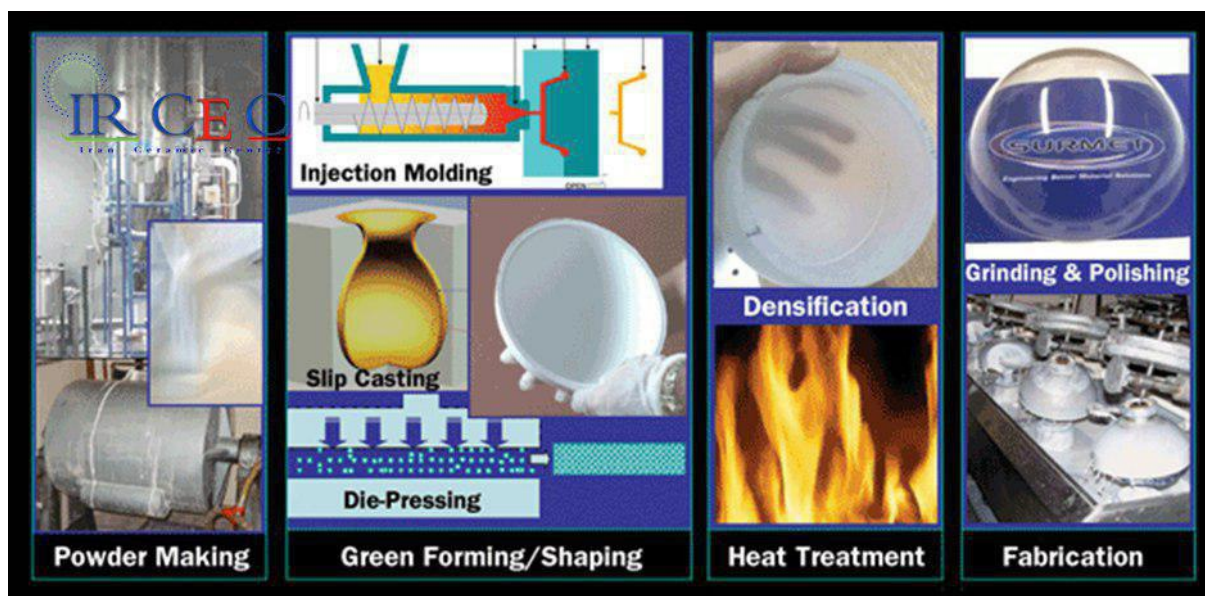
همچنین در ابزار دقیق هواییما نیاز به مواد پیشرفته شیشه‌ای است که قابلیت اطمینان و دقت را ارائه می‌دهند. این مواد و پوشش‌های شیشه‌ای در چند پانل‌های کابین خلبان، از جمله سرعت سنج، دماسنجد و ارتفاع سنج‌ها بکار می‌روند. علاوه بر این، سازه‌های شیشه‌ای بایستی استاندارهای بالای کنترل کیفیت را تامین کنند تا اطمینان حاصل شود که آنها در برابر آب، رطوبت و گاز، آب بندی کاملی دارند. این فناوری سال‌هاست که تجربه کار در صنعت هوایی را پشت سر گذاشتند و تضمین می‌کند که قطعات هواییما می‌ایمن، قابل اعتماد و دقیق هستند.

قدمت تولید شیشه پیشرفته به بیش از ۷۰ سال می‌رسد. پوشش‌ها و مواد شیشه‌ای و مواد دیرگذار مستحکم برای عملکرد در شرایط سخت و با قابلیت اطمینان عالی طراحی شده است امروزه سرامیک‌های پیشرفته با کاربرد ویژه در بسیاری از هواییماهای C-17، F-22، F-18 و Combat Strike Fighter بکار گرفته شده‌اند.

منبع: <https://t.me/IrCeC>

سخت‌ترین سرامیک‌های شفاف پای کریستال

سخت‌ترین سرامیک شفاف پلی کریستالی AION یا آلومینیوم اکسی نیترید است که یکی از انواع شگفت‌انگیز و منحصر بفرد گروه سرامیک‌های شفاف است. این محصول یک سرامیک پلی کریستال (ساخته شده از پودر) با ساختار کریستالی مکعبی است که گاه به آن آلومینیوم شفاف یا آلون گفته می‌شود. این محصول سرامیکی بطور گسترده‌ای در صنایع استراتژیک و دفاعی کاربرد دارد.



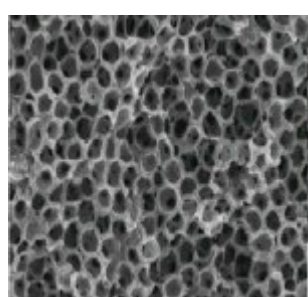
ایالات متحده پیشرفت‌های جدیدی را در زمینه تولید آلومینیوم شفاف اعلام کرده است. ماده پیشرفت‌های که پیش‌بینی می‌شود در قرن ۲۳ به عنوان سرامیک ساختمانی بکار کرفته شود.

لوله‌ها و پنجره‌های شفاف، میله‌ها و صفحات شفاف می‌توانند از روش‌های متداول سرامیکی و با استفاده از پودر ساخته شوند. روش‌های ساخت این ماده در حال توسعه است و هزینه ساخت آن معادل ساخت سفایر سنتزی است. AlOn دارای استحکام خارق العاده‌ای است و می‌تواند بعنوان شیشه ضد گلوله بکار رود که می‌تواند یک گلوله کالیبر ۵۰ متر در ثانیه ۸۲۳ متر را متوقف کند. این زره سرامیکی می‌تواند ضخامتی معادل نصف شیشه‌های ضد گلوله با همان کارآیی را داشته باشد. در این کاربرد بصورت ورقه‌های شیشه‌ای بهمراه مواد پلیمری ساخته می‌شود.

منبع: <https://t.me/IrCeC>

تأثیر ابعاد نانوذرات در خاصیت نهایی نانوکامپوزیت

محققان نشان دادند که می‌توان با افزایش ابعاد نانوذرات می‌توان استحکام و انعطاف‌پذیری محصول نهایی یک کامپوزیت متخلخل را افزایش داد.



محققان دانشگاه رایس موفق به سنتز نانوذرات متخلخل کروی از جنس سیلیکات و کلسیم شدند که به صورت فیلم نازک و پلاکت در می‌آید؛ این نانوذرات در معرض فشار سفت می‌شوند. یافته‌های این گروه نشان داد که در صورت افزایش ابعاد ذرات به ۵۰۰ نانومتر، ساختار محصول نهایی صلب‌تر شده و زمانی که تحت فشار قرار می‌گیرد، احتمال ترک خوردن آن کاهش می‌یابد.

این ساختار متخلخل بوده و می‌توان از آن به عنوان واحد سازنده برای تولید مواد خودترمیم شونده، رهاساز دارو، عایق، مواد ساختمانی و سرامیک استفاده کرد.

روزبه شهسواری و همکارانش ذرات متخلخلی بین ۱۵۰ تا ۵۵۰ نانومتر ساختند که حفره‌های موجود روی آن در حدود پهناهی یک رشته DNA است.

این گروه در ادامه، ذرات را به هم متصل کرده و ورق‌ها و پلاکت‌های میکرومقياس تولید کردند. نتایج یافته‌های آن‌ها نشان داد که ذرات بزرگتر، ۱۲۰ درصد مستحکم‌تر از ذرات ریز هستند؛ این آزمایش ۹۰۰ بار تکرار شد. روزبه شهسواری از محققان این پروژه می‌گوید که شواهد بسیاری جمع‌آوری شده که نشان می‌دهد افزایش ابعاد ذرات از ۳۰۰ به ۵۰۰ نانومتر موجب تغییر خاصیت محصول از حالت شکننده به انعطاف‌پذیر می‌شود. نکته جالب توجه این است که اندازه حفره‌ها در هر دو حال معمولاً بین ۲ تا ۴ نانومتر ثابت است. نتایج این پروژه برای مهندسان و کسانی که روی نانوذرات به عنوان واحدهای سازنده مواد بزرگتر کار می‌کنند، اهمیت زیادی دارد. شهسواری می‌گوید: «زمانی که با واحدهای سازنده متخلخل سر و کار داریم، رابطه میان ابعاد ذرات، تخلخل و خواص مکانیکی اهمیت زیادی پیدا می‌کند. در این پروژه، ما دریافتیم که می‌توان با افزایش ابعاد ذرات، از حالت شکننده به حالت انعطاف‌پذیر رسید؛ در حالی که اندازه حفره‌ها تغییر نکرده است. این نتایج نشان می‌دهند که ابعاد ذرات کلسیم-سیلیکات در مقیاس‌های بزرگتر و نزدیک به یک میکرون منجر به افزایش استحکام و انعطاف‌پذیری می‌شود و این ویژگی در نهایت دوام محصول نهایی را افزایش می‌دهد.»

نتایج این پروژه در نشریه Applied Materials and Interfaces منتشر شده‌است

www.nano.ir

سنتر آزمایشگاهی فانوپوشش‌های گالوانیزه با خاصیت ترمیم‌شوندگی

محققان دانشگاه صنعتی سهند تبریز با وارد کردن نانوذرات به درون پوشش‌های گالوانیزه، علاوه بر بهبود خواص خدخوردگی آن‌ها، خاصیت خودترمیم شوندگی را نیز به خواص این پوشش‌ها اضافه کردند. پوشش‌های گالوانیزه یکی از پرکاربردترین روش‌های جلوگیری از خوردگی محسوب می‌شود.



مسئله خوردگی و خسارات ناشی از آن سالانه هزینه‌های هنگفتی را به صنایع مختلف تحمیل می‌نماید. استفاده از پوشش‌های سطحی از جمله پوشش‌های گالوانیزه یکی از روش‌های پرکاربرد جلوگیری از خوردگی در سازه‌های فولادی به شمار می‌رود. این نوع پوشش‌ها علی‌رغم مزایای فراوان، عیوبی هم دارند که فناوری نانو توانسته تا حدود زیادی این عیوب را پوشش دهد.

دکتر فرزاد نصیرپوری از خواص مکانیکی ضعیف پوشش‌های گالوانیزه به عنوان یکی از عیوب اصلی این دسته از پوشش‌ها یاد کرد و افزود: «پوشش‌های الکتریکی گالوانیزه از طریق

مکانیسم حفاظت کاتدی، قطعات فولادی را حفاظت می‌کنند، اما طول عمر حفاظت و مشخصه‌های مکانیکی آن‌ها در عمل نسبتاً ضعیف است. یکی از روش‌های بهبود خواص آن‌ها، بالا بردن سختی و کاهش سرعت خوردگی آن‌ها از طریق هم نشانی فلز روی با نانوذرات سرامیکی است. در این پژوهش از نانوذرات سیلیکا برای نیل به این هدف استفاده شده است.»

وی ادامه داد: «بر روی نانوذرات به کاررفته در این پژوهش اصلاح سطحی صورت گرفته است که این موضوع موجب شده تا پوشش نهایی یک پوشش هوشمند و خودترمیم شونده باشد.»

نصیرپوری در خصوص سازوکار عملکرد نانوذرات در افزایش کارایی پوشش گفت: «نانوذرات اکسید سیلیسیوم پایداری قابل توجهی در محلول‌های مختلف از خود بروز می‌دهند. به همین دلیل در این پژوهش از این نانوذرات استفاده شده است. ساختار این نانوذرات به صورت متخلخل است و قبل از اعمال به درون پوشش، توسط بازدارنده خوردگی مولیداتی عامل دار شده‌اند. این موضوع سبب می‌شود، در هنگام سرویس‌دهی، وقتی این پوشش دچار خراش می‌شود، بازدارنده خوردگی آزاد شده و زیرلایه و خود پوشش را حفاظت نماید.»

در طرح حاضر از بهمنظور پوشش‌دهی از روش آبکاری الکتریکی استفاده شده است. همزمان نانوذرات اصلاح شده نیز بر روی سطح زیرلایه هم‌نشانی شده. در ادامه نیز پوشش اعمال شده مشخصه یابی شده و خواص آن با استفاده از روش‌های الکتروشیمیایی نظری امپدانس الکتروشیمیایی و پولاریزاسیون تا福ل مورد ارزیابی قرار گرفته است.

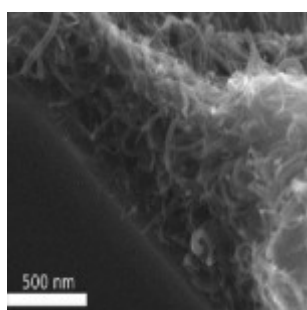
نتایج به دست‌آمده از آزمون‌های خوردگی حاکی از آن است که سرعت خوردگی پوشش اعمال شده ۱/۲۵ میل بر سال است که این مقدار در حدود یک‌دهم پوشش‌های مشابه است.

کتابیون علی پور - فارغ التحصیل مقطع کارشناسی ارشد و دکتر فرزاد نصیر پوری - عضو هیأت علمی دانشگاه صنعتی سپهند تبریز در انجام این طرح همکاری داشته‌اند. نتایج این کار در مجله‌ی RSC Advances با ضریب تأثیر ۳/۱۰۸ (جلد ۷، سال ۲۰۱۷، صفحات ۵۱۸۷۹ تا ۵۱۸۸۷) منتشر شده است.

منبع: www.nano.ir

روشی برای تولید نانوکامپوزیت با استفاده از نانولوله‌های کربنی

محققان آلمانی روشی ارائه کردند که با استفاده از آن می‌توان شبکه‌ای از نانولوله‌های کربنی ایجاد کرد؛ بدون این که ساختار آن‌ها دستخوش تغییر شود. با تزریق ماده‌ای نظیر پلیمر، در میان این شبکه می‌توان نانوکامپوزیت با خواص منحصر به فرد تولید کرد.



نانولوله‌های کربنی دارای خواص منحصر به فردی هستند، اما ترکیب آن‌ها با مواد دیگر با سختی انجام می‌شود؛ زیرا این کار منجر به از دست رفتن برخی از ویژگی‌های نانولوله‌ها می‌شود. محققان روشی ارائه کردند که با استفاده از آن می‌توان نانولوله‌های کربنی را با دیگر مواد ترکیب کرد؛ بدون این که خواص مفید نانولوله‌ها دستخوش تغییر شود. این گروه نانولوله‌ها را همانند نخ در هم تنیده و در نهایت شبکه سه بعدی و پایدار از آن‌ها ایجاد کردند.

راینر ادلونگ از مدیران کارگروه نانومواد کاربردی می‌گوید: «هر چند نانولوله‌های کربنی از انعطاف‌پذیری بالایی برخوردار هستند، اما این رشته‌ها نسبت به تغییر بسیار حساس‌اند. پیش از این ما تلاش کرده بودیم تا آن‌ها را به دیگر مواد به صورت شیمیایی متصل کنیم، اما این کار منجر به از دست رفتن برخی خواص مفید نانولوله‌ها شد».

در این پژوهش محققان از راهبرد مبتنی بر فرآیند فیلتراسیون شیمیایی مرطوب استفاده کردند. نانولوله‌های کربنی با آب ترکیب شده و درون ماده سرامیکی متخلخل از جنس اکسید روی تزریق می‌شوند. این ماده متخلخل همانند اسفنج، سیال را جذب می‌کند و نانولوله‌های کربنی به سطح داربست متصل می‌شوند و در نهایت به صورت خودبه‌خودی تشکیل لایه‌ای پایدار را می‌دهد. این داربست سرامیکی با نانولوله‌های کربنی پوشش داده می‌شود. این لایه نانولوله‌ای می‌تواند نقش ضربه‌گیر را ایفا کند، به طوری که فشار وارد شده به جاذب را دفع کند.

این ساختار شبیه به خانه‌هایی است که با طناب و نی ساخته شده‌است که در عین سادگی از استحکام بالایی برخوردار است. این گروه در گام بعدی اقدام به حل کردن زیرلایه با روش اچ شیمیایی کردن تا با این کار تنها شبکه سه بعدی از نانولوله‌های کربنی باقی بماند. حالا می‌توان از فضاهای خالی میان نانولوله‌ها در این شبکه استفاده کرد. برای مثال، می‌توان در آن پلیمر تزریق نمود و بدون این که ساختار نانولوله‌های کربنی دستخوش تغییر شود، کامپوزیت پلیمر/نانولوله ایجاد نمود.

نتایج این کار محققان دانشگاه کیل و دانشگاه ترنتو در قالب مقاله‌ای با عنوان Hierarchical self-entangled carbon nanotube tube networks در نشریه nature communications چاپ رسیده است.

منبع: www.nano.ir

ساخت اولین کارخانه تصفیه پساب مبتنی بر فناوری نانو در پرو



شرکت اینل (Enel) در پرو اولین کارخانه تصفیه پساب مبتنی بر فناوری نانو را می‌سازد. این کارخانه بدون تولید گاز دی‌اکسید کربن، تنها از باد برای تأمین انرژی مورد نیاز خود استفاده می‌کند.

اینل اولین کارخانه تصفیه پساب مبتنی بر فناوری نانو در آمریکای لاتین را راهاندازی کرد. با استفاده از این کارخانه، اینل می‌تواند ۳۵۰ متر مکعب آب را تصفیه کرده و مجدد از آن استفاده کند که این کار منجر به کاهش انتشار ۱,۶۴ تن گاز دی‌اکسید کربن می‌شود.

اینل یکی از شرکت‌های فعال در حوزه انرژی‌های تجدیدپذیر در پرو است که اخیراً اقدام به ساخت کارخانه تصفیه پساب در منطقه ایکا در پرو کرده است.

اوبرتو ماگرینی از مدیران بخش انرژی سبز این شرکت می‌گوید: «این کارخانه از فناوری بسیار خلاقانه‌ای برخوردار است که برای اولین بار در مزرعه بادی واپرای نصب شده است. این کارخانه با تصفیه آب می‌تواند اثرات زیست‌محیطی مثبتی در این منطقه داشته و روی اقتصاد منطقه نیز تأثیرگذار باشد.»

در این کارخانه برای تصفیه پساب از یک سری غشای سرامیکی مبتنی بر فناوری نانو استفاده شده که روش ساخت آنها به صورت پتنتی به ثبت رسیده است. در این غشاء‌ها از باکتری‌ها برای تصفیه آب به شکل طبیعی استفاده می‌شود. در نیمه اول سال ۲۰۱۸ ساخت این کارخانه به اتمام می‌رسد و بعد از تکمیل آن امکان تصفیه ۳۵۰ متر مکعب آب فراهم می‌شود؛ در نهایت با این کار میزان مصرف آب کاهش می‌یابد. این کارخانه نیاز به استفاده از ماشین‌ها را برای زدایش لجن کم می‌کند که این کار در ادامه منجر به کاهش تولید گاز گلخانه‌ای می‌شود.

در این کارخانه از ادواتی استفاده می‌شود که گاز دی‌اکسیدکربن تولید نکرده و به جای آن از ۴۷نراتور ۴ کیلوواتی با باتری‌های ۲ کیلوولتی استفاده می‌شود. این کارخانه به گونه‌ای طراحی شده که می‌توان آن را حمل کرد و در محل جدید از آن استفاده نمود. این کارخانه بزرگترین پروژه بادی است که در پرو ساخته می‌شود. ظرفیت تولید برق در این کارخانه ۶۰۰ گیگاوات ساعت بوده که عاری از دی‌اکسید کربن است. هزینه ساخت این کارخانه تقریباً ۱۶۵ میلیون دلار آمریکاست.

منبع: www.nano.ir

تأثیر فسفات کلسیم در ساخت پیش شکل سیلیسیم کاربید به روش ریخته‌گری ژلی

فهیمه اصغری^۱، سعید باغشاهی^{۱*}، حمیدرضا بهاروندی^۲

^۱ دانشگاه آزاد اسلامی، واحد علوم و تحقیقات، دانشکده مواد، گروه سرامیک

^۲ دانشگاه صنعتی مالک اشتر، مجتمع دانشگاهی مواد و فناوری‌های ساخت



دکتر سعید باغشاهی،
نویسنده‌ی مسئول مقاله،
دانشگاه آزاد اسلامی، واحد
علوم و تحقیقات

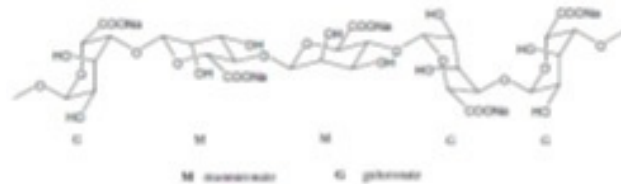
چکیده: ریخته‌گری ژلی یک فرایند نسبتاً نوین شکل‌دهی مواد پودری است که به دلیل قابلیت دستیابی به بدنه‌هایی با استحکام خام بالا و امکان تولید قطعاتی با اشکال پیچیده، امروزه مورد توجه قرار گرفته است. در این تحقیق از فرآیند نوین ریخته‌گری ژل در سیستم سدیم آژرینات غیر سمعی برای ساخت پیش شکل کاربید سیلیسیم (SiC) استفاده شد و پس از آن تأثیر افزودن مقادیر متفاوت فسفات کلسیم در سوسپانسیون بر استحکام خام و چگالی نسبی پیش شکل کاربید سیلیسیم بررسی شد. سوسپانسیون به ترتیب شامل ۳۵ درصد وزنی سدیم آژرینات بود. از فسفات کلسیم (Ca₃(PO₄)₂) و سدیم هگزا متافسفات (NaPO₃)₆) به ترتیب به عنوان عامل جامدساز و کلیستاز استفاده شد. بعد از انجام ریخته‌گری، بدنه‌ها به مدت ۳۶ ساعت در دمای اتاق خشک شدند. نتایج نشان داد که وجود مقدار بهینه ۵ درصد جرمی فسفات کلسیم موجب تولید پیش شکل کاربید سیلیسیم با چگالی نسبی ۵۶/۱ درصد شد. همچنین تصاویر SEM، حضور ذرات سیلیسیم کاربید در شبکه سه بعدی ژل را نشان می‌دهد که باعث ایجاد پیش شکل سرامیکی با استحکام خمثی ۲/۵ MPa شد.

کلمات کلیدی: کاربید سیلیسیم، ریخته‌گری ژلی، سدیم آژرینات، پیش شکل، فسفات کلسیم.

۱- مقدمه

یکی از پرکاربردترین روش‌های ساخت کامپوزیت‌های زمینه فلزی، روش نفوذدهی مذاب است. در این روش، نیاز به یک پیش‌شکل سرامیکی است که فلز خورانی از طریق نفوذ مذاب به درون تخلخل‌ها میسر شود [۱]. بنابراین گام نخست در تولید کامپوزیت‌های زمینه فلزی با استفاده از این روش ساخت یک قطعه متخلخل سرامیکی با ریزاساختار یکنواخت و توزیع مناسبی از تخلخل به همراه خواص مناسب، است [۲]. از عمدۀ ترین ترکیب‌های سرامیک‌های مهندسی می‌توان به آلومینیا، زیرکونیا، کاربید سیلیسیم، تنگستن کارباید، بران کارباید و سیلیسیم نایتراید اشاره کرد [۳]. ریخته‌گری ژلی اولین بار توسط آزمایشگاه ملی اوکراین اختراع شده است و روشی مناسب برای ساخت سرامیک‌های پیچیده شامل محصولات سرامیکی کاربید سیلیسیمی است [۴]. ویژگی بسیار مهم این روش در مقایسه با ریخته‌گری نواری و دوغابی، آن است که دوغاب را می‌توان در همان شرایط جامد کرد که در نتیجه این امر، ابعاد دقیق‌تری بدست خواهد آمد [۵]. یکی از معایب این روش استفاده بسیار زیاد از مونومر اکریلامید است که ماهیت سمعی دارد و موجب خطرات زیست محیطی می‌شود [۶، ۷]. از این رو اخیراً فرآیند ریخته‌گری ژلی آژرینات به دلیل میزان کم سمتیت مورد توجه قرار گرفته است [۸]. آژرینات، یک پلی ساکاراید خطی است که از مقادیر مختلف دو مونومر بتا-دی-مانورونیک^۱ (M) اسید و آلفا-آل-گولورونیک^۲ (G) اسید تشکیل شده است؛ اولی دارای اتصال‌های ۱→۴ و دومی حاوی اتصال‌های ۱→۳ است. ساختار حلقه‌های قند در این دو زیر واحد درون زنجیره‌های پلیمر با یکدیگر متفاوت است (شکل ۱) [۹].

^۱ β -D-Mannuronic
^۲ L-Gularonica



شکل ۱- ساختار سدیم آلزینات، فرمول شیمیایی بلوك GM، بلوك GG و بلوك MM

برای توضیح مکانیزم اتصال عرضی در ژلهای آلزینات اصطلاحاً از مدل جعبه تخم مرغ^۱ استفاده می‌شود، که در آن پیوند مشترک یون‌های فلزی دوظرفیتی در بین زنجیره‌های هم راستای پلی‌گلوراتات منجر به تشکیل شبکه سه بعدی پلیمری می‌شود [۱۰]. در واقع چنین ساختارهایی موجب می‌شوند که هر جا در طول زنجیره پلیمر دو واحد اسید گلورونیک در مجاورت یکدیگر قرار گیرند، نوعی حفره ایجاد شود که ابعاد آن به خوبی با اندازه یون‌هایی که تمایل شدید به مولکول آلزینات دارند، مطابقت می‌کند [۱۱].

در فرآیند نوین ریخته‌گری ژل در سیستم سدیم آلزینات (پلیمری طبیعی بدون هرگونه عوارض زیستی) عامل ژل‌ساز و چیلاتور به طور همزمان به محلول سدیم آلزینات افزوده شده و به این ترتیب از واکنش ژل شدن بین یون‌های کلسیم و سدیم آلزینات پیش از ریخته‌گری جلوگیری می‌شود. با افزودن اسید به محلول، یون‌های کلسیم آزاد شده و با سدیم آلزینات واکنش می‌دهند. در نتیجه یک شبکه سه بعدی ژل ایجاد می‌شود و در نهایت، ذرات سرامیکی در این شبکه سه بعدی ثبیت می‌شوند. در این حالت محلول جامد شده و قطعات خام نزدیک به شکل نهایی تشکیل می‌شود [۱۲، ۱۳].

مرحله بعدی، فلز خورانی و ساخت بدنه‌های پیوند واکنشی است. بدنه‌های پیوند واکنشی ابعاد خود را با کمترین تغییرات، بعد از پرسه فشرده کردن حفظ می‌کنند. در بدنه‌های پیوند واکنشی، Si باقی مانده که درون تخلخل قرار دارد اثر ویژه‌ای روی خواص مکانیکی دارد. برای بهبود خواص بدنه‌های پیوند واکنشی، شرایط برای تشکیل ریز ساختار همگن باید فراهم باشد [۱۴].

در تحقیق حاضر هدف تولید پیش شکل‌های متخلخل کاربید سیلیسیمی به روش ریخته‌گری ژل در سیستم سدیم آلزینات و بررسی تاثیر فسفات کلسیم در فرآیند تولید و جهت حصول قطعاتی با ریزساختار و توزیع تخلخل یکنواخت و خواص مناسب به منظور ماشین کاری و تبدیل آن‌ها به قطعات سرامیکی با اشکال پیچیده است [۱۵].

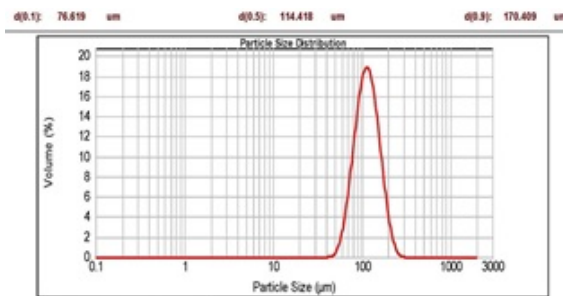
۲- فعالیتهای تجربی

در ابتدا پودر سدیم آلزینات در آب یون زدایی شده به مدت ۳۰ دقیقه توسط یک همزن مکانیکی مخلوط شد. سرعت همزن به تدریج تا ۴۷۰ دور بر دقیقه افزایش یافت، تا زمانی که یک محلول مونومری یکنواخت حاصل شد. به منظور کاهش گرانروی، محلول به مدت ۴۸ ساعت در محدود دمای ۶۰-۷۰°C در آون حرارت داده شد. سپس کاربید سیلیسیم با متوسط اندازه ذرات ۱۱۴ میکرون (شکل ۲) به تدریج و همراه با هم زدن به محلول اضافه شد تا مقدار ماده جامد سرامیکی در دوغاب به مقدار مورد نظر برسد. در ادامه تترامتیل آمونیم هیدروکسید^۲ (N(CH₃)₄OH) به میزان ۵٪ وزنی پودر به محلول اضافه شد و به مدت ۳۰ دقیقه هم زدن ادامه یافت تا از طریق باردار شدن سطحی ذرات پودر و ایجاد دافعه الکترواستاتیک، یک محلول یکنواخت ایجاد شد. سپس سدیم هگزاماتافسفات و فسفات کلسیم به محلول افزوده شد. سوسپانسیون حاصل به منظور از بین رفتن آگلomerهای وجود آمده مدت ۱ ساعت آسیاب شد. پس از آن گاززدایی تحت خلا به مدت ۱۰ دقیقه انجام شد.

در این مرحله دوغاب یکنواخت و آماده ریخته‌گری حاصل شد. با افزودن هگزان دیوئیک اسید، محلول حاصل در یک قالب غیرمتخلخل ریخته‌گری شد، در مدت زمان کوتاهی عملیات پدیده ژل شدن تکمیل شد. در تحقیق حاضر از قالب غیرمتخلخل پلاستیکی مکعبی شکل به طول، عرض و ارتفاع به ترتیب ابعاد ۳×۲×۱ cm و قطر بدنه کم به منظور انتقال رطوبت بهتر استفاده شد. بعد از انجام ریخته‌گری درون قالب، درب آن بسته و در یک محل ثابت به مدت ۳۶ ساعت در دمای محیط نگه‌داری شد. در جدول ۱ نمونه‌های ساخته شده آورده شده است. روند نمای مراحل ساخت نمونه نیز در شکل ۳ نشان داده است.

¹ Egg boxmodel

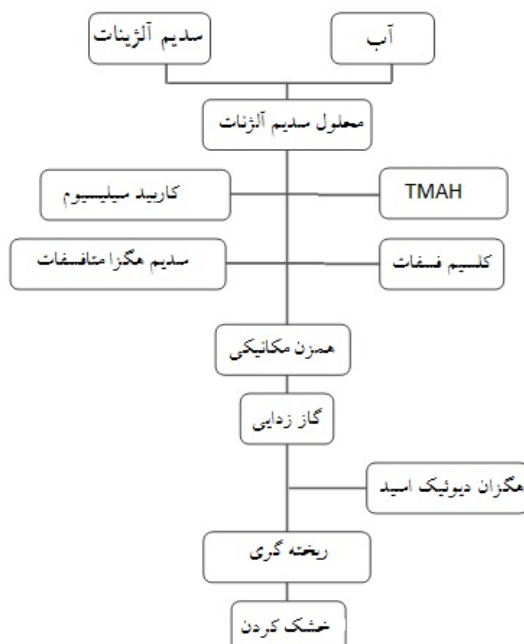
² Tetra Methyl Ammonium Hydroxide (TMAH)



شکل ۲- توزیع اندازه ذرات سیلیسیم کاربید پودر توزیع اندازه ذرات سیلیسیم کاربید پودر

جدول ۱- میزان فسفات کلسیم مورد استفاده در ژلهای ساخته شده (٪ حجمی پودر و ۱/۵ درصد وزنی سدیم آژینات)

A ₄	A ₃	A ₂	A ₁	نمونه
۲/۰	۱/۵	۱/۲	۱/۰	فسفات کلسیم (g)



شکل ۳- روند نمای مرحله ساخت نمونه‌ها

۳- نتایج و بحث

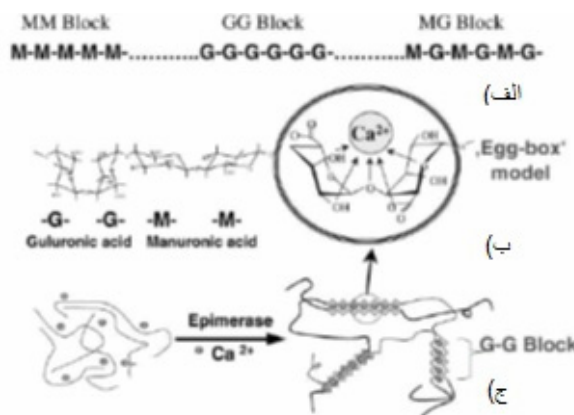
با توجه به جدول ۱ تاثیر مقدار یون دو ظرفیتی کلسیم در رفتار پدیده ژل شدن قطعات کاربید سیلیسیم مورد بررسی قرار گرفت. با تغییر پارامتر مورد نظر در بررسی نمونه A₁ هیچ تغییری در ساخت ژل حاصل نشد که علت اصلی آن را می‌توان به میزان کمبود فسفات کلسیم نسبت داد.

پلیمرهای آژیناتی به دلیل داشتن بار منفی با یون های دو یا چند ظرفیتی (به غیر از منیزیم) پیوندهای عرضی به وجود آورده و ایجاد تار و رشته، ژل و دانه های آژیناتی می نماید (شکل ۴).

قدرت اتصال به کاتیون های دو ظرفیتی برای فرآیند تشکیل ژل در آژینات الزامی است [۱۶]. از این رو نمک دو ظرفیتی کلسیم هم از نظر ابعادی با حفره ایجاد شده در طول زنجیره پلیمری مطابقت دارد و هم تمایل شدید به مولکول آژینات دارد.

کمبود فسفات کلسیم موجب می شود که با آژینات واکنش انجام نشود و پدیده ژل شدن رخ ندهد. این موضوع سبب می شود که پس از خشک شدن نمونه، لایه نازکی از آژینات و فسفات کلسیم روی سطح قرار بگیرد. همانطور که در شکل ۵ مشاهده

می‌شود، در نمونه A1 به علت مقدار کم $\text{Ca}_3(\text{PO}_4)_2$ ، کلسیم به میزان لازم وجود نداشته و در نتیجه قدرت کافی برای نگه داشتن ذرات در سیستم ژل سدیم آلزینات را ندارد [۱۰]. از این رو ذرات ته نشین شده و یک لایه به رنگ روشن روی سطح نمونه بوجود می‌آید که بیانگر عدم همگن بودن ژل است.

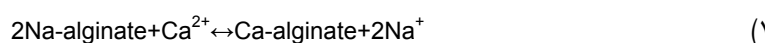


شکل ۴- (الف) توالی بلوک‌های MM، GG و MG، (ب) مکانیزم تشکیل ژل آلزینات و (ج) ساختمان ژل تشکیل شده از بلوک‌های GG [۱۱]



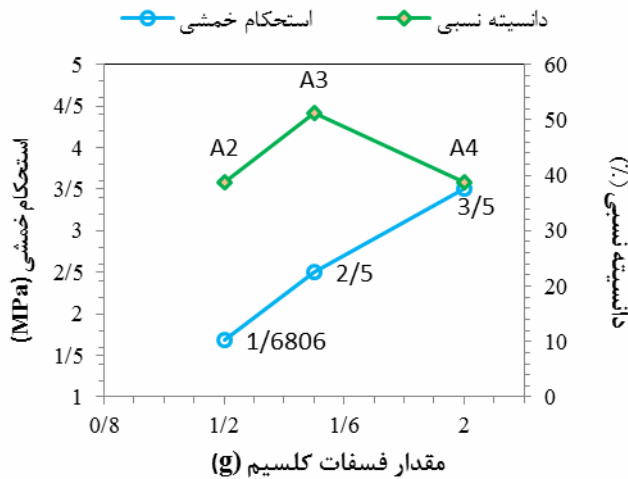
شکل ۵- نمونه A1 حاصل از ژل ناهمگن

هنگامی که نمک فلزی دوظرفیتی به محلول سدیم آلزینات افزوده می‌شود، کاتیون دوظرفیتی جایگزین کاتیون سدیم شده و ژل شدن برگشت‌ناپذیر به طور آنی رخ می‌دهد. واکنش ژل شدن در رابطه (۱) آورده شده است [۱۷].



اما با افزایش $\text{Ca}_3(\text{PO}_4)_2$ در سوسپانسیون، میزان کلسیم برای نگهداری ذرات بیشتر شده و در نتیجه چگالی اتصالات بالا رفته و استحکام بدنه خام افزایش می‌یابد. در این حالت توزیع پیوندهای موثر بین یون‌های کلسیم و آلزینات سدیم یکنواخت می‌شود که در نتیجه آن خواص مکانیکی بدنه خام بهبود می‌یابد. شکل ۶ نمودار افقی تاثیر مقدار فسفات کلسیم بر چگالی نسبی و استحکام خمی را نشان می‌دهد. همان‌طور که در شکل مشاهده می‌شود در نمونه A₂ چگالی و استحکام بدنه خام کاهش می‌یابد. علت این امر را می‌توان جایگزین شدن یون‌های سدیم به صورت ناقص بر روی یون‌های کلسیم دانست. همچنین سوسپانسیون با میزان بیشتر $\text{Ca}_3(\text{PO}_4)_2$ در نمونه A₄ به سرعت سخت می‌شود که باعث هتروژن شدن ساختار و کاهش چگالی نسبی می‌شود. تحقیقات دیگری توسط ونگ^۱ و همکارانش در این زمینه انجام شده است. در این تحقیق میزان فسفات کلسیم به میزان ۱/۲ گرم و ۱ میلی لیتر محلول کی‌لیتساز در سوسپانسیون استفاده شد که استحکام خمی ۲/۴۵، چگالی نسبی ۵۷/۵٪ برای ۴۵٪ حجمی پودر کاربید سیلیسیم گزارش شده است [۴]. در مقایسه این نتایج با تحقیق حاضر تفاوت زیادی در استحکام مشاهده می‌شود که علت اصلی آن را می‌توان وجود کی‌لیت در محلول دانست. شکل ۶ تاثیر فسفات کلسیم بر استحکام خام و دانسیته نمونه‌های حاصل از سوسپانسیون ۳۵٪ حجمی کاربید سیلیسیم نمونه‌های A₂، A₃ و A₄ را نشان می‌دهد.

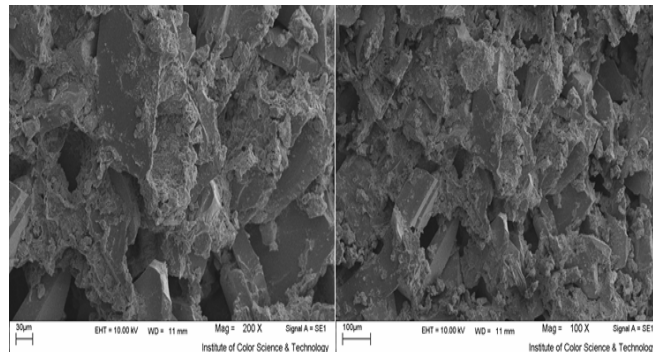
^۱ Wang



شکل ۶- تاثیر میزان فسفات کلسیم بر روی استحکام خام و چگالی نسبی

mekanizm اتصالات عرضی در ژلهای آژینات را می‌توان به صورت مدل جعبه تخم مرغی در نظر گرفت که در آن یون‌های کلسیم بین زنجیره‌های پلی گلورانات قرار می‌گیرند. زنجیره‌ها به شکل قلاب پلی‌ساقارید، ساختاری مشابه با جعبه تخم مرغی تشکیل می‌دهند که در آن یون‌های کلسیم نقش تخم مرغ را دارند. اتصال یون‌های کلسیم قوی است، زیرا علاوه بر اتصال یونی به گروه‌های کربوکسیل، اتم‌های هیدروکسیل اکسیژن و حلقه‌های متعددی توانایی ایجاد پیوند با کاتیون‌ها را دارند [۱۸]. بنابراین ذرات سیلیسیم کاربید در بین این اتصالات قرار گرفته و با توجه به میزان استحکام قابل قبول آن‌ها، قابلیت ماشین‌کاری رضایت‌بخشی دارند [۱۹].

شکل ۴ تصویر میکروسکوپ الکترونی روبشی از سطح قطعه خام ریخته‌گری ژلی شده را نشان می‌دهد. با توجه به شکل، حضور ذرات سیلیسیم کاربید در بین شبکه سه بعدی ژل کاملاً قابل مشاهده است.



شکل ۷- تصویر از نمونه A3 خام ریخته‌گری ژلی شده پودر سیلیسیم کاربید در دو بزرگنمایی متفاوت تصویر از نمونه A3 خام ریخته‌گری ژلی شده پودر سیلیسیم کاربید در دو بزرگنمایی متفاوت

۴- نتیجه‌گیری

در این تحقیق با استفاده از روش ریخته‌گری ژلی پیش‌شکل کاربید سیلیسیمی ساخته شد. نتایج حاصل به طور خلاصه عبارتند از:

- استحکام بدنه خام با افزایش میزان کلسیم افزایش یافت که علت آن را می‌توان افزایش چگالی اتصالات دانست. یون‌های سدیم بر روی مولکول‌های آژینات سدیم با نمک کلسیم اضافه شده به دوغاب جایگزین شدند. در این حالت توزیع کل پیوندهای موثر بین یون‌های کلسیم و آژینات سدیم در میزان کلسیم بیشتر یکنواخت‌تر شد. در نتیجه خواص مکانیکی بدنه خام افزایش یافت.

- با افزایش میزان فسفات کلسیم به عدصد حجمی استحکام خمشی نمونه های خام به $3/5 \text{ MPa}$ افزایش یافت.
- چگالی نسبی با افزایش ۶ درصد حجمی فسفات کلسیم $38/75$ حاصل شد که علت این کاهش چگالی، کمبود میزان یون سدیم و کلیت نشدن کامل یون های کلسیم است.
- در این تحقیق مقدار بهینه فسفات کلسیم ۵ درصد حجمی به دست آمد.
- پیش شکل با ۵ درصد حجمی فسفات کلسیم با بیشینه چگالی نسبی $56/1$ % حاصل شد که نشان دهنده جایگزینی کامل یون های سدیم بر روی یون های فسفات کلسیم است.
- تصویر میکروسکوپ الکترونی روبشی حضور ذرات سیلیسیم کاربید در بین شبکه یکنواخت ژل را نشان می دهد. استحکام خام نمونه $2/5 \text{ MPa}$ بدست آمد که نشان می دهد استحکام بدن خام به طور کلی توسط شبکه سه بعدی ژل تعیین می شود.

مراجع

- [1] B. Heidenreich, "Melt Infiltration Process", in Ceramic Matrix Composites: Fiber Reinforced Ceramics and their Applications, W. Krenkel, Ed., Weinheim, Germany: Wiley-VCH Verlag GmbH & Co. KGaA, Chap. 5, 2008.
- [2] R. Riedel, E. Ionescu and I.W. Chen, "Modern Trends in Advanced Ceramics", in Ceramics Science and Technology. Vol. 1: Structures, R. Riedel and I.W. Chen, Eds., Weinheim: Wiley-VCH Verlag GmbH & Co. KGaA, Chap. 1, 2008.
- [3] S.G. Huang, K. Vanmeensel, O. Van der Biest, J. Vleugels., "Binderless WC and WC-VC Materials Obtained by Pulsed Electric Current Sintering", *International Journal of Refractory Metals & Hard Materials*, vol. 26, pp. 41-47, 2008.
- [4] X. Wang, Zhi-Peng Xie, , Yong Huang, Yi-Bing Cheng., "Gelcasting of Silicon Carbide Based on Gelation of Sodium Alginate", *Ceramics International*, vol. 28, pp. 865-871, 2002.
- [5] Y. Huang and J. Yang, "Novel Colloidal Forming of Ceramics", Springer, 2011.
- [6] N. Keller, C. Pham-Huu, S. Roy, M.J. Ledoux, C. Estournes, J. Guille, "Influence of the preparation conditions on the synthesis of high surfacearea SiC for use as a heterogeneous catalyst support", *J. Mater. Sci.*, 34 (1999) 3189–3202.
- [7] M.A. Janney, O.O. Omate, C.A. Walls, S.D. Nuiui, R.J. Ogle, and G. Westmoreland, "Development of Low Toxicity Gelcasting System", *J. Am. Ceram. Soc.*, 81, 3, 581-591, 1998.
- [8] H. Akhondi, E. Taheri-Nassaj, and H. Sarpoolaky H. "Gelcasting of alumina nanopowders based on gelation of sodium alginate", *Ceram. Int*;35(3):1033-7., 2009.
- [9] م. نادری نژاد "بررسی تاثیر شرایط ژل شدن بر نحوه توزیع تخلخل و خواص پریفورم تنگستن کاربایدی در تولید نانوکامپوزیت W-ZrC" ، پایان نامه کارشناسی ارشد، دانشگاه خواجه نصیرالدین طوسی، دی ماه ۹۱.
- [10] D.W. Richerson, "Modern Ceramic Engineering: Properties, Processing and Use in Design", 2nd. ed., NY: Marcel Dekker, inc., pp. 519-564, 1992.
- [11] I. Santacruz, M.I. Nieto, R. Moreno, "Application of Alginate Gelation to Aqueous Tape Casting Technology", *Materials Research Bulletin*, vol. 37pp. 671-682, 2002.
- [12] Y. Huang and J. Yang, "Novel Colloidal Forming of Ceramics", Springer, 2011.
- [13] M.N. Rahaman, "Ceramic Processing and Sintering", 2nd. ed., New York: Marcel Dekker, Inc., 2003.
- [14] U. Paik, "Effect Particle dispersion on microstructure and strength of reaction –bonded Silicon Carbide" *Material Science and Engineering*, PP.267-274, 2002.
- [15] M. Dong, X.Mao, Z. Zhang , Q. liu, "Gel casting of SiC using epoxy resin as gel former" *Ceramics International*, Vol.35, PP. 1363-1366, 2009.
- [16] W. Sabra, A.P. Zeng, W.D. Deckwer, "Bacterial Alginate: Physiology, Product Quality and Process Aspects", *Appl. Microbiol Biotechnol*, vol. 56, pp. 315-325, 2001.
- [17] A. A. Najafzadeh khoe, A. Habibolahzadeh, Fathallah Qods, H. Baharvandi, "Fabrication of tungsten Carbide foam through gel- casting process using nontoxic sodium alginate", *Refractory Materials* 43, pp, 115-120, 2014.
- [18] Z.P. Xie, Y. Huang, Y.L. Chen, "A New Gel Casting of Ceramics by Reaction of Sodium Alginate and Calcium Iodate at Increased Temperatures", *Journal of Materials Science Letters*, vol. 20, pp. 1255-1257, 2001.
- [19] M. D. Valajic, V.D. Krstic, "Strength and machining of gel cast SiC Ceramics ", *Materials Science*, PP.2943-2947, 2002.

تأثیر پلی‌وینیل پیرولیدون (PVP) بر اندازه ذرات و خواص نوری نانوذرات اکسید روی سنتز شده با روش ترمولیز

مریم کریمی^۱، سید محمد میرکاظمی^۱، جعفر جوادپور^{۱*}، یاسر وحیدشاد^۲، محمد رضا جهان‌نما^۲

^۱ دانشگاه علم و صنعت ایران، ^۳ پژوهشکده سامانه‌های حمل و نقل فضایی ایران



دکتر جعفر جوادپور، نویسنده‌ی مسئول مقاله، دانشگاه علم و صنعت ایران

چکیده: نانوذرات اکسید روی (ZnO) با استفاده از روش ساده و تک مرحله‌ای ترمولیز، با حل کردن استات روی به عنوان منبع تامین کننده روی و پلی‌وینیل پیرولیدون به عنوان عامل فعال‌ساز سطحی در اتیلن گلیکول در دمای ۶۰°C تهیه شده است. در این تحقیق تأثیر مقادیر مختلف عامل فعال‌ساز سطحی PVP بر روی ساختار و فاز نهایی نانوذرات حاصل بررسی شد. دمای تجزیه کمپلکس در این سنتزها ۱۵۰°C انتخاب شد. نتایج حاصل نشان می‌دهد ساختار کریستالی ترکیب حاصل ورتیت است و اندازه بلورک‌های این ترکیب با افزایش مقدار PVP تا ۱/۹۷٪ گرم دارای روند کاهشی است و بیشتر از این مقدار افزایش می‌یابد. ترکیب اکسید روی حاصل از سنتز، توسط آنالیزهای پراش اشعه ایکس (XRD) و UV-Vis به ترتیب به منظور مطالعه ویژگی‌های ساختاری، بررسی خواص نوری مشخصه‌یابی می‌شوند. همچنین برای بررسی رفتار حرارتی این ماده و بررسی توزیع اندازه ذرات به ترتیب از دستگاه توزیع حرارتی و آنالیز پراکنش دینامیک نور استفاده شد.

کلمات کلیدی: نانوذرات ZnO، ترمولیز، پلی‌وینیل پیرولیدون.

۱- مقدمه

اکسید روی یکی از مهمترین نیمه رساناهای مورد استفاده در علم و صنعت امروز به شمار می‌رود. از این ترکیب به عنوان رنگدانه در تولید رنگ، مواد بیولوژیک و آنتی باکتریال، کاربردهای سنسوری، سلول‌های خورشیدی و دیودهای نوری استفاده می‌شود [۱]. اکسید روی یک ماده مفید برای ساخت بسیاری از قطعات الکترونیکی است شکاف انرژی مستقیم این ماده در حالت ۳/۳V eV بالک است و تحرک الکترون‌های بالا در حدود ۵۰ cm²/V برخوردار است. ZnO علاوه بر خواص ذکر شده دارای ویژگی‌های دیگری مانند رسانایی الکتریکی بالا ($>10^3 \Omega.cm^{-1}$) همچنین تعداد حامل‌های بار آن در حدود ۱۰۲۱ cm⁻³ است [۲ و ۳].

روش‌های متعددی برای سنتز نانوذرات معرفی شده است. از جمله این روش‌ها می‌توان به روش سل-ژل، سنتز میکروامولسیون، روش مکانوشیمیایی، اسپری پیرولیز، تجزیه حرارتی پیش‌ماده‌های آلی، سنتز هیدروترمال، خودچینشی، سنتز میکروموج [۴]، سنتز پلاسمای RF [۵]، و ترمولیز [۶] اشاره کرد. در سنتز نانوذرات به روش شیمیایی، جذب شیمیایی ترکیبات آلی یا عامل پوشش دهنده سطحی بر روی شکل ذرات تاثیر گذار است. تفاوت در تمایل پیوند عوامل پوششی با یک صفحه نسبت به صفحات دیگر سبب ایجاد تاثیرات چشمگیر بر رشد و مورفوЛОژی ذرات می‌شود [۷]. PVP ماده‌ی پلیمری غیر سمی و غیر یونی است که دارای گروه‌های عاملی C=O، C-N و CH₂ است که به صورت گستره در سنتز نانوذرات مورد استفاده قرار می‌گیرد مولکول PVP حاوی یک بخش آبدوست (پیرولیدون) و یک بخش آب‌گریز (گروه الکلی) است به همین دلیل آب و بسیاری از مایعات غیرآبی حلال مناسبی برای آن به شمار می‌رود [۸].

۲- فعالیت‌های تجربی

برای سنتز نانوذرات ZnO از مخلوطی از استات روی (Zn(O₂CCH₃)₂(H₂O)₂, 99.99%, Merck) به عنوان ماده اولیه تامین کننده روی، اتیلن گلیکول (CH₂OH, 99.99%, Merck) به عنوان حلال و پلی‌وینیل پیرولیدون^۱ (PVP)(C₆H₉NO)_n, 99.99%, Merck) به عنوان عامل فعال ساز سطح استفاده شد. مقدار مواد مورد استفاده در سنتز ۱/۷۵ میلی مول استات روی به همراه مقادیر مختلف PVP (مطابق جدول ۱) در ۲۰ میلی لیتر حلال اتیلن گلیکول در یک فلاکس سه دهانه حل شدند سپس به مدت ۲۰ دقیقه در دمای اتاق هم خورد، با رسیدن به دمای ۶۰°C در این دما به مدت ۱ ساعت هم خورد سپس با اعمال گاز آرگون دما با نرخ گرمایش ۵ درجه بر دقیقه به دمای ۱۵۰°C رسانده شد و در این دما نیز به مدت یک ساعت نگهداری شد برای یکنواخت بودن فرآیند گرمایش از حمام روغن استفاده شد. شیری رنگ شدن مخلوط واکنش بیانگر شروع فرآیند جوانه‌زنی و رشد بود. پس از تکمیل واکنش تا رسیدن به دمای اتاق به محتویات داخل فلاکس زمان داده شد سپس ۲۰ میلی لیتر اتانول اضافه و به مدت ۱۰ دقیقه با سرعت ۵۰۰۰rpm سانتریفیوژ شد محصول سانتریفیوژ دوباره در یک حلال قطبی مانند اتانول پخش شده و عمل شست و شو چند بار انجام گرفت و در دمای ۸۰°C به مدت ۲۴ ساعت خشک شد که پس از آن این ماده سنتز شده آماده مشخصه‌یابی و آنالیز بود. خواص ساختاری نمونه‌های سنتز شده پراش اشعه ایکس از مدل Explorer ساخت شرکت GNR با لامپ آند مس در محدوده ۹۰-۱۵۰° با سرعت روبش ۰/۰۲ درجه در ثانیه استفاده شد. طیف جذب توسط دستگاه اسپکترومتر ماوراء بنفش/مرئی دستگاه PG instruments Ltd مدل T80+ در محدوده ۱۱۰۰-۳۰۰nm اندازه‌گیری شده است. برای طیف-سنجدی تبدیل فوریه مادون قرمز^۲ (FT-IR) نانوذرات ZnO از دستگاه Nicolet 6700 ساخت شرکت Thermo scientific در محدوده طول موج ۴۰۰۰-۵۰۰۰ cm^{-۱} استفاده شده است. همچنین به منظور بررسی آنالیز حرارتی از دستگاه توزیز حرارتی^۳ (TGA) مدل PT-1600 Linseis ساخت شرکت در محدوده دمایی ۵۰-۷۰۰°C اتمسفرهای ۳۰۰-۱۱۰۰nm استفاده شد. برای بررسی توزیع اندازه ذرات نیز از دستگاه Zetasize شرکت MALVERN تکنیکی برای تعیین اندازه ذرات است.

۳- نتایج و بحث

برای بررسی اثر مقادیر مختلف PVP بر سنتز نانوذرات ZnO در شکل ۱ الگوی پراش اشعه ایکس نمونه‌های سنتز شده با مقادیر مختلف از این عامل فعال ساز سطح ارائه شده است. بر اساس این نتایج سه پیک اصلی در موقعیت‌های ۳۱/۷°, ۳۴/۴° و ۳۶/۲° = ۲۰ قرار دارند که با توجه به ساختار مرجع ثبت شده در نرمافزار ارائه دهنده طیف‌های XRD و نیز کارت استاندارد ۱۴۵۱-۳۶ ساختار هگزاگونال ZnO را تایید می‌کند. زوایای ۳۱/۷°, ۳۴/۴° و ۳۶/۲° = ۲۰ به ترتیب توسط صفحات (۱۰۰)، (۰۰۲) و (۱۰۱) در ساختار هگزاگونال برای ترکیب ZnO با ثوابت شبکه $c = ۵/۲۰۶ \text{ \AA}$, $a = ۳/۲۴۹ \text{ \AA}$ و $b = ۵/۲۰۶ \text{ \AA}$ در این تحقیق تاثیر مقادیر مختلف PVP در دمای ۱۵۰°C مورد بررسی قرار گرفت. با توجه به جدول ۱ اندازه نانوذرات ZnO با مقدار ۰/۱۹۴ گرم PVP طبق رابطه شر دارای کوچکترین اندازه بلورک معادل ۱۷ nm است. از طرفی سنتز نانوذرات بدون عامل فعال ساز سطحی بالاترین اندازه بلورک را نشان می‌دهد زیرا PVP یک عامل پوششی است که به دلیل میان‌کنش‌های قوی سطح نانوذرات با این عامل فعال ساز سطحی و جذب انتخابی آن روی صفحات مختلف کریستالوگرافی رشد صفحات در جهت‌های خاص متوقف شده و سبب کاهش قطر نانوذرات ZnO می‌شود [۱۰]. در این سنتز PVP سرعت رشد و اندازه‌ی نانوذرات ZnO را تنظیم کرده است. علاوه بر پهنه‌ای پیک‌ها و در نتیجه اندازه بلورک‌ها نکته دیگری که از الگوی پراش اشعه ایکس قابل درک است شدت پیک (۰۰۲) که تایید کننده این واقعیت است که استفاده از عامل فعال ساز سطحی PVP در نمونه ۰/۱۹۴ گرم PVP رشد برخی از صفحات ZnO در جهت‌های (۱۰۱) و (۱۰۰) کاهش داده و بنابراین پیک (۰۰۲) نسبت به سایر نمونه‌ها رشد داشته است.

^۱ Polyvinylpyrrolidone

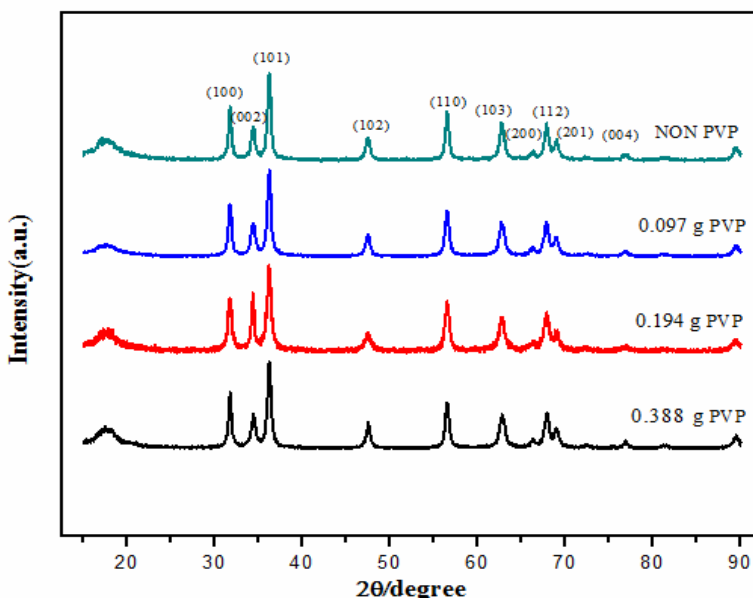
^۲ Fourier Transform Infrared (FT-IR)

^۳ Thermal Gravimetric Analysis

^۴ Dynamic light scattering

جدول ۱- شرایط سنتز نمونه‌های ZnO با مقادیر مختلف PVP

شماره نمونه	استات روی دی‌هیدراته	حال	PVP	دما	مدت زمان گرمایش (h)	اندازه بلورک (nm)
ZO-T1	1/75 mMol	اتیلن گلیکول	-	150 °C	1	24
ZO-T2	1/75 mMol	اتیلن گلیکول	0/097	150 °C	1	19
ZO-T3	1/75 mMol	اتیلن گلیکول	0/194	150 °C	1	17
ZO-T4	1/75 mMol	اتیلن گلیکول	0/388	150 °C	1	20



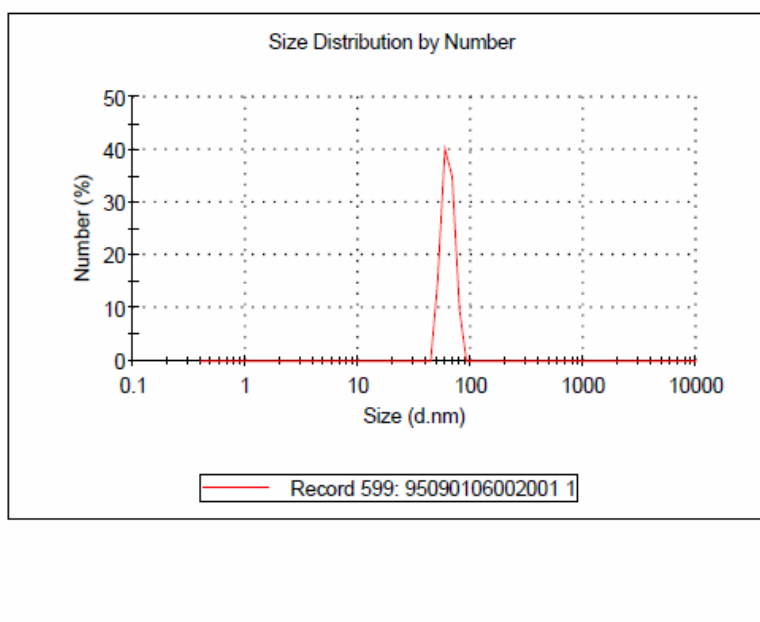
شکل ۱- الگوی پراش اشعه ایکس نمونه‌های سنتز شده ZnO با روش ترمولیز برای بررسی تاثیر مقادیر مختلف PVP

۳-۱- آنالیز پراکنش دینامیک نور نانوذرات ZnO

در شکل ۲ نتایج آزمون DLS برای نانوذرات ZnO با کد نمونه ZO-T4 مشاهده می‌شود. میانگین اندازه ذرات برای نمونه ZnO سنتز شده در دمای ۱۵۰ °C با توجه به نمودار در حدود ۶۰ nm است. با توجه به اندازه ذرات محاسبه شده توسط DLS برای نمونه ZnO، دو احتمال را می‌توان در نظر گرفت ابتدا اینکه نانوذرات به حدی کوچک هستند که با وجود آگلومرۀ شدن در محیط اتانولی دارای ابعاد نانومتری هستند و احتمال دوم ممانتع فضایی مناسبی که در سطح ZnO اعمال می‌کند و سبب دافعه بین نانوذرات ZnO می‌شود از این‌رو مانع آگلومراسیون شده و نانوذرات ZnO دارای اندازه‌های کوچکتری هستند.

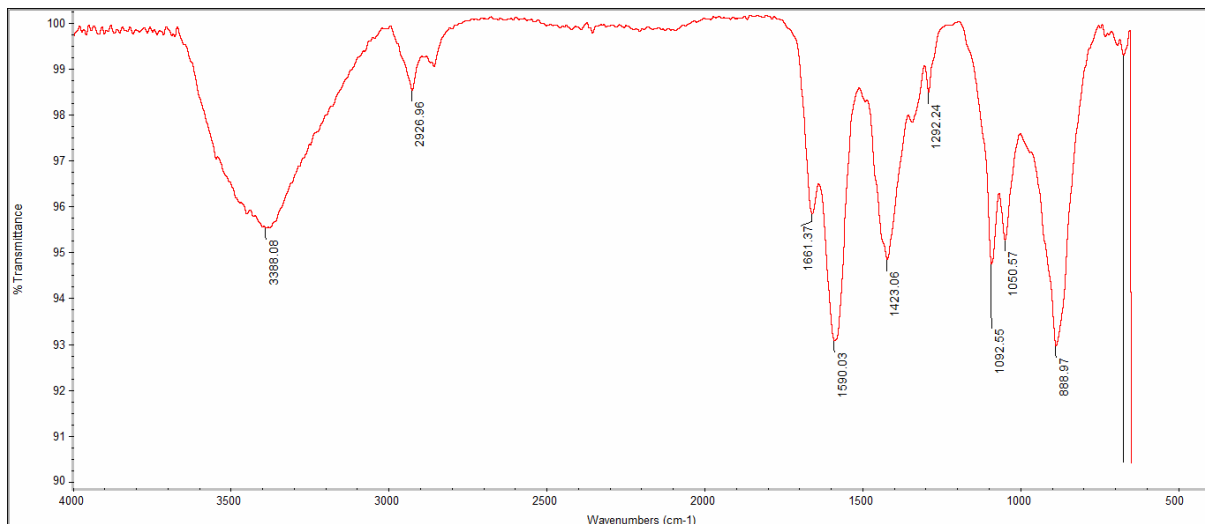
۳-۲- مطالعه طیف‌سنجی مادون قرمز نانوذرات ZnO

در شکل ۳ طیف بدست آمده در دستگاه طیف‌سنجی مادون قرمز تبدیل فوریه برای نانوذرات ZnO با کد نمونه ZO-T4 نشان داده شده است. در این طیف ارتعاشات کششی O-H را در ۳۳۸۸ cm⁻¹ نشان می‌دهد؛ همچنین پیک موجود در ۲۹۲۶ cm⁻¹ کشش غیر متقارن در پیوند C-H را به نمایش می‌گذارد. در طول موج‌های ۱۵۹۰ cm⁻¹ و ۱۴۲۳ cm⁻¹ نیز پیک‌های شاخص در طیف FTIR نانوذرات ZnO مشاهده می‌شود که این پیک‌ها به ترتیب کشش غیرمتقارن در پیوند C=O و خمسم در پیوند C-H₂ را نشان می‌دهند. در جدول ۲ پیک‌های شاخص برای ترکیبات PVP و حلال اتیلن گلیکول آورده شده است با مقایسه این مقادیر با طول موج‌های موجود در طیف FTIR گروه‌های عاملی اتصال یافته روی سطح ZnO مشخص می‌شود.



Size d.nm	Number %	Size d.nm	Number %
0.4000	0.0	68.06	34.8
0.4632	0.0	78.82	9.8
0.5365	0.0	91.28	0.0
0.6213	0.0	105.7	0.0
0.7195	0.0	122.4	0.0
0.8332	0.0	141.8	0.0
0.9049	0.0	164.2	0.0
1.117	0.0	190.1	0.0
1.204	0.0	220.2	0.0
1.499	0.0	255.0	0.0
1.736	0.0	295.3	0.0
2.010	0.0	342.0	0.0
2.328	0.0	396.1	0.0
2.696	0.0	458.7	0.0
3.122	0.0	531.2	0.0
3.615	0.0	615.1	0.0
4.187	0.0	712.4	0.0
4.849	0.0	825.0	0.0
5.615	0.0	955.4	0.0
6.503	0.0	1106	0.0
7.531	0.0	1281	0.0
8.721	0.0	1484	0.0
10.10	0.0	1718	0.0
11.70	0.0	1990	0.0
13.54	0.0	2305	0.0
15.69	0.0	2669	0.0
18.17	0.0	3091	0.0
21.04	0.0	3580	0.0
24.36	0.0	4145	0.0
28.21	0.0	4801	0.0
32.67	0.0	5580	0.0
37.84	0.0	6439	0.0
43.82	0.0	7456	0.0
50.75	15.2	8635	0.0
58.77	40.2	1.000e4	0.0

شکل ۲- نمودار و داده‌های آزمون DLS نانوذرات ZnO



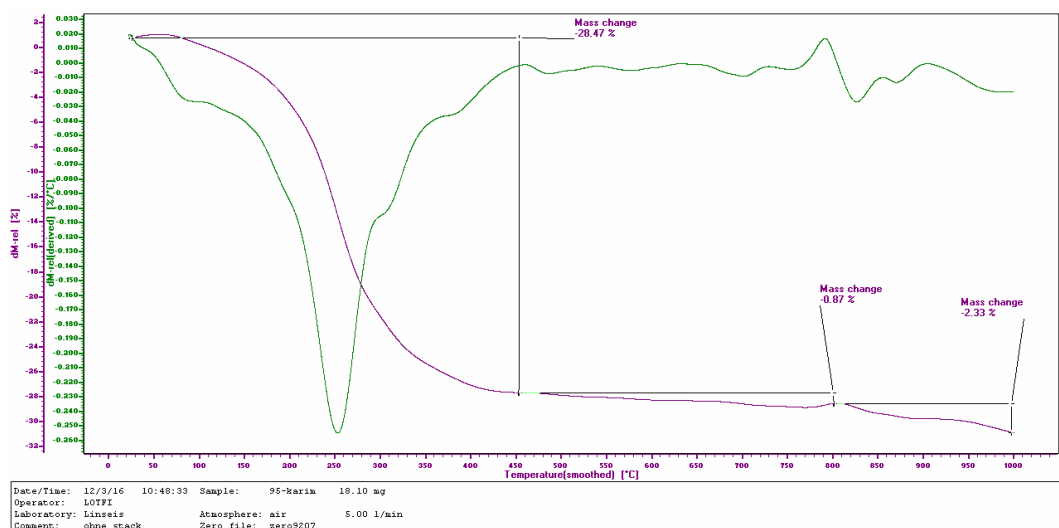
شکل ۳- موقعیت طیف FT-IR مواد خالص، کمپلکس و پودر نهایی ZnO سنتز شده با روش ترمولیز

جدول ۲- موقعیت طیف FT-IR مواد خالص، کمپلکس و پودر نهایی ZnO سنتز شده با روش ترمولیز

EG(cm ⁻¹)	۳۲۹۹	۲۹۳۶	۲۸۷۳	۱۴۱۲	۱۲۰۴	۱۰۸۳	۱۰۳۲	۸۸۱	۸۶۱
PVP(cm ⁻¹)	۳۴۴۱	۲۹۴۸	۱۶۵۰	۱۴۹۲	۱۴۶۰	۱۴۲۱	۱۳۱۶	۱۲۸۴	-
نانوذرات(cm ⁻¹)	۳۳۸۸	۲۹۲۶	۱۶۶۱	۱۰۹۰	۱۴۲۳	۱۲۹۲	۱۰۹۲	۱۰۵۰	۸۸۸
	PVP	EG	PVP&EG	PVP	PVP	EG	EG	EG	EG

۳-۳- بررسی رفتار حرارتی نانوذرات ZnO

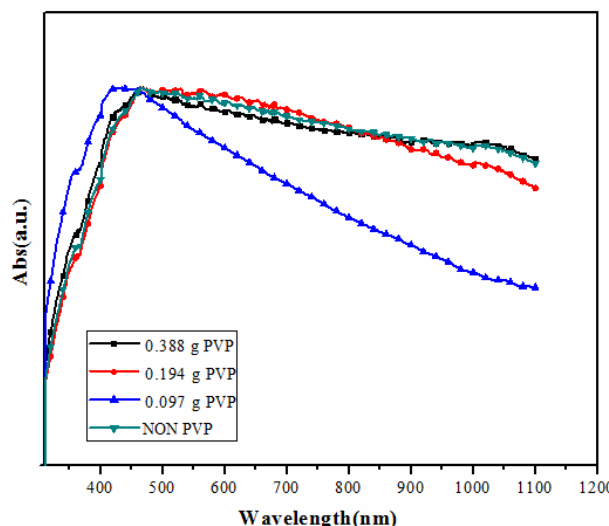
با توجه به شکل ۴ رفتار نمونه ZnO بهینه تحت گرمایش از محدوده $35-1000^{\circ}\text{C}$ مورد بررسی قرار گرفت. از ابتدای گرمایش تا دمای حدود 450°C نمونه دارای تغییرات وزن شدید است به گونه‌ای که در این بازه دمایی 28% از حجم خود را از دست می‌دهد این کاهش شدید ناشی از دو مرحله خروج آب‌های ساختاری و خروج عامل فعال ساز سطحی PVP است که با توجه به نمودار روند کاهش وزن به صورت تک مرحله‌ای رخ داده است. پس سوختن مواد آلی بر جای مانده از مرحله سنتز نمودار به حالت تقریباً افقی در آمده و با تغییرات وزن کوچکی همراه است که نشان می‌دهد در بالای دمای 450°C انفاقی خاصی رخ نمی‌دهد [۱۱].



شکل ۴- منحنی گرماسنجی نمونه سنتز شده ZnO

۴-۳- بررسی خواص نوری نانوذرات ZnO

پیک جذب نانوذرات ZnO در شکل ۵ برای مقادیر مختلف PVP نشان داده شده است تمامی نمونه‌های ZnO مورد آزمون در حال اتیلن گلیکول پراکنده شده اند. در بررسی انجام شده برای مقادیر مختلف PVP نشان می‌دهد که اغلب نمونه‌ها به استثنای نمونه ZO-T2 طیف جذب یکسانی داشته اند و بیشینه جذب آنها حدود 460 nm را نشان می‌دهد اما طیف جذب نمونه مذکور بیشینه جذب 430 nm را از خود نشان داده است از طرفی جذب این نمونه در طول موج‌های بالاتر به طور چشمگیری کمتر از سایر نمونه‌ها است.



شکل ۵- طیف جذب UV-Vis نمونه‌های ZnO سنتز شده در مقادیر مختلف PVP

۴- نتیجه‌گیری

با توجه به نتایج حاصل از سنتز نانوذرات ZnO در حلال اتیلن‌گلیکول، حد بهینه‌ای از سورفکتات موجب بهترین نتایج در فرآیند سنتز شد به طوری که کمترین اندازه ذرات در نمونه‌ای با مقدار ۰/۱۹۷ g PVP مشاهده شد و نشان‌دهنده این واقعیت است که از طرفی طیفسنجی مادون قرمز وجود عوامل پوششی PVP بر روی نانوذرات ZnO را پس از سنتز تایید می‌کند. در بررسی DLS خواص نوری بیشینه جذب نمونه‌های مختلف در محدوده ۴۶۰ nm مشاهده می‌شود. بررسی توزیع اندازه ذرات به روش نشان داد اکثربیت ذرات اندازه‌ای بین ۵۸–۶۸ نانومتر را دارا هستند.

مراجع

- [1] C. F. Klingshirn, A. Waag, A. Hoffmann, and J. Geurts, Zinc oxide: from fundamental properties towards novel applications, Vol. 120. Springer Science & Business Media, 2010.
- [2] J. N. Duenow, T. A. Gessert, D. M. Wood, T. M. Barnes, M. Young, B. To, and T. J. Coutts, "Transparent conducting zinc oxide thin films doped with aluminum and molybdenum," *J. Vac. Sci. Technol. A Vacuum, Surfaces, Film.*, Vol. 25, No. 4, pp. 955–960, 2007.
- [3] N. M. Muhammad, A. M. Naeem, N. Duraisamy, D.-S. Kim, and K.-H. Choi, "Fabrication of high quality zinc-oxide layers through electrohydrodynamic atomization," *Thin Solid Films*, Vol. 520, No. 6, pp. 1751–1756, 2012.
- [4] R. Hong, T. Pan, J. Qian, and H. Li, "Synthesis and surface modification of ZnO nanoparticles," *Chem. Eng. J.*, Vol. 119, No. 2, pp. 71–81, 2006.
- [5] J. Bin Lee, H. J. Kim, S. G. Kim, C. S. Hwang, S. H. Hong, Y. H. Shin, and N. H. Lee, "Deposition of ZnO thin films by magnetron sputtering for a film bulk acoustic resonator," *Thin Solid Films*, Vol. 435, No. 1, pp. 179–185, 2003.
- [6] X. Gao, X. Li, and W. Yu, "Flowerlike ZnO nanostructures via hexamethylenetetramine-assisted thermolysis of zinc- ethylenediamine complex," *J. Phys. Chem. B*, Vol. 109, No. 3, pp. 1155–1161, 2005.
- [7] S. Kumar and T. Nann, "Shape control of II-VI semiconductor nanomaterials," *Small*, Vol. 2, No. 3, pp. 316–329, 2006.
- [8] K. M. Koczkur, S. Mourdikoudis, L. Polavarapu, and S. E. Skrabalak, "Polyvinylpyrrolidone (PVP) in nanoparticle synthesis," *Dalt. Trans.*, Vol. 44, No. 41, pp. 17883–17905, 2015.
- [۹] صولتی، المیرا، درانیان، داوود، "بررسی خواص فوتولومینسانس و اکسیتونی نانو ذرات اکسید روی"، بیست و یکمین کنفرانس اپتیک و فوتونیک ایران، تهران، ۱۳۹۳.
- [10] M. Eskandari, V. Ahmadi, and S. H. Ahmadi, "Low temperature synthesis of ZnO nanorods by using PVP and their characterization," *Phys. B Condens. Matter*, Vol. 404, No. 14, pp. 1924–1928, 2009.
- [11] S. Maensiri, P. Laokul, and V. Promarak, "Synthesis and optical properties of nanocrystalline ZnO powders by a simple method using zinc acetate dihydrate and poly (vinyl pyrrolidone)," *J. Cryst. Growth*, Vol. 289, No. 1, pp. 102–106, 2006.

اثر pH محیط سنتز بر روی اندازه نانو بلورک‌ها و تغییر فاز زیرکونیا تهیه شده به روش سل-ژل

لیلا کرم زاده^{۱*}، ایمان مباشرپور^۱، محمد صادق عبدی مقصودلو^۲، ابراهیم جباری^۱

^۱ پژوهشکده سرامیک، پژوهشگاه مواد و انرژی، کرج، ایران

^۲ گروه مواد، دانشکده فنی و مهندسی، دانشگاه ملایر، ایران



مهندس لیلا کرم زاده،
نویسنده اول مقاله، پژوهشگاه
مواد و انرژی، پژوهشکده
سرامیک

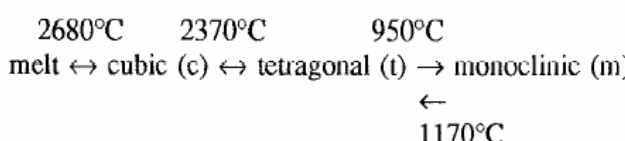
چکیده: دمای ذوب بالا، ضریب انبساط حرارتی بالا، هدایت حرارتی پایین و مقاومت سایشی خوب، زیرکونیا را به عنوان یک گرینه مناسب برای کاربردهای صنعت سرامیک مطرح ساخته است. در این پژوهش تأثیر pH محیط سنتز بر روی نوع فاز و اندازه ذرات زیرکونیا سنتز شده بررسی شده است. به منظور بررسی و مطالعه تغییرات ساختاری پودر زیرکونیا سنتز شده از روش‌های پراش اشعه ایکس (XRD) و طیف سنجی مادون قرمز (FTIR) استفاده گردید. با استفاده از میکروسکوپ الکترونی روبشی (TEM) نیز اندازه دانه‌ها و مورfolوژی آنها تخمین زده شد. نتایج نشان دهنده آن بود که اندازه بلورک‌های فاز تتراترونال و مونوکلینیک به ترتیب برابر با ۲۸ و ۶۸ نانومتر با روش سنتز در محیط اسیدی و در محیط بازی اندازه بلورک‌ها به ترتیب ۹۲ و ۲۲ نانومتر برای فازهای تتراترونال و مونوکلینیک به دست آمد. با توجه به نتایج در محیط بازی اندازه بلورک‌های فاز تتراترونال افزایش یافته ولی درصد کسر حجمی فاز تتراترونال کاهش یافته است در حالی که در محیط اسیدی درصد کسر حجمی فاز تتراترونال به دست آمده نسبت به محیط بازی بیشتر بوده ولی از اندازه بلورک کوچکتری برخوردار است.

کلمات کلیدی: زیرکونیا، تتراترونال، مونوکلینیک، سل-ژل.

۱- مقدمه

زیرکونیا یک ماده سخت، مستحکم و از لحاظ شیمیایی بی اثر است. نقطه ذوب آن بالا و ضریب اصطلاحک و حرارتی ویژه آن پایین است. زیرکونیا در زمینه‌های مختلف علوم و تکنولوژی کاربرد دارد. زیرکونیا یک عایق حرارتی عالی است و از لحاظ زیستی هم ماده‌ای سازگار می‌باشد [۱]. زیرکونیا دارای ترکیبی از ویژگی‌ها از جمله سختی بالا، قدرت بالا، نقطه ذوب بالا و سازگاری زیستی بالا می‌باشد [۱].

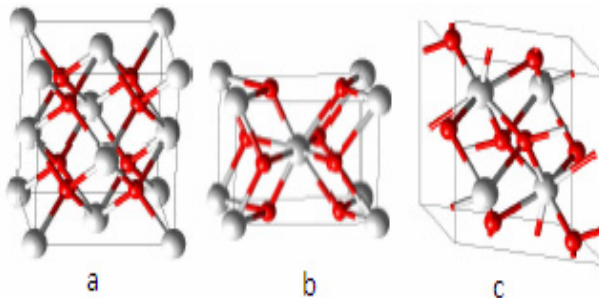
زیرکونیا در فشار محیط دارای پلیمرهای زیر می‌باشد:



استحاله $t \rightarrow m$ یک استحاله مارتزیتی است که با افزایش حجم ۳٪ در دمای ۹۵۰ سانتیگراد و ۴/۹٪ در دمای محیط همراه می‌باشد. این تغییرات حجمی می‌تواند منجر به ایجاد میکروترکهایی در حین سرد شدن شده و باعث تضعیف تخریب خواص مکانیکی ماده گردد. در شکل (۱) ساختارهای کریستالی زیرکونیا نشان داده می‌شود [۱].

ساختار منوکلینیک (m) از دمای اتفاق تا دمای ۱۱۷۰ سانتیگراد پایدار می‌باشد و در این نقطه به فاز تتراترونال (t) تبدیل می‌شود. فاز تتراترونال تا دمای ۲۳۷۰ سانتیگراد پایدار مانده و بعد از آن به فاز مکعبی (c) تبدیل می‌گردد. در یک ماده خالص، فاز مکعبی فقط در بالای دمای ۲۳۷۰ سانتیگراد پایدار بوده و در محصولات زیتر شده در دمایان پایین‌تر، این فاز تشکیل نمی‌گردد. زیرکونیایی زیتر شده در بالای دمای ۱۱۷۰ سانتیگراد، در طول سرد کردن ناگهانی، به دلیل تغییرات چگالی در اثر استحاله تتراترونال به منوکلینیک رخ می‌دهد متلاشی می‌شود. در کاربردهایی که دما در آنها

به بالای ۱۰۰۰ سانتیگراد می‌رسد با اینستی زیرکونیا پایدار شود تا از تبدیل آن به فازهای دیگر که معمولاً مخرب نیز می‌باشد جلوگیری بعمل آید. با کاهش دما تا زیر دمای محیط می‌توان از ایجاد این استحاله جلوگیری کرد. این عمل یا با کاهش اندازه دانه فاز تتراترونال (تا زیر $1\mu\text{m}$) انجام شده که در اثر کاهش اندازه دانه، حجم ماده و بنابراین انرژی آزاد شیمیایی، که نیروی حرکت استحاله می‌باشد، کاهش یابد و یا به وسیله استفاده از اکسیدهای پایدار کننده‌ای مناسب مثل ایتریا انجام گردد. اگر کریستال‌های تتراترونال بدون اینکه دچار استحاله گردد در ساختار باقی بماند، استحکام‌یابی و چرمه سازی قابل توجهی در هنگام استحاله کریستال‌های تتراترونال به منوکلینیک در طی بارگذاری رخ خواهد داد. در دمای اتفاق این ذرات ریز زیرکونیای تتراترونال نیمه پایدار می‌باشد که بدین معنی است که فاز تتراترونال از دیدگاه ترمودینامیکی ناپایدار اما از دیدگاه سینتیکی پایدار می‌باشد. اگرچه بر سر این مطلب که استحاله فازی پدیده‌ای است که توسط جوانهزنی کنترل می‌شود، توافق وجود دارد، اما در مورد مکانیزم جوانهزنی توافقی وجود ندارد [۱ و ۲].



شکل ۱- ساختارهای کریستالی زیرکونیا (a) منوکلینیک (b) تتراترونال (c) مکعبی.
دایره‌های سیاه اتم زیرکونیا و دایره‌های سفید اتم اکسیژن می‌باشند [۱].

برای سنتز زیرکونیا روش‌های زیادی وجود دارد. برای مثال آسیاب مکانیکی، روش‌های شیمیایی، هیدروترمال، سنتز شیمیایی بخار، رسوب دهی از محلول‌های نمکی آلی، تراکم گازهای خنثی و سل-ژل از جمله این روش‌ها هستند [۳-۶]. از بین این روش‌ها، فرآیند سل-ژل به دلیل قیمت مناسب‌تر، راحتی کنترل پارامترهای سنتز و ترکیب شیمیایی برای سنتز نانوپودرهای کامپوزیتی، بسیار مورد توجه قرار گرفته است.

در این روش سنتز، pH محیط یکی از پارامترهای موثر بر تشکیل کمپلکس‌ها بوده که در نهایت بر روی اندازه ذرات و بلورک‌ها تاثیر خواهد گذاشت. در فرآیند سل-ژل واکنش دو ماده آب و آلکوکسید بسیار کند است و با افزودن الکل، محلول رقیق‌تر هم می‌شود، در نتیجه سرعت واکنش باز هم کاهش می‌یابد. برای افزایش سرعت واکنش، می‌توان از کاتالیزور استفاده کرد. کاتالیزوری را که برای تسريع واکنش مورد استفاده قرار می‌دهیم باید به گونه‌ای باشد که بعد از انجام واکنش بتوان آن را به راحتی از محیط خارج کرد. به عنوان مثال در گزارش محققان، هم از اسیدها و هم از بازها به عنوان کاتالیزور در آماده سازی ذرات سیلیس استفاده شده است که هر کدام مزایا و معایب خود را دارند. در محیطی با خاصیت بازی، ذرات تا اندازه ۱۰۰ تا ۲۰۰ نانومتر به سرعت رشد می‌کنند. در این حالت، نیروهای دافعه باعث می‌شود که ذرات جدا از هم باقی بمانند. در محیط اسیدی، ذرات در اندازه ۲ تا ۴ نانومتر متوقف می‌شوند، ولی در ادامه فرآیند، به سرعت به هم می‌پیوندند و ذرات بزرگ‌تر را تشکیل می‌دهند. از معایب دیگر این کاتالیزورها این است که باعث به وجود آمدن محصولات جانبی می‌شوند و دیگر نمی‌توان محصول را با همان پیوندهای شیمیایی مورد نظر تهیه کرد [۷ و ۸].

هدف اصلی این تحقیق نیز تلاش برای سنتز زیرکونیای تتراترونال پایدار با بلورک‌های نانومتری با استفاده از فرآیند سل-ژل در دمای پایین با تغییر pH محیط و بررسی تاثیر این تغییر بر روی اندازه‌های نانو بلورک‌های زیرکونیا تتراترونال و میزان فاز به دست آمده بوده است.

۲- فعالیت‌های تجربی

۲-۱- سنتز زیرکونیا در محیط اسیدی

نمک اکسی دی کلرید زیرکونیم هشت آبه (Merck No.8917) با فرمول $\text{ZrOCl}_2 \cdot 8\text{H}_2\text{O}$ را در مقدار مشخصی اسید اگزالیک

(COOH)₂.2H₂O) به نسبت ۱:۷ حل کرده و در هم می‌آمیزیم. به منظور افزایش سرعت ژل شدن و رسیدن به مروفولوژی مناسب پلی وینیل الکل را نیز در سوسپانسیون فوق افزوده، محلول را بر روی همزن مغناطیسی و با دور مشخص (۸۰۰ rpm) همگن و یکنواخت می‌کنیم نتیجه یک محلول شفاف و یکدست خواهد بود که با ادامه همزدن یکنواخت، محلول ویسکوز و کدر خواهد شد. در ادامه محصول را تحت حرارت ۵۰ درجه سانتیگراد در آون به مدت ۲۴ ساعت خشک می‌کنیم. در نهایت در دمای ۱۰۰۰ درجه سانتیگراد به مدت ۳۰ دقیقه کلسینه می‌کنیم. در این آزمایش pH محلول در حدود ۱ الی ۲ باقی می‌ماند.

۲-۲- سنتز زیرکونیا در محیط بازی

نمک اکسی دی کلرید زیرکونیم هشت آبه (Merck No.8917) با فرمول ZrOCl₂.8H₂O یک مولار بدهست را به آمونیاک ۲۵ درصد به وسیله یک ارتعاشگر مغناطیسی با دور مشخص (۸۰۰ rpm) به مدت یک ساعت در دمای اتاق مخلوط می‌کنیم. سپس رسوب به دست آمده با استفاده از یک کاغذ صافی فیلتر می‌شود. pH محلول را در محدوده ۹-۱۰ کنترل می‌کنیم. سپس سوسپانسیون بدست آمده به مدت یک ساعت جهت حذف آلگومرهای احتمالی موجود، تحت امواج فرآصوت در دستگاه آلتراسونیک قرار داده سپس در دمای ۵۰ درجه سانتیگراد و به مدت ۲۴ ساعت خشک می‌شود و سپس در دمای ۱۰۰۰ درجه سانتیگراد و به مدت ۳۰ دقیقه کلسینه می‌شود.

۳-۲- مشخصه‌یابی و آنالیز

برای تعیین فازهای به دست آمده بعد از حرارت دیدن نمونه‌ها و مطالعه ساختار آنها از روش‌های پراش پرتو ایکس (XRD) استفاده گردید. الگوهای پراش پرتو ایکس با دستگاه پراش پرتو ایکس Siemens تحت ولتاژ ۳۰ kV و جریان ۲۵ mA صورت گرفت. در تمام آزمایش‌ها از اشعه ایکس Cu K α با طول موج ۱/۵۴۰۴ Å استفاده شد. زمان اقامت در هر گام یک ثانیه، اندازه ۰/۰۲ درجه و محدوده روبش بین ۲۰ تا ۷۰ درجه انتخاب گردید. جهت تعیین نوع فازها و بررسی پیک‌های شناسایی شده، از نرم‌افزار X'Pert High Score Plus اندازه متوسط دانه‌ها با استفاده از فرمول Scherrer بر مبنای رابطه (۱) گردید[۹]:

$$d = \frac{0.9\lambda}{B \cos \theta} \quad (1)$$

که در آن، B عرض پیک در نصف ارتفاع (برحسب رادیان)، λ طول موج اشعه مورد استفاده برحسب nm، θ زاویه تفرق بلندترین پیک برحسب رادیان و d قطر متوسط دانه‌ها برحسب nm می‌باشد. این رابطه هنگامی قابل استفاده است که اندازه دانه‌های کریستالی کمتر از ۱۰۰۰ Å باشد. اندازه دانه‌های محاسبه شده با کمک رابطه شر تخمینی بوده و با اعمال نسبت‌های تصحیح مربوط می‌توان دقت این روش را بهبود بخشید. برای تعیین اندازه دانه‌ها از پیک‌های مربوط به صفحاتی که دارای ماکزیمم شدت هستند، به دلیل وجود و تفکیک مناسب آنها از سایر پیک‌ها استفاده گردید.

کسر حجمی فازها زیرکونیا نیز با استفاده از الگوی پراش اشعه ایکس و به کمک رابطه (۲) موسوم به رابطه Garvie Nicholson (G-N) محاسبه می‌شود[۱۰].

$$X_m = \frac{Im(111) + Im(\bar{1}\bar{1}1)}{Im(111) + Im(\bar{1}\bar{1}1) + It(101)} \quad (2)$$

که در آن X_m درصد فاز مونوکلینیک، I_m شدت پیک صفحات کریستالی فاز مونوکلینیک، و I_t شدت پیک صفحه کریستالی فاز تتراؤگونال می‌باشد.

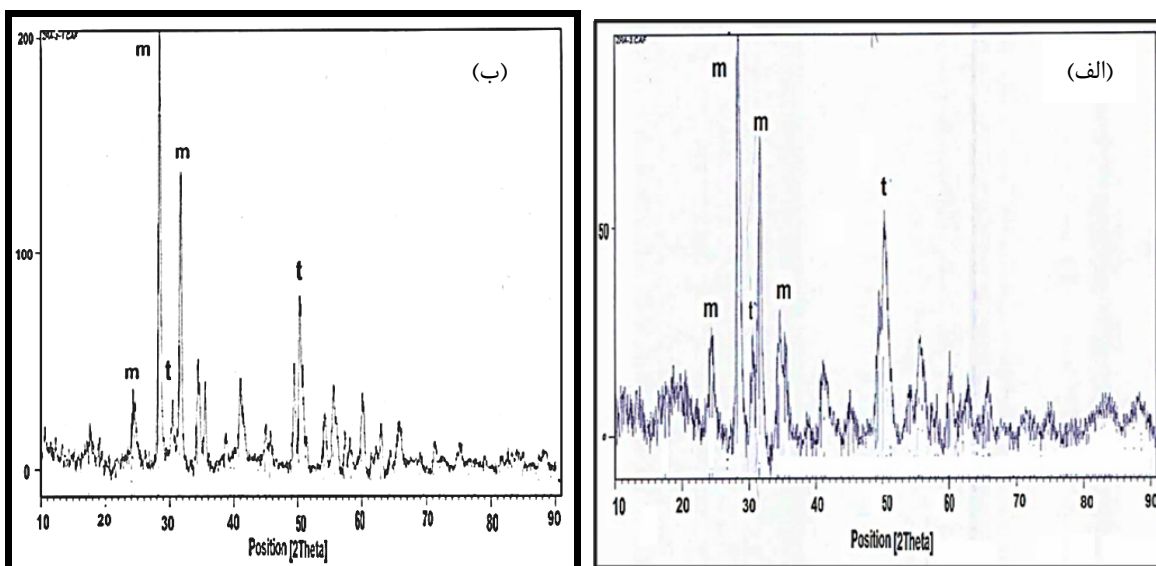
برای تعیین بنیان شیمیایی پودرهای زیرکونیا به دست آمده در محیط اسیدی و بازی از طیف سنجی فرو سرخ استفاده شد. برای مطالعات طیف سنجی فرو سرخ از دستگاه FT-IR مدل Bruker IFS 48 ساخت آلمان در محدوده عدد موج ۵۰۰۰-۴۰۰۰ cm⁻¹ در حالت عبوری استفاده شد.

برای بررسی اندازه و مروفولوژی ذرات زیرکونیا تهیه شده، پس از عملیات حرارتی و همچنین بررسی مروفولوژی و اندازه ذرات در محیط‌های سنتر متفاوت از دستگاه میکروسکوپ الکترونی عبوری Philips استفاده شد.

جهت نمونه سازی در میکروسکوپ الکترونی عبوری، نمونه‌های پودر به صورت سوسپانسیون تهیه شد. این سوسپانسیون بر روی یک سری فیلم کربنی ریخته و مجموعه بر روی یک شبکه فلزی از جنس مس قرار گرفت. با استفاده از تصاویر حاصل، اندازه متوسط ذرات پودر تعیین و تغییرات آن بررسی شد.

۳- نتایج و بحث

در شکل ۲ الگوی پراش اشعه ایکس زیرکونیا سنتز شده در دو محیط اسیدی (شکل ۲ الف) و بازی (شکل ۲ ب) مشاهده می‌شود. با توجه به این دو الگو مشاهده می‌شود که در هر دوروش سنتز زیرکونیا به دست آمده شامل فازهای مونوکلینیک و تتراترگونال است. با کمک روش Garvie Nicholson میزان فازهای بازی به دست آمده در هر روش تعیین شد که به ترتیب مطابق با جدول ۱ برای روش اسیدی ۵۴ درصد تتراترگونال و برای روش بازی ۳۳ درصد کسر حجمی فاز تتراترگونال بوده است. همچنین با استفاده از روش شرر و با استفاده از پیک اصلی فازهای تتراترگونال و مونوکلینیک اندازه بلورک‌های این دو فاز در هر کدام از روش‌های سنتز اسیدی و بازی تعیین گردید. نتایج نشان دهنده آن بود که اندازه بلورک‌های فاز تتراترگونال و مونوکلینیک به ترتیب برابر با ۲۸ و ۶۸ نانومتر با روش سنتز در محیط اسیدی است. در محیط بازی اندازه بلورک‌ها به ترتیب ۹۲ و ۳۲ نانومتر برای فازهای تتراترگونال و مونوکلینیک به دست آمد. با توجه به نتایج می‌توان گفت در محیط اسیدی درصد کسر حجمی فاز تتراترگونال به دست آمده نسبت به محیط بازی بیشتر بوده ولی از اندازه بلورک کوچکتری برخوردار است. در محیط بازی اندازه بلورک‌های فاز تتراترگونال افزایش یافته ولی درصد کسر حجمی فاز تتراترگونال کاهش یافته است.



شکل ۲- الگوی پراش اشعه ایکس زیرکونیا سنتز شده در دو محیط اسیدی (الف) و بازی (ب) (m: فاز مونوکلینیک و t: فاز تتراترگونال)

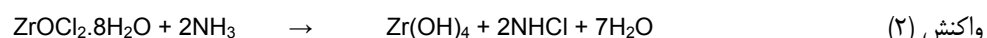
جدول ۱- مقایسه کسر حجمی فاز تتراترگونال و اندازه دانه‌های فازهای تتراترگونال و مونوکلینیک زیرکونیا به دست آمده در محیط اسیدی و بازی

محیط واکنش	اندازه دانه فاز تتراترگونال nm	اندازه دانه فاز منوکلینیک nm	کسر حجمی فاز تتراترگونال (%)
اسیدی	54	68	28
بازی	33	32	92

سنتز در محیط اسیدی بر اساس واکنش (۱) اتفاق می‌افتد. در محیط‌های اسیدی واکنش‌های هیدرولیز و متراکم شدن یک جا اتفاق می‌افتد، پس از آن گروه‌های هیدراته با یکدیگر اتصال پیدا کرده که در اثر این فرآیند یک توده ژل مانند تشکیل می‌شود. خواص ژل نیز وابسته به نسبت مولی آب و الکسید، دما، نوع حلالیت و ماهیت کاتالیزور است.

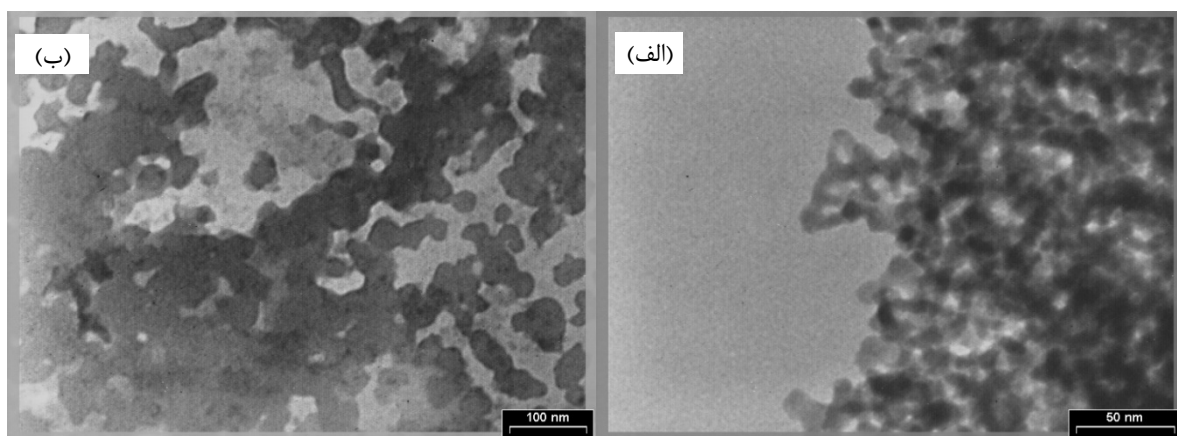


ستنتز در محیط بازی مطابق با واکنش ۲ صورت می‌گیرد. در محیط بازی واکنش هیدرولیز بسیار سریع‌تر از واکنش متراکم شدن اتفاق می‌افتد. تهیه هیدروکسید زیرکونیا^۴ $\text{Zr}(\text{OH})_4$ شامل هیدرولیز پیش سازه‌های زیرکونیایی در آب تحت شرایط قلیایی می‌باشد. در نتیجه در محیط قلیایی حصول محصول رسوی غیر قابل کنترل است. برای کنترل بر شرایط رسوی می‌توان از الکل به جای آب به عنوان محلول استفاده کرده و یا ذرات را در اندازه کوچک و به صورت همگن در محلول پخش نمود، به نحوی که حرکت براونی، سلکلوبیدی را به صورت سوسپانسیون نگه دارد و از ته نشین شدن آن جلوگیری کند.



در ستنتز به روش سل-ژل شرایط پایداری فاز تتراترونال، بیشتر خواهد بود. از آنجایی که انرژی آزاد فاز منوکلینیک در حالت بالک پایین‌تر از تتراترونال و برعکس انرژی آزاد سطحی ذرات نانو فاز تتراترونال پایین‌تر از منوکلینیک است، لذا زمانی که اندازه این ذرات در یک دمای معین از یک حد بحرانی کوچک‌تر باشد، فاز تتراترونال پایدار خواهد بود [۳]. فاکتورهایی مانند تنفسهای موجود در مرز حوزه‌های مغناطیسی، نطفه‌های جوانه‌زنی، جای خالی‌های آئیونی، و کاتیون‌های جذب شده به پایداری فاز تتراترونال کمک می‌کنند [۴ و ۵]. حضور گروه‌های هیدروکسیل OH و لیگاند‌هایی نظیر سولفات، فسفات و کربوکسیل (COOH) عامل پایدارکننده فاز تتراترونال هستند.

چهت بررسی نتایج به دست آمده در مورد اندازه بلورکها توسط آنالیز XRD و مشاهده دانه‌ها، پودر زیرکونیا ستنتز شده پس از خشک شدن و بعد از کلسینه کردن در دمای ۱۰۰۰°C در دو محیط ستنتزی بازی و اسیدی توسط میکروسکوپ الکترونی عبوری مورد بررسی قرار گرفت. نتایج این بررسی در شکل‌های ۳ الف و ب نشان داده شده است. با توجه به تصاویر به دست آمده و تخمین اندازه بلورک‌ها از روی تصاویر می‌توان گفت نتایج به دست آمده از مشاهده دانه‌ها در زیر میکروسکوپ الکترونی عبوری با نتایج محاسبه اندازه دانه‌ها به وسیله رابطه شر تقریباً همخوانی داشته و با هم مطابقت می‌کنند.

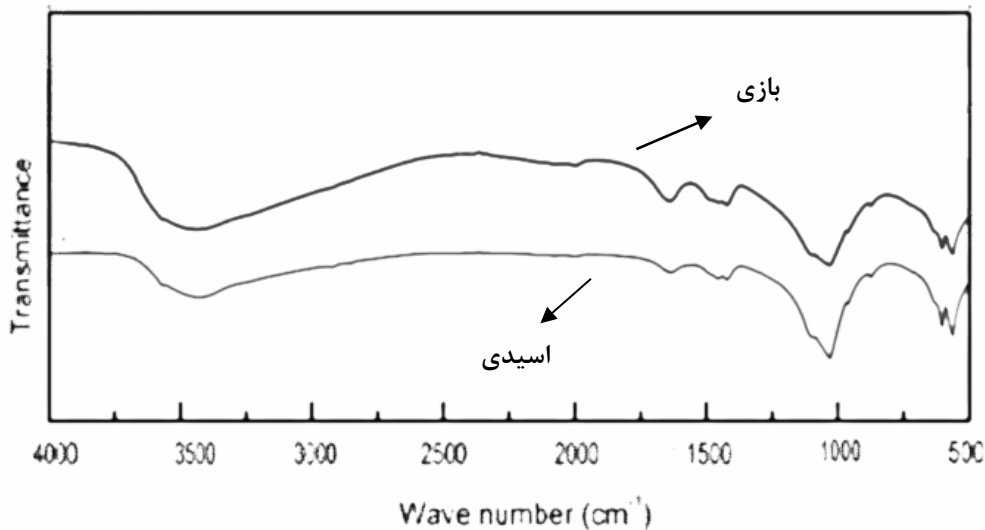


شکل ۳- تصویر میکروسکوپ الکترونی عبوری از پودر زیرکونیا ستنتز شده در دو محیط اسیدی (الف) و بازی (ب)

همانطور که در شکل ۳ الف مشخص است در محیط اسیدی ذرات پودر زیرکونیا به دست آمده ریزتر و درهم تنیده و به صورت آگلومره هستند در حالی که در مورد ذرات زیرکونیا ستنتز شده در محیط بازی شکل ۳ ب ذرات زیرکونیا به دست آمده درشت‌تر بوده در حالی که پدیده آگلومره شدن همچنان در این پودر به دلیل ریز بودن ذرات مشاهده می‌شود.

بررسی اتصال پیوندی نانوپودرهای زیرکونیایی به دست آمده در هر دو محیط اسیدی و بازی به وسیله آنالیز FT-IR مورد مطالعه قرار گرفته و نتایج آن در شکل ۴ نشان داده شده است. مشاهده می‌شود که رفتار الگوی طیف سنتجی مادون قرمز پودر زیرکونیا ستنتز شده در هر دو محیط اسیدی و بازی یکسان بوده و تقریباً بر هم منطبق‌اند. پیک موجود در طول موج 670 cm^{-1} بیانگر ارتعاشات کششی پیوندهای Zr-O می‌باشد. پیک‌های متعلق به فاز زیرکونیایی تتراترونال عموماً در عدد موج‌های 576 cm^{-1} و 667 cm^{-1} مشاهده می‌شوند [۱۱ و ۱۲]. پیک موجود در محدوده 3500 cm^{-1} مربوط به رطوبت هوای جذب شده و یا گروه‌های

هیدروکسیل جذب شده بر روی سطح است. پیک‌های ضعیف موجود در محدوده $1100\text{--}1390\text{--}1620\text{ cm}^{-1}$ مربوط به گروه‌های کربنات و کربونیل است که می‌تواند از طریق جذب سطحی گازهای مونو اکسید کربن و دی اکسید کربن بر روی زیرکونیا سنتز شده به وجود آمده باشد [11 و 12].



شکل ۴- طیف سنجی مادون قرمز زیرکونیا سنتز شده در دو محیط اسیدی (الف) و بازی (ب)

۴- نتیجه‌گیری

با توجه به نتایج مشاهده می‌شود که که در هر دوروش سنتز زیرکونیا در محیط اسیدی و بازی زیرکونیا به دست آمده شامل فازهای مونوکلینیک و تتراگونال است. میزان فازهای به دست آمده در روش اسیدی ۵۴ درصد تتراگونال و برای روش بازی ۳۳ درصد کسر حجمی فاز تتراگونال بوده است. نتایج نشان دهنده آن بود که اندازه بلورک‌های فاز تتراگونال و مونوکلینیک به ترتیب برابر با ۲۸ و ۶۸ نانومتر با روش سنتز در محیط اسیدی است. در محیط بازی اندازه بلورک‌ها به ترتیب ۹۲ و ۳۲ نانومتر برای فازهای تتراگونال و مونوکلینیک به دست آمد. می‌توان گفت در محیط اسیدی درصد کسر حجمی فاز تتراگونال به دست آمده نسبت به محیط بازی بیشتر بوده ولی از اندازه بلورک کوچکتری برخوردادست. در محیط بازی اندازه بلورک‌های فاز تتراگونال افزایش یافته ولی درصد کسر حجمی فاز تتراگونال کاهش یافته است.

مراجع

- [1] W. E. Lee and W. M. Rainforth, "Ceramics Microstructures Property Control By Processing", Chapman & Hall, 1994.
- [2] D. E. Clark and B. K. Zois, "Corrosion of Glass, Ceramics and Ceramic Superconductors: Principles, Testing, Characterization and Applications ", Noyes publication, 1992.
- [3] A.U. Maheswari, S.S. Kumar, and M. Sivakumar, Journal of Nanoscience and Nanotechnology, 6, 2013, 4409.
- [4] F. Davar, A. Hassankhani, and M.R. Loghman-Estarkic, Ceramics International, 39, 2013, 2933.
- [5] M. Bashir, S. Riaz, , Z.N. Kayani, and S. Naseem, Journal of Sol-Gel Science and Technology, 74, 2015, 289.
- [6] N. Mamana, A. Ortiz, F. Sánchez-Bajo, R. Caruso, Ceramics International 40, 2014 16829.
- [7] M. M. Kashani-Motlagh, A. Maghsoudipour, L. Majidzadeh Gorjani and F. Hashemzadeh, International Journal of the Physical Sciences, 6(10), 2011, 2518.
- [8] C. N. Chervin, B. J. Clapsaddle, H. W. Chiu, A. E. Gash, J. H. Satcher, Jr., S. M. Kauzlarich, Chemistry of Materials, 2005 , UCRL-JRNL-209759.
- [9] B. D. Cullity, "Elements of X-Ray Diffraction", Addison-Wesley, Reading, MA. 1978.
- [10] M. R. Gauna, M. S. Conconi, S. Gomez, G. Suarez, E. F. Aglietti, N. M. Rendtorff, Ceramics – Silikáty 59 (4), 2015, 318.
- [11] J. Judes, V. Kamraj, Materials Science-Poland, 27, 2009, No. 2,
- [12] B. Bagchi, R. Nath Basu, Journal of Alloys and Compounds, 647, 2015, 620.

لایه‌نشانی و بررسی خواص لایه نازک کربن شبه الماسی اعمال شده بر پنجره مادون قرمز سیلیکونی

اکبر اسحاقی^{*}، عباسعلی آفایی

دانشکده مهندسی مواد، دانشگاه صنعتی مالک اشتر، اصفهان



دکتر اکبر اسحاقی، نویسنده‌ی
اول مقاله، دانشگاه صنعتی مالک
اشتر، دانشکده مهندسی مواد

چکیده: پنجره‌های مادون قرمز به عنوان محافظه سامانه‌های الکتروپیتیک در صنایع هوایی و فضایی مورد استفاده قرار می‌گیرند. با این حال این پنجره‌ها تحت تاثیر شرایط نامساعد محیطی قرار گرفته و در نتیجه عملکرد سامانه‌های الکتروپیتیک نیز دچار اختلال می‌شود. اعمال پوشش‌های محافظه بر پنجره‌های مادون قرمز باعث افزایش عملکرد این پنجره‌ها خواهد شد. در این تحقیق لایه نازک کربن شبه الماسی با استفاده از دو گاز هیدروژن و مثانی به روش رسوب شیمیایی پخار تقویت شده به کمک پلاسمای منبع تغذیه فرکانس رادیویی (RF-PECVD) بر سطح پنجره‌های مادون قرمز سیلیکونی اعمال گردید. ارزیابی ساختاری پوشش با استفاده از آنالیز پراش سنجی پرتوایکس و طیف‌سنجی رامان صورت گرفت. به منظور تعیین ضریب شکست لایه نازک کربن شبه الماسی روش بیضی‌سنجی مورد استفاده قرار گرفت. طیف بازتاب نمونه‌ها با استفاده از دستگاه UV-Vis-NIR recording spectrophotometer و همچنین برای اندازه‌گیری طیف عبور از روش طیف‌سنجی تبدیل فوریه مادون قرمز استفاده شد. تست سایش ملایم و شدید نیز با هدف بررسی مقاومت سایشی پوشش صورت گرفت. نتایج نشان داد با اعمال لایه نازک کربن شبه الماسی میزان عبور بسترهای سیلیکونی افزایش یافته است. همچنین نتایج تست سایش نشان داد کربن شبه الماسی با ضخامت ۵۴۰ nm در برابر سایش ملایم و شدید مقاوم بوده و عبور نمونه‌ها در اثر سایش کاهش نیافته است.

کلمات کلیدی: پنجره مادون قرمز، خواص اپتیکی، کربن شبه الماسی، لایه نازک.

۱- مقدمه

فناوری مادون قرمز یکی از فناوری‌های جدید و پرکاربرد در زمینه‌های گوناگون صنعتی، نظامی و پزشکی است. از جمله مهمترین کاربردهای پنجره‌های مادون قرمز می‌توان به دام محافظه ردیاب موشک‌های جنگی، محافظه سیستم تصویربرداری و انتقال سیگنال مادون قرمز در موشک‌های مافوق صوت، سیستم‌های ناظارت، سامانه‌های شناسایی هوایی، سیستم رادارهای لیزری، دوربین‌های مادون قرمز پزشکی و نیز کاربردهای آزمایشگاهی اشاره کرد[۱-۵]. پنجره‌های مادون قرمز به سه دسته تک کریستال، پلی کریستال و شیشه تقسیم می‌شوند. سیلیکون به دو شکل تک کریستال و پلی کریستال به عنوان پنجره مادون قرمز استفاده می‌شود[۶]. در این تحقیق از قرص سیلیکونی پلی کریستال به عنوان زیرلایه استفاده شد.

شفافیت بالای یک پنجره مادون قرمز از اهمیت ویژه‌ای برخوردار است. سیلیکون به عنوان پنجره مادون قرمز در محدوده طول موجی ۳-۵ میکرون کاربرد بیشتری دارد اما ضریب شکست سیلیکون به اندازه‌ای بالا است که اتلاف بازتابشی قابل توجهی را ایجاد می‌کند، به طوری که میزان عبور یک زیرلایه سیلیکونی جلا داده شده در محدوده ۳-۵ میکرون حدود ۵۵٪ می‌باشد[۶]. از این‌رو، این ماده به تنها بی نمی‌تواند نیازهای کاربردهای عملی را برآورده سازد و ضرورت اعمال یک پوشش ضدبارتاب مشخص می‌شود.

یکی از چالش‌های دیگر در استفاده از پنجره‌های مادون قرمز، حفاظت آن‌ها از آسیب به وسیله برخورد با ذرات است. زیرا این عنصر خارجی‌ترین بخش سامانه بوده و همواره در معرض عوامل بسیاری مانند: فشار اتمسفر، تنفس پرتاب، شوک حرارتی ناشی از برخورد قطرات سرد، فرسایش، برخورد ذرات جامد و غیره می‌باشد. بنابراین، انتخاب یک ماده مناسب به منظور افزایش مقاومت

سایشی سیلیکون نیز از اهمیت ویژه‌ای برخوردار است. کربن شبه الماسی، پوشش‌های ژرمانیم-کربن، پوشش‌های پایه فسفر و الماس از جمله پوشش‌هایی است که به عنوان پوشش مقاوم به سایش در پنجره‌های مادون قرمز کاربرد دارد[۱۷]. در نتیجه به منظور بهبود عبوردهی به واسطه کاهش بازتاب و حفاظت در برابر فرسایش باران و ماسه، نیاز به پوشش‌های ضدبازتاب و محافظ احساس می‌شود. کربن شبه الماسی دارای ضریب شکست متغیر در محدوده ۱/۲ تا ۲/۲ است، لذا می‌تواند به عنوان پوشش ضدبازتاب استفاده شود. همچنین از آن جایی که این پوشش دارای سختی متغیر (محدوده کمتر از ۱۰۰۰ تا ۲۰۰۰ kg/mm²) می‌باشد، برای محافظت در مقابل سایش ذرات جامد، بسیار عالی است. این ماده، چسبندگی بسیار خوبی به ژرمانیم و سیلیکون دارد[۱۸]. در این تحقیق ابتدا پارامترهای بهینه برای لایه‌نشانی کربن شبه الماسی با ضریب شکست مناسب به روش رسوب شیمیایی بخار تقویت شده به کمک پلاسمای تعیین شد. سپس ضخامت بهینه برای داشتن بیشینه عبور محاسبه گردید و در ادامه لایه نازک کربن شبه الماسی به عنوان یک پوشش ضدبازتاب و مقاوم به سایش بر یک طرف و دو طرف پنجره‌های مادون قرمز سیلیکونی اعمال گردید. در نهایت مقاومت سایشی پوشش بررسی شد.

۲- فعالیت‌های تجربی

۲-۱- مواد

برای ساخت لایه نازک کربن شبه الماسی از دو گاز هیدروژن و متان با خلوص به ترتیب ۹۹/۹۹۵٪ و ۹۹/۹۹۹٪ استفاده شد. همچنین از قرص سیلیکونی خام (بدون هیچ گونه پوششی) با قطر ۲۵ میلی‌متر به عنوان زیرلایه استفاده گردید.

۲-۲- لایه‌نشانی

در این پژوهش ابتدا نمونه‌ها با آب و صابون و الکل به دقت شستشو شدند. در مرحله بعدی فرآیند پلاسمای اچینگ هیدروژن به عنوان فرآیندی تکمیلی رفع آلودگی‌های ناخواسته احتمالی و فعال‌سازی سطح به منظور افزایش چسبندگی پوشش به سطح زیرلایه انجام گرفت[۹]. پارامترهای فرآیند پلاسمای اچینگ در جدول ۱ اورده شده است. پس از این فرآیند، فرآیند لایه نشانی به روش رسوب شیمیایی بخار تقویت شده به کمک پلاسمای صورت گرفت. پارامترهای این فرآیند در جدول ۲ نشان داده شده است.

جدول ۱- پارامترهای فرآیند پلاسمای اچینگ هیدروژن

پارامتر (واحد)	مقدار
فشار اولیه (torr)	۱۰ ^{-۵}
توان فرکانس (W)	۱۰۰ ± ۲
دبی گاز هیدروژن (sccm)	۴۶/۵
فشار کاری (torr)	۱
زمان اچینگ (min)	۲۰
دماهی فرآیند (oC)	دماهی محیط
فاصله آند و کاتد (cm)	۱/۵

جدول ۲- شرایط فرآیند لایه نازک کربن شبه الماسی

پارامتر (واحد)	مقدار
توان فرکانس (W)	۱۰۰ ± ۲
دبی گاز هیدروژن به متان (sccm)	۹/۶ ۳۸/۴
فشار کاری (torr)	۱
دماهی فرآیند (°C)	دماهی محیط
فاصله آند و کاتد (cm)	۱/۵

۳-۲- روش‌های مشخصه‌یابی

تشکیل لایه نازک کربن شبه الماسی و حالت کربن در ساختار با استفاده از آنالیز طیفسنجی رامان ارزیابی شد. در این تحقیق از دستگاه طیفسنج رامان مدل Senterra ساخت شرکت آلمانی *Burker* استفاده و طیفسنجی در محدوده طول موجی ۷۰۰-۲۲۰۰ nm انجام شد.

ساختار لایه نازک کربن شبه الماسی با استفاده از دستگاه پراش‌سنجد پرتو ایکس مدل Advance D8 از شرکت *Burker* ساخت کشور آلمان مورد بررسی قرار گرفت. در پراش‌سنجد پرتو ایکس از تابش $\lambda = 580$ nm استفاده شد و طیفسنجی در بازه ۵-۸۰ صورت گرفت.

برای تعیین منحنی ضریب شکست لایه نازک کربن شبه الماسی از دستگاه بیضی‌سنجد مدل Horiba در محدوده طول موج ۱۰۰۰-۳۷۰۰ nm استفاده شد. طیف بازتاب توسط دستگاه UV-VIS-NIR Recording Spectrophotometer بدست آمد. لازم به ذکر است دقت کالیبره دستگاه استفاده شده در حدود ۵٪ عبوردهی و خطای دستگاه در حد صدم درصد عبوردهی می‌باشد. همچنین به منظور بررسی میزان شفافیت نمونه‌های سیلیکونی از دستگاه FTIR استفاده گردید. این طیفسنجی در محدوده طول موجی $\mu\text{m} = 2-15$ انجام گرفت. مقاومت سایشی پوشش توسط تست سایش ملایم و شدید بررسی شد.

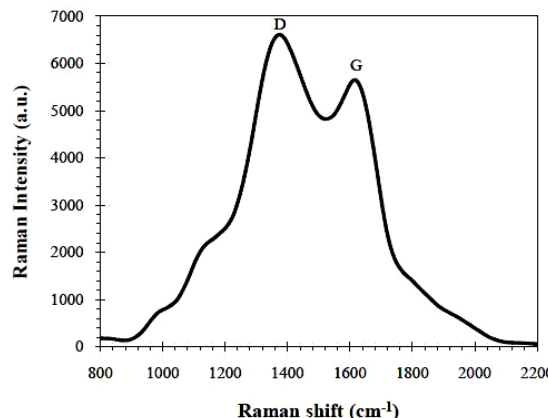
برای انجام تست سایش ملایم پارچه کتانی و نمونه پوشش داده شده لازم می‌باشد. بعد از انجام این تست، نباید هیچ نشانه واضحی از بدتر شدن کیفیت لایه نظری وجود رگه یا خراش در قطعه مشاهده گردد. روش تست به این صورت است که در زمان ۱ ساعت پس از تست رطوبت، نمونه لایه‌نشانی شده، تحت سایش ملایم قرار می‌گیرد. این کار با سایش سطح لایه‌نشانی شده به کمک یک پارچه کتانی درشت بافت (که استاندارد CCC-c-440 MIL را پاس نماید) با ضخامت ۴/۶ میلیمتر که دارای پهنانی ۹/۵ میلیمتر می‌باشد، صورت می‌گیرد. این پارچه بر روی تستر ثابت شده و سطح آن را به طور کامل می‌پوشاند. تستر باید عرض سطح قطعه را از یک نقطه دیگر در یک مسیر، برای ۲۵ دور کامل (۵۰ بار رفت و برگشت) با نیروی حداقل ۱ پوند که به طور متواالی اعمال می‌گردد طی نماید. طول مسیر باید حداقل ۲ برابر پهنانی پارچه بوده و جهت اعمال نیرو باید همواره بر سطح قطعه عمود می‌باشد. سپس قطعه بر اساس روش تمیزکاری سطوح لایه‌نشانی شده تمیز و خشک گردیده و آسیب‌های احتمالی مورد بررسی قرار می‌گیرد.

برای انجام تست سایش شدید پاک کن استاندارد و نمونه پوشش داده شده لازم می‌باشد. بعد از تست سایش شدید نباید هیچ گونه آسیب واضحی نظری کنده شدن لایه و یا خراش در قطعه مشاهده گردد. در این تست لازم است که مقاومت به سایش نمونه لایه‌نشانی شده، به کمک مداد پاک کن مورد تأیید استاندارد E-12397 MIL که بر روی یک تستر قرار گرفته مورد بررسی قرار گیرد. مداد پاک کن باید عرض سطح قطعه را از یک نقطه دیگر در یک مسیر، برای ۱۰ دور کامل با نیروی برابر ۲ تا ۲/۵ پوند که به طور متواالی به آن اعمال می‌گردد طی نماید. طول مسیر باید تقریباً سه برابر قطر مداد پاک کن بوده و جهت اعمال نیرو باید همواره بر سطح قطعه عمود می‌باشد. سپس قطعه بر اساس روش تمیزکاری سطوح لایه‌نشانی شده تمیز خشک گردیده و سپس آسیب‌های احتمالی مورد بررسی قرار می‌گیرد.

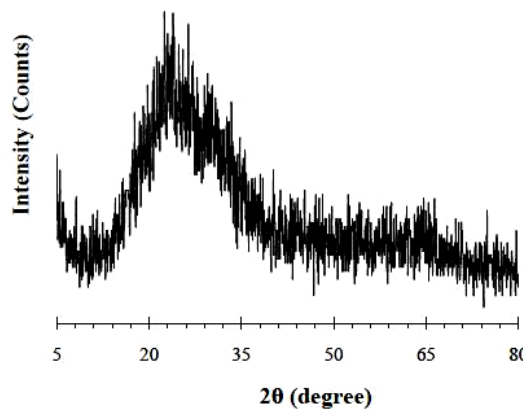
۳- نتایج و بحث

نتیجه آنالیز طیفسنجی رامان در شکل ۱ نشان داده شده است. تشکیل پیک D (ناشی از پیوندهای گرافیتی نامنظم) و نیز پیک G (ناشی از پیوندهای گرافیتی تک کریستال) به ترتیب در عدددهای موجی 1340 cm^{-1} و 1550 cm^{-1} تشکیل لایه نازک کربن شبه الماسی را اثبات می‌کند.^[۱۱] میزان نسبی شدت G/I و نیز موقعیت پیک G، نسبت SP^3/SP^2 را در پوشش مشخص می‌کند. با افزایش نسبت G/I میزان SP^2 در پوشش افزایش می‌یابد.^[۱۲]

طیف پراش‌سنجد پرتو ایکس لایه نازک کربن شبه الماسی در شکل ۲ نشان داده شده است. عدم وجود پیک تیز در طیف مشخص می‌کند که پوشش دارای ساختاری آمورف است.^[۱۰]^[۱۴]



شکل ۱- طیف پراش سنجی پرتو ایکس لایه نازک کربن شبه الماسی



شکل ۲- طیف پراش سنجی پرتو ایکس لایه نازک کربن شبه الماسی

پارامترهای فرایند لایه‌نشانی به گونه‌ای انتخاب گردیده است که ضریب شکست پوشش، به مقدار بهینه نزدیک باشد. برای این منظور از رابطه ۱ استفاده می‌شود[۱۵ و ۱۶].

$$n_{AR} = \sqrt{n_o n_{si}} \quad (1)$$

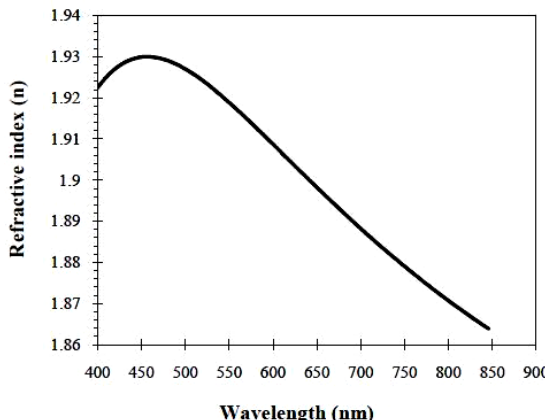
در این رابطه n_{AR} ضریب شکست پوشش ضدبازتاب، n_{si} ضریب شکست هوا، n_o ضریب شکست زیرلایه سیلیکونی در طول موج ۴۰۰۰ nm است که با جایگذاری مقادیر ۱ برای ضریب شکست هوا و $\frac{3}{425}$ برای ضریب شکست سیلیکون، ضریب شکست بهینه پوشش از نظر تئوری در طول موج $4000 \text{ nm} / 1.85 = 2150 \text{ nm}$ برابر باشد می‌آید[۱۷]. از طرفی چون ضریب شکست لایه نازک کربن شبه الماسی تنظیم‌پذیر است، می‌توان در ضمن فرایند لایه‌نشانی با تغییر پارامترهای لایه‌نشانی ضریب شکست پوشش را تا حد قابل قبولی به مقدار $1/85$ نزدیک کرد[۱۰]. شکل ۳ منحنی ضریب شکست لایه نازک کربن شبه الماسی را نسبت به طول موج نشان می‌دهد. با توجه به این شکل، لایه نازک کربن شبه الماسی اعمال شده بر سطح نمونه‌های سیلیکونی دارای ضریب شکست برابر $2/102$ در طول موج 550 nm است. بررسی منحنی شکل ۱ نشان می‌دهد ضریب شکست این لایه در طول موج $1000 \text{ nm} / 1/95 = 950 \text{ nm}$ شده است. بنابراین از شبیه نمودار ضریب شکست بر حسب طول موج و با استفاده از روش بروونیابی می‌توان نتیجه گرفت که ضریب شکست پوشش در طول موج 4000 nm با مقدار تئوری (بدست آمده از رابطه ۱) مطابقت خوبی دارد.

پس از تعیین ضریب شکست بهینه، ضخامت بهینه اپتیکی چهت برخورداری کربن شبه الماسی از خواص ضدبازتابی با استفاده از رابطه (۲) بدست می‌آید[۱۵ و ۱۶]:

$$d_{AR} = \frac{n \lambda_0}{4 n_{AR}} \quad (2)$$

در این رابطه d_{AR} ضخامت بھینه اپتیکی (nm)، λ طول موج (nm) و n_{AR} ضریب شکست بدست آمده از شکل ۱ است. با جایگذاری مقادیر در رابطه (۲) ضخامت بھینه بدست می‌آید:

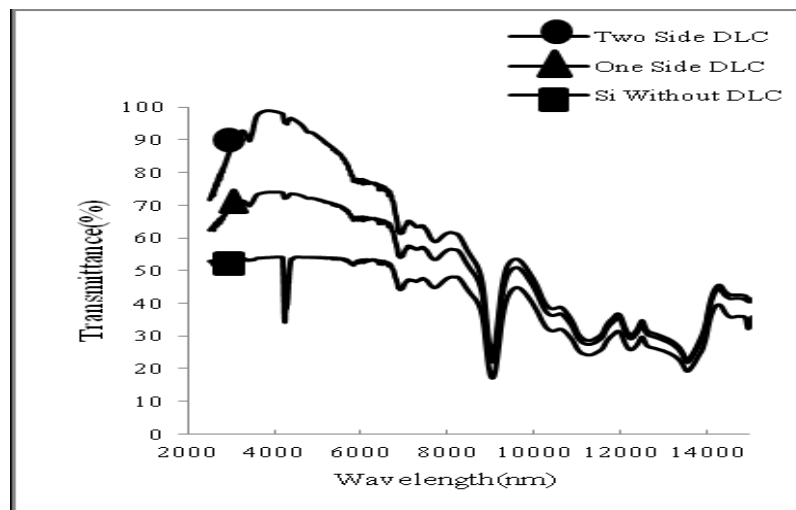
$$d_{AR} = \frac{4000}{4 \times 1.85} = 540.54 \text{ nm}$$



شکل ۳- منحنی ضریب شکست لایه نازک کربن شبه الماسی

بنابراین ضخامت بھینه لایه نازک کربن شبه الماسی برای داشتن کمترین بازتاب برابر ۵۴۰ نانومتر است که در ادامه این ضخامت در دو حالت یک طرف و دو طرف سطح نمونه‌های سیلیکونی اعمال شد.

به منظور بررسی شفافیت نمونه‌های سیلیکونی پس از اعمال لایه نازک کربن شبه الماسی، طیف عبور در سه حالت نمونه بدون پوشش، یک طرف پوشش‌دار و دو طرف پوشش‌دار تهیه گردید. این طیفسنجی در محدوده ۲-۱۵ میکرومتر صورت گرفته که در شکل ۴ نشان داده شده است.



شکل ۴- طیف عبور پنجره مادونقرمز سیلیکونی دو طرف پوشش‌دار، یک طرف پوشش‌دار و بدون پوشش

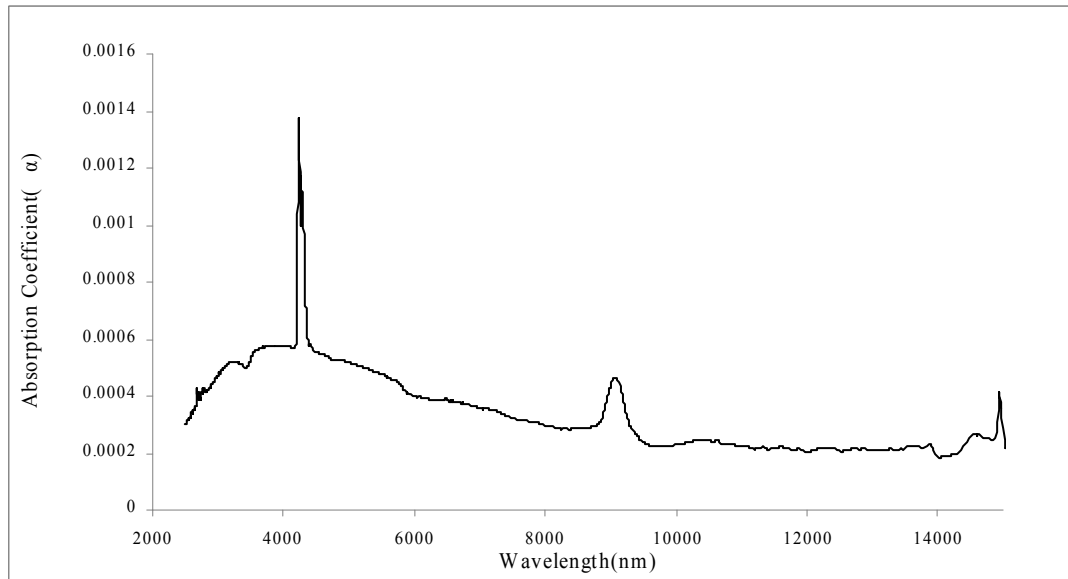
همان‌طور که در شکل ۴ مشاهده می‌شود با اعمال لایه نازک ضدبازتاب کربن شبه الماسی شفافیت در محدوده مادونقرمز افزایش می‌یابد که این میزان افزایش برای حالت دو طرف پوشش‌دار بیشتر است. بنابراین از لایه نازک کربن شبه الماسی می‌توان به عنوان یک پوشش اپتیکی به منظور افزایش شفافیت پنجره‌های مادونقرمز استفاده کرد.

با استفاده از میزان عبور نمونه بدون پوشش T_0 و نمونه دارای یک طرف پوشش T طبق رابطه (۳) می‌توان ضریب جذب نمونه‌ها را به دست آورد.

$$\alpha = -\frac{1}{d} \ln\left(\frac{T}{T_0}\right) \quad (3)$$

در رابطه (۳) δ ضخامت نمونه می‌باشد.

منحنی ضریب جذب برحسب طول موج در شکل ۵ آمده است. همان‌طور که مشاهده می‌شود پوشش دارای ضریب جذب بسیار پایین در محدوده طول موجی ۲-۱۵ میکرون می‌باشد.



شکل ۵- منحنی ضریب جذب لایه نازک کربن شبه الماسی

برای بررسی مقاومت به سایش پوشش تست سایش ملایم به این صورت انجام شد که پارچه کتانی برای ۲۵ دور کامل با نیروی برابر با ۱ پوند روی سطح نمونه اعمال شد. بعد از انجام این تست، هیچ نشانه واضحی از بدتر شدن کیفیت لایه نظیر وجود رگه یا خراش در قطعه مشاهده نشد و نمونه سیلیکونی دارای پوشش کربن شبه الماسی با ضخامت ۵۴۰ nm این تست را که طبق استاندارد MIL CCC-C-440 صورت گرفت، با موفقیت گذراند.

برای بررسی مقاومت به سایش نمونه سیلیکونی طبق استاندارد MIL-E-12397، پاک کن برای ۱۰ دور کامل با نیروی عمودی ۲,۵ پوند روی سطح پوشش اعمال شد. بعد از انجام تست سایش شدید هیچ گونه آسیب واضحی نظیر کندشدن لایه و یا خراش در قطعه مشاهده نشد و نمونه سیلیکونی دارای پوشش کربن شبه الماسی با ضخامت ۵۴۰ nm این تست را نیز با موفقیت گذراند.

۴- نتیجه‌گیری

در این پژوهش لایه نازک ضدبازتاب کربن شبه الماسی با استفاده از دو گاز هیدروژن و متان به روش رسوب شیمیایی بخار تقویت شده به کمک پلاسما با منبع تغذیه فرکانس رادیویی (RF-PECVD) بر سطح پنجره مادون قرمز سیلیکونی اعمال شد و نتایج زیر به دست آمد:

- ضریب شکست لایه نازک کربن شبه الماسی در این پژوهش با ضریب شکست تئوری بدست آمده از روابط فیزیکی مطابقت دارد که در نتیجه می‌تواند به عنوان یک پوشش ضدبازتاب عمل کند بنابراین ضخامت بهینه اپتیکی در طول موج ۴۰۰ nm نانومتر برابر ۵۴۰ nm محاسبه گردید.
- اثبات شد که با اعمال لایه نازک کربن شبه الماسی شفافیت پنجره‌های مادون قرمز سیلیکونی در محدوده طول موج مادون قرمز افزایش می‌یابد.
- همچنین نتیجه می‌شود که با اعمال لایه نازک کربن شبه الماسی بر روی پنجره‌های مادون قرمز سیلیکونی مقاومت به سایش بهبود می‌یابد.

مراجع

- [1] D. C. Harris, "Materials for infrared windows and domes", SPIE Optical Engineering Press, Washington , 1999.
- [2] Y.Liu, Y.He, Z. Yuan, J. Zhu and J. Han, "Numerical and experimental study on thermal shock damage of CVD ZnS infrared window material", Journal of Alloys and Compounds Vol. 589, pp. 101–108, 2014.
- [3] B. Tang, Y. Yang, Y. Fan and L. Zhang, "Barium Gallogermanate Glass Ceramics for Infrared Applications, Journal of Materials Science and Technology, Vol. 26, pp. 558-563, 2010.
- [4] M. Hopf and J. U. G. Hopf, "Near Infrared Transillumination in Acute Maxillary Sinusitis: Theoretical Background – Clinical Application Diagnostic Potential – Limitations", Medical Laser Application Vol. 18, pp. 217–231, 2003.
- [5] D. C. Harris, "Durable 3–5 mm transmitting infrared window materials", Infrared Physics & Technology Vol. 39, pp. 185–201, 1998.
- [6] A. Rogalski and K. Chrzanowski, "Infrared devices and techniques", Opto-Electronics Review, Vol. 10, pp. 111–136, 2002.
- [7] A.A. Deom, A. Luc, S. Amara and D.L. Balageas, "Towards more realistic erosion simulation tests for high velocity EM and IR windows", Wear, pp. 13–24, 1999.
- [8] مجیری، ف، لایه‌نشانی و ارزیابی اثرات لایه نازک DLC بر بهبود عملکرد سلول‌های خورشیدی سیلیکونی، پایان نامه مقطع کارشناسی ارشد رشته مهندسی مواد (شناسایی و انتخاب مواد)، دانشکده مواد، دانشگاه صنعتی مالک اشتر، اردیبهشت ماه ۱۳۹۲.
- [9] W. Seok Choi, K. Kim, J. Yi and B. Hong, "Diamond-like carbon protective anti-reflection coating for Si solar cell", Materials Letters 62 (2008) 577–580.
- [10] J. Robertson, "Diamond-like amorphous carbon", Materials Science and Engineering R, Vol. 37, pp. 129-281, 2002.
- [11] X. B. Yan, T. Xu, S. R. Yang, H. W. Liu and Q J Xue, "Characterization of hydrogenated diamond-like carbon films electrochemically deposited on a silicon substrate", Journal of Physics D: Applied Physics, Vol. 37, pp. 2416-2424, 2004.
- [12] L. Qiang, B. Zhang, Y. Zhou and J. Zhang, "Improving the internal stress and wear resistance of DLC film by low content Ti Doping", Solid State Sciences, Vol. 20 pp. 17-22, 2013.
- [13] T. Kitagawa, K. Miyauchi, N. Toyoda, K. Kanda, T. Ikeda, H. Tsubakino, J. Matsuo, Sh. Matsui and I. Yamada, "Influence of residual Ar β in Ar cluster ion beam for DLC film formation", Nuclear Instruments and Methods in Physics Research B, Vol. 206, pp. 884–888, 2003.
- [14] R. Chakraborty, R. Mandal and R. Das, "Studies on the influence of argon flow rate on PECVD grown diamond-like nanocomposite film", Optik, Vol. 124 pp. 6915– 6918, 2013.
- [15] F. J. Pern, Zh. Panosyan, A. A. Gippius, J. A. Kontsevoy, K. Touryan, S. Voskanyan and Y. Yengibaryan, "Diamond-like carbon coatings as encapsulants for photovoltaic solar cells", Prepared for the 31st IEEE Photovoltaic Specialists Conference and Exhibition Lake Buena Vista, Florida January, pp. 3–7, 2005.
- [16] O. S. Heavens, "Thin film physics", Distributed in the U.S.A by Halsted press, NewYork, 1970.



keivan.asadian@gmail.com

دکتر کیوان اسدیان، نویسنده‌ی اول مقاله، پژوهشگاه مواد و انرژی، پژوهشکده نیمه‌هادی

بررسی سنتز پودر تک فاز Zn_2TiO_4 با استفاده از مایکروویو

کیوان اسدیان*، نفیسه شاهقلی، تورج عبادزاده

پژوهشگاه مواد و انرژی، پژوهشکده نیمه‌هادی

چکیده: در این تحقیق سنتز ترکیب Zn_2TiO_4 با استفاده از واکنش حالت جامد از دو طریق حرارتدهی در مایکروویو و کوره الکتریکی بررسی شده است. نتایج آمالیز XRD نشان داده است که در حرارتدهی از طریق مایکروویو در دمای $100^\circ C$ اولین پیک قوی از فاز Zn_2TiO_4 ظاهر شده است و پس از آن با افزایش بیشتر دما در $120^\circ C$ تشکیل فاز کامل شده است. به عبارت دیگر در این دما هیچ فاز ثانویه یا فازهایی مربوط به مواد اولیه در نمونه دیده نشده است. لازم به ذکر است که برای سنتز کامل پودر تک فاز Zn_2TiO_4 در مایکروویو تنها ۳۶ دقیقه زمان صرف شده است. همچنین به منظور مقایسه، پودر مورد نظر در زمان‌های مختلف در دمای $120^\circ C$ در کوره الکتریکی کلیسینه شد. نتایج نشان داد که سنتز این فاز در کوره الکتریکی به ۲ ساعت نگه داری در دمای $120^\circ C$ احتیاج داشت. تصاویر SEM نیز نشان داد که پودرهای سنتز شده در هر دو حالت آگلومره هستند و ذرات به هم جوش خورده‌اند. با این وجود اندازه این آگلومره‌ها در مایکروویو به دلیل سریع تر بودن فرآیند حرارت دهی بسیار کوچک‌تر است.

کلمات کلیدی: تیتانات روی، سرامیک دیالکتریک مایکروویو، گرمایش مایکروویو، سنتز، واکنش حالت جامد.

۱- مقدمه

در طی دو دهه گذشته، سرامیک‌های دیالکتریک مایکروویو به طور گسترده در مشددها، فیلترها و آتن‌ها در سیستم‌های ارتباطی بی‌سیم استفاده می‌شوند^[۱]. سرامیک‌های مورد استفاده در این زمینه باید سه شرط زیر را دارا باشند^[۲]:

- دارای فاکتور کیفیت^۱ (Q) بالایی باشند. واژه f_{RF} (که در آن f فرکانس اندازه‌گیری است) معمولاً بجای Q در بیان نتایج بکار می‌رود زیرا که امکان مقایسه Q که در فرکانس‌های متفاوت اندازه‌گیری شده است را فراهم می‌آورد. یادآوری می‌شود حاصل f_{RF} در فرکانس‌های مایکروویو تقریباً مساوی می‌باشد.
- دارای ضریب دیالکتریک (ϵ_r) بالایی باشند؛ چرا که ضریب دیالکتریک با اندازه قطعه تناسب عکس دارد.
- دارای ضریب دمایی فرکانس روزانه^۲ (α_T)، نزدیک به صفر باشند.

تیتانات‌های روی، گروهی از ترکیبات دیالکتریک با دمای زینتر پایین هستند که می‌توان آن‌ها را بدون استفاده از کمک زینترها در دمای $1100^\circ C$ و یا با استفاده از کمک زینترها (مثل مقادیر کمی از شیشه‌ها) در دمای $900^\circ C$ زینتر کرد. تیتانات‌های روی اغلب در ساخت رنگدانه‌های رنگ و ترمیستورهای ریخته‌گری ذوبی^۳ به کار می‌روند. این ترکیبات در ابتدا به عنوان جاذب برای خارج کردن سولفور از محصولات گازی زغال سنگ به کار می‌رفت. اما امروزه با توجه به گسترش دیالکتریک‌های مایکروویو، از آن‌ها در مشددهای دیالکتریک و فیلترها در ابزارهای مایکروویو استفاده می‌شود^[۴].

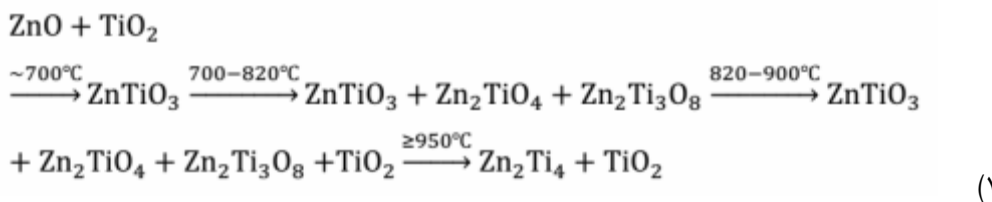
مطالعات بنیادی درباره سیستم $ZnO-TiO_2$ اولین بار توسط دولین و راس^[۵] و بارتراوم و اسلیپتیس

¹ Quality factor

² Temperature Coefficient of Resonant Frequency

³ Fusion Cast Thermistors

[۶] در سال ۱۹۶۰ انجام گرفته است. این افراد وجود سه ترکیب $\alpha\text{-Zn}_2\text{TiO}_4$ (مکعبی)، ZnTiO_3 (هگزاگونال) و $\text{Zn}_2\text{Ti}_3\text{O}_8$ (مکعبی) را در این سیستم گزارش کردند. استحاله‌های فاز در سیستم ZnO-TiO_2 به صورت رابطه (۱) است [۷]:



ZnTiO_3 دارای ساختار پروسکایت بوده و یک ماده با قابلیت کاربرد در مشددهای دی‌الکتریک، سنسورهای گاز (برای اتانول، CO و ...) و بیگمنتهای رنگ است [۸]. یاماگوچی و همکارانش [۹] مشخص کردند که ترکیب ZnTi_3O_8 شکل دیگری از ترکیب Zn_2TiO_4 در دمای پایین‌تر است. Zn_2TiO_3 به راحتی از واکنش حالت جامد ۲ مول ZnO و ۱ مول TiO_2 بدست می‌آید. برخلاف آن؛ سنتز ZnTiO_3 از ۱ مول ZnO و ۱ مول TiO_2 به علت تجزیه ZnTiO_3 به $\alpha\text{-Zn}_2\text{TiO}_4$ و روتایل در دماهای بالای 945°C مشکل می‌باشد. اما این ترکیب به علت کاربرد در LTCC و دارا بودن خواص مایکروویو دی‌الکتریک مناسب بیش‌تر مورد توجه است. بطور کلی خواص ZnTiO_3 سینتر شده در دمای پایین‌تر از 945°C عبارت است از: $\epsilon_r = 22$ ، $\tau_f = -60 \text{ ppm}/^\circ\text{C}$ و $Q\times f = 40,000 \text{ GHz}$ است. در حالی که خواص Zn_2TiO_4 و Zn_2TiO_3 هم $\epsilon_r = 21$ ، $\tau_f = -60 \text{ ppm}/^\circ\text{C}$ و $Q\times f = 20,000 \text{ GHz}$ است و به راحتی از سینتر $2\text{ZnO}:1\text{TiO}_2$ در دماهای بالا بدست می‌آید اما فاکتور کیفیت آن پایین‌تر است [۱۰]. البته لی و همکارانش [۱۱] تشکیل فاز مکعبی Zn_2TiO_3 به صورت رسوب از زمینه Zn_2TiO_4 که دارای ساختار و پارامترهای شبکه یکسان با فاز زمینه است را نیز گزارش کرده‌اند، اورتوتیتانات با ساختار اسپینلی و شبکه مکعبی، در بین سه ترکیب ذکر شده در سیستم ZnO-TiO_2 پایدارتر است و به عنوان یک شکل تیتانات دما بالا به طور گستردۀ بررسی شده است.

همانطور که مشخص است خواص مواد به فرآیندهای سنتز شامل شرایط سنتز کردن و خواص فیزیکی و شیمیایی مواد اولیه وابسته است. از طرفی خواص پودر سنتز شده بر روی دمای زینتر نقشی موثر و چشمگیر دارد. به عنوان مثال اگر تیتانات‌های روی سنتز شده دارای اندازه دانه بسیار کوچک باشند؛ می‌توان بدون افزودن کمک زینتر در دمای پایین‌تر متراکم کرد و خواص دی‌الکتریک مایکروویو مطلوب‌تری بدست آورد [۴].

تاکنون سنتز ترکیبات $\text{TiO}_2\text{-ZnO}$ با فرآیندهای مختلف در بسیاری از مقالات گزارش شده است؛ که این فرآیندها عموماً پیچیده و هزینه‌بر هستند. ابرادویک و همکارانش [۱۲] اثر فعال سازی مکانیکی را بر روی ترکیبات تیتانات روی بررسی کردند. نتایج آن‌ها نشان داد که بعد از ۳۰ دقیقه آسیاب کاری مکانیکی ۲ مول ZnO و ۱ مول TiO_2 ، پیک‌های Zn_2TiO_4 در XRD ظاهر می‌شود. ارزیابی ریزساختار نمونه‌ها در تحقیق آن‌ها نشان داده است که فعال سازی مکانیکی منجر به افزایش منطقه گردنی در مرحله زینتر و همچنین افزایش چگالی سرامیک می‌گردد. مانیک و همکارش [۱۳] نیز ترکیبات ZnTiO_3 و Zn_2TiO_4 نانوکریستال را با آسیاب کاری پرانرژی پودرهای ZnO و TiO_2 بدست آورده‌اند. نتایج آن‌ها حاکی از آن است که پس از ۳۰ دقیقه، Zn_2TiO_4 تشکیل می‌شود در حالی که ZnTiO_3 پس از ۲ ساعت آسیاب بدست خواهد آمد. پس از ۵ دقیقه آسیاب a-TiO_2 به فاز s-TiO_2 (فشار بالا) تبدیل می‌شود. برای توجیه تشکیل Zn_2TiO_4 فرض شده است که اتم‌های ZnO در شبکه Zn_2TiO_4 با اتم‌های Ti جانشین شده و هنگامی که محلول جامد ZnO-a-TiO_2 به استوکیومتری ۱:۱ درصد مولی می‌رسد، فاز اسپینل تشکیل خواهد شد. اسپینل معکوس نیز از محلول جامد ZnO-s-TiO_2 تشکیل می‌شود. پس از ۲ ساعت آسیاب ZnTiO_3 از محلول جامد با نسبت استوکیومتری ۱:۱ بدست می‌آید. یو و همکارش [۱۴] نانوذرات ZnTiO_3 را به روش سل-ژل سنتز کردند. آن‌ها با استفاده از طیف XRD نشان دادند ZnTiO_3 در 500°C تشکیل می‌شود؛ اما در این دما فاز اصلی ZnO می‌باشد. با افزایش دما به 550°C تنها فاز موجود ZnTiO_3 است که در محدوده دمایی وسیعی پایدار بوده و در دمای 950°C به Zn_2TiO_4 و روتایل تجزیه می‌گردد. آگل [۱۵] نیز دو ترکیب Zn_2TiO_3 و Zn_2TiO_4 را سنتز و خصوصیات آن‌ها را بررسی کرد. وی هدف از بررسی خود را بدست آوردن ساختارهای اتمی دقیق این دو ترکیب دانست. وی به منظور دستیابی به هدف خود مخلوط پودرهای خالص ZnO و TiO_2 را با نسبت‌های مولی

معین در آسیاب گلوله‌ای با نسبت پودر به گلوله ۱ به ۲۰ با دور ۴۰۰ rpm به مدت ۲۴ ساعت آسیاب کرد. سپس در دمای ۸۰۰ و ۹۵۰ درجه سانتیگراد کلسیناسیون را به مدت ۲۴ ساعت انجام داد. نتایج بررسی‌ها و آنالیز XRD پودرهای سنتز شده نشان داد که ذارت تشکیل شده میزان تبلور بالایی داشته و اندازه ذرات بدست آمده که از طریق رابطه شرر محاسبه شد و برای $ZnTiO_3$ به ترتیب ۴۵ و ۲۰ میکرون به دست آمد.

طی سال‌های اخیر گرمایش با مایکروویو به دلیل راحتی و کارآیی بالا توجه عمومی زیادی را به خود جلب کرده است. گرمایش معمولی در کوره الکتریکی به طریقی است که گرما را از طریق هدایت و جابه‌جایی به جسم منتقل می‌کند در حالی که گرمایش با مایکروویو عمدتاً یک فرآیند حرارت‌دهی حجمی است که باعث گرم شدن ماده می‌گردد. با مقایسه این دو روش گرمایشی در می‌باییم که در گرمایش با مایکروویو علاوه بر کاهش مصرف انرژی، به ریزاخترهایی ریزتر و با خواص بهتر دست خواهیم یافت.[۱۶].

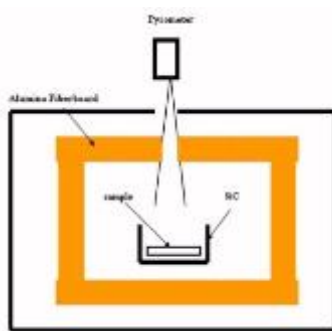
در این تحقیق سنتز ترکیب Zn_2TiO_4 با استفاده از واکنش حالت جامد از دو طریق حرارت دهی در مایکروویو و کوره الکتریکی انجام شد و پودرهای تهیه شده با استفاده از آنالیزهای XRD، SEM، STA مورد بررسی قرار گرفت.

۲- فعالیت‌های تجربی

در گام اول پودرهای ZnO (Merk ۹۹/۹٪) و TiO_2 (Merk ۹۹/۹٪) با نسبت استوکیومتری مشخص که قبلاً در خشک کن در دمای $150^{\circ}C$ به مدت ۲ ساعت برای خروج آبهای اضافی و رطوبت احتمالی، خشک شده بود را توزین و با آب مقطر با نسبت جرم پودر به جرم آب ۱۵ به ۱۳ و نسبت جرم پودر به جرم گلوله ۱ به ۷ و فرکانس ۵۰ هرتز به منظور مخلوطشدن به مدت ۳۰ ساعت در آسیاب لرزشی آسیاب شد. سپس مخلوط بدست آمده در خشک کن با دمای $120^{\circ}C$ به مدت ۲ ساعت خشک شد. پس از مخلوط شدن و به منظور بررسی و ارزیابی رفتار حرارتی مواد مورد استفاده، مخلوط بدست آمده با آنالیز STA مورد بررسی قرار گرفت. این آنالیز از دمای محیط تا $1200^{\circ}C$ با سرعت گرمایش $10^{\circ}C/min$ و در اتمسفر هوا انجام شد.

کلسیناسیون به دو صورت زیر انجام شد:

الف) کلیسناسیون در مایکروویو: دستگاه مورد استفاده یک اجاق مایکروویو معمولی با فرکانس $2/45GHz$ و توان $900W$ بود. برای اندازه‌گیری دما از یک پیرومتر (RAYR312MSCL2G) استفاده شد. شکل ۱ چگونگی قرارگیری پیرومتر را نشان می‌دهد.



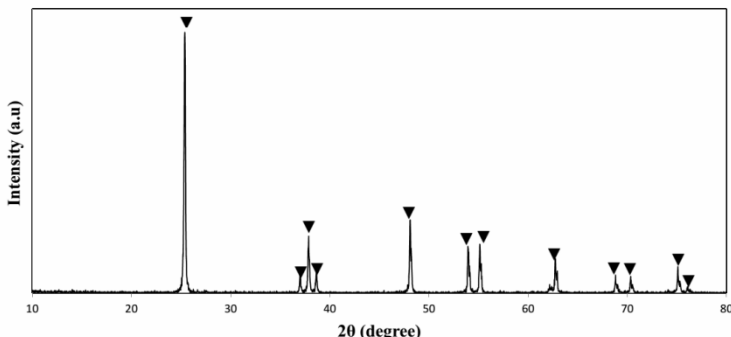
شکل ۱- نمایش دستگاه مایکروویو و چگونگی قرارگیری پیرومتر

ب) کلسیناسیون در کوره الکتریکی: پودر خشک شده در بوته آلومینیمی قرار داده شد و در کوره الکتریکی در دماهای مختلف با زمان نگهداری 0 min ، 30 min ، 60 min و 120 min حرارت داده شدند. سرعت گرم کردن کوره $10^{\circ}C/min$ و پس از حرارت دهی در دمای ماکزیمم، کوره در آن دما خاموش شد تا بطور طبیعی سرد گردد.

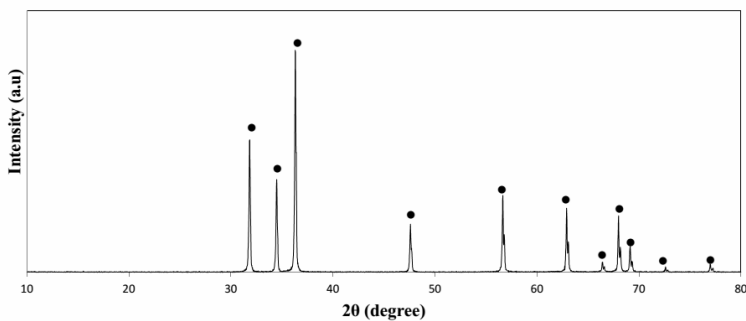
برای بررسی فازهای تشکیل شده پودرهای سنتز شده؛ از دستگاه Philips (Netherlands) مدل (۳۷۱۰) با مشخصات $I=30mA$ ، $V=40kV$ و اشعه بکار رفته CuK_{α} با طول موج $\lambda=1.5404\text{\AA}$ استفاده شد. برای تشخیص فازی، طیف در رنج $10-80^{\circ}$ درجه با مشخصات $time per step=1\text{ Sec}$ و $step size=0.02^{\circ}$ جمع آوری شد. همچنین بررسی مورفولوژی و اندازه دانه‌های پودر سنتز شده در هر دو روش با استفاده از SEM مورد بررسی قرار گرفت.

۳- نتایج و بحث

همانگونه که گفته شد؛ به منظور اطمینان از خلوص مواد اولیه، بررسی فازی بر روی آنها انجام شد. شکل ۲ و شکل ۳ به ترتیب الگوی تفرق اشعه X مربوط به اکسید تیتانیم و اکسید روی را نشان می‌دهد. مشاهده می‌شود که هر دو ماده تک فاز هستند و فاز ثانویه‌ای در آن‌ها دیده نمی‌شود.

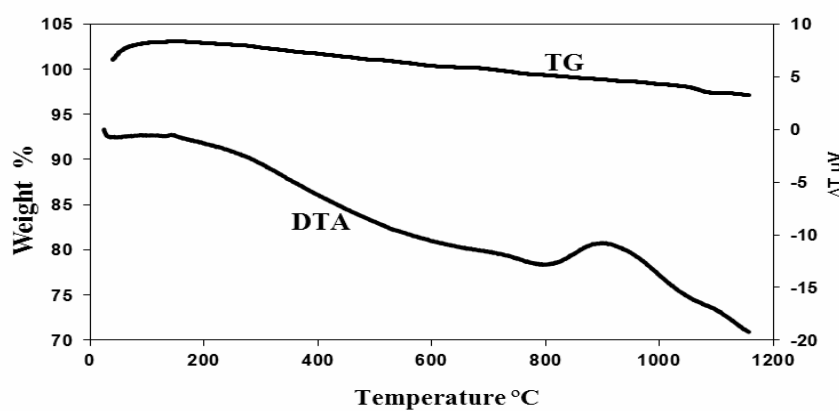


شکل ۲- الگوی تفرق اشعه X مربوط به ماده اولیه (\blacktriangledown) TiO_2



شکل ۳- الگوی تفرق اشعه X مربوط به ماده اولیه (\bullet) ZnO

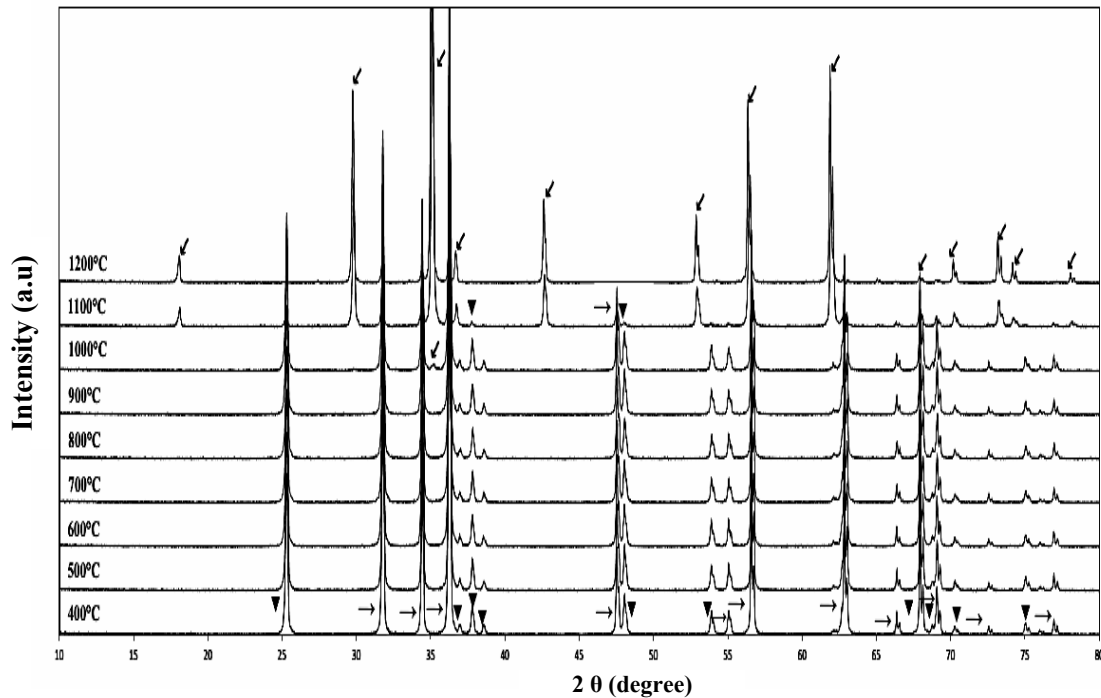
نمودار STA برای مخلوط پودرهای اکسید روی و اکسید تیتانیم در شکل ۴ آورده شده است. همانطور که مشاهده می‌شود در منحنی TG این نمودار تغییر محسوسی دیده نمی‌شود. به عبارت دیگر در ترکیب مورد نظر تغییر وزن محسوسی وجود ندارد. همچنین در منحنی DTA این نمودار یک پیک پهن گرمایزا در حدود 950°C دیده می‌شود که می‌توان به آغاز تشکیل ترکیب Zn_2TiO_4 و گرمایزا بودن واکنش آن نسبت داد.



شکل ۴- منحنی STA مخلوط پودرهای ZnO و TiO_2 حرارت داده شده از دمای محیط تا 1200°C

شکل ۵ الگوی تفرق نمونه‌های سنتز شده در دماهای 400°C تا 1200°C در کوره مایکروویو را نشان می‌دهد. همانطور که مشاهده می‌شود در دمای 400°C فقط پیک‌های مواد اولیه دیده می‌شود و در این دما فاز جدیدی تشکیل نشده است. این موضوع تا

دماهای ۹۰۰°C وجود دارد و با افزایش دما از شدت این پیک‌ها کاسته می‌شود. با افزایش بیشتر دما در ۱۰۰۰°C اولین پیک از فاز Zn₂TiO₄ ظاهر شده است که در شکل مشخص شده است. در دمای ۱۱۰۰°C علی‌رغم ظاهر شدن پیک‌های دیگر از این فاز، چند پیک کوچک از ماده‌ای اولیه TiO₂ دیده می‌شود که در دمای ۱۲۰۰°C ناپدید می‌شود. در این دما کلیه پیک‌ها مربوط به فاز مورد نظر است و هیچ پیک اضافی دیده نمی‌شود.



شکل ۵- الگوی پراش اشعه X مربوط به نمونه‌های سنتز شده در مایکروویو در دماهای مختلف؛ \blacktriangledown : ZnO، \rightarrow : TiO₂

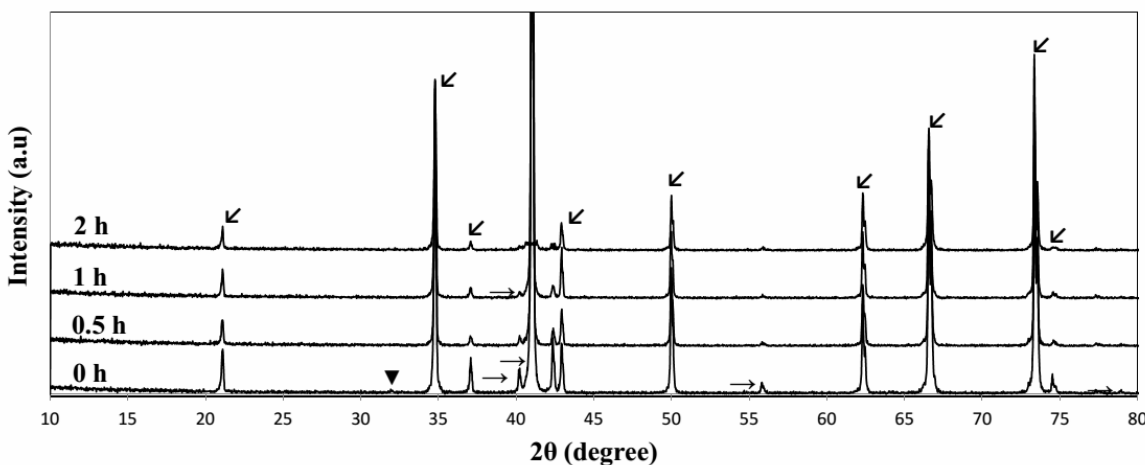
در جدول ۱ زمان لازم برای رسیدن به دماهای مورد نظر در کوره مایکروویو آورده شده است. همانگونه که مشاهده می‌شود زمان لازم برای رسیدن به دمای ۱۲۰۰°C، ۳۶ دقیقه است. به عبارت دیگر برای سنتز پودر Zn₂TiO₄ خالص این زمان کافی است. کوتاه بودن زمان سنتز در کوره مایکروویو، کم هزینه بودن و به صرفه بودن این روش را برای سنتز این ماده نشان می‌دهد.

جدول ۱- زمان لازم برای رسیدن به دماهای مورد نظر در کوره مایکروویو

دما (°C)	زمان (min)
۱۲۰۰	۳۶
۱۱۰۰	۱۹
۱۰۰۰	۱۸
۹۰۰	۱۱
۸۰۰	۹
۷۰۰	۶
۶۰۰	۷
۵۰۰	۶
۴۰۰	۵

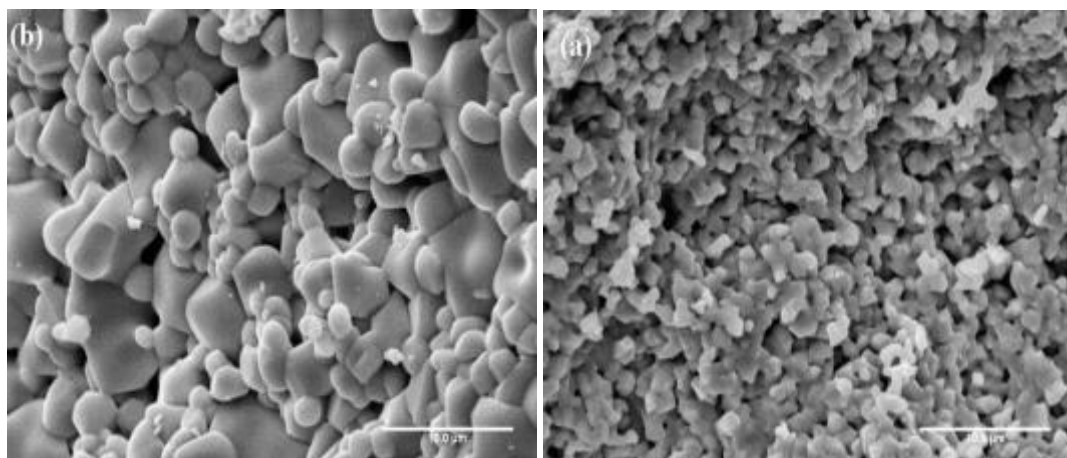
برای مقایسه روش حرارتدهی مایکروویو با حرارتدهی مرسوم در کوره الکتریکی، نمونه‌های نیز در دمای ۱۲۰۰°C با زمان نگهداری ۳۰، ۶۰ و ۱۲۰ دقیقه در کوره الکتریکی حرارت داده شدند (سرعت گرم کردن کوره ۱۰ °C/min بود و بعد از نگهداری در دمای ماکریم کوره به طور طبیعی سرد گردید).

شکل ۶ الگوی پراش اشعه X نمونه‌های سنتز شده در کوره الکتریکی در دمای ۱۲۰۰°C آورده شده است. همانطور که مشاهده می‌شود در این دما بدون زمان نگهداری نیز فاز Zn₂TiO₄ تشکیل شده است و پیک‌های اصلی این فاز وجود دارد. اما نکته‌ای که در این نمودارها دیده می‌شود پیک‌های کوچکی مربوط به مواد اولیه است که اثبات می‌کند سنتز فاز Zn₂TiO₄ هنوز کامل نشده است. با افزایش زمان نگهداری تا ۲ ساعت سنتز فاز مورد نظر انجام شده است و هیچ گونه پیکی مربوط به مواد اولیه و یا فازهای ثانویه در الگوی پراش اشعه X آن دیده نمی‌شود.



شکل ۶- الگوی پراش اشعه X مربوط به نمونه‌های سنتز شده در کوره الکتریکی در دمای 1200°C در زمان‌های مختلف: \blacktriangledown : TiO_2 ; \blacktriangleleft : Zn_2TiO_4 ; \blacktriangleright : ZnO

تصاویر SEM پودرهای سنتز شده از طریق حرارت دهی در مایکروویو و کوره الکتریکی در دمای 1200°C در شکل ۷ آورده شده است. این تصاویر نشان می‌دهد که پودرهای سنتز شده با هر دو روش تا حد زیادی آگلومره هستند. به عبارت دیگر ذرات کوچکتر به هم جوش خورده‌اند و ذرات بزرگتر را تشکیل داده‌اند. همچنین مشاهده می‌شود که ذرات پودر سنتز شده در مایکروویو کوچکتر و کمتر آگلومره شده است. این موضوع را می‌توان به سریع بودن حرارت دهی در مایکروویو مربوط دانست که باعث می‌شود ذرات فرصت به هم پیوستن و تشکیل آگلومره‌های بزرگ‌تر را نداشته باشند. در حقیقت علیرغم اینکه سنتز از طریق واکنش‌های جامد از نظر قیمت محصول روش مفیدی است اما آگلومره شدن شدید و کنترل سخت ذرات از مشکلات عمده‌ی آن است. آگلومره‌ها سبب غیریکنواختی فشردگی در بدنه خام می‌شود و همین غیریکنواختی سبب متغیر بودن زینتر نمونه می‌شود. متغیر بودن زینتر شدن هنگامی رخ می‌دهد که نواحی مختلف قطعه با سرعت‌های مختلف منقبض شود. این حالت مشکلات جدی مثل، گسترش تخلخل و حفره‌های ترک مانند در بدنه‌ی زینتر شده را ایجاد می‌کند؛ بنابراین در این روش به یک مرحله آسیاب پس از سنتز هم نیاز است.



شکل ۷- تصویر SEM ترکیب Zn_2TiO_4 سنتز شده در دمای 1200°C (a) مایکروویو (b) کوره الکتریکی

۴- نتیجه‌گیری

- با استفاده از حرارت دهی مایکروویو امکان سنتز فاز Zn_2TiO_4 در دمای 1200°C وجود دارد. زمان کل حرارت دهی از دمای اتفاق به این دما ۳۶ دقیقه می‌باشد. سنتز فاز فوق بدون تشکیل فاز ثانویه بود و یا اینکه میزان فاز ثانویه بسیار ناچیز بود. این در حالی است که با استفاده از حرارت دهی در کوره الکتریکی این فاز در 120°C بعد از 120 دقیقه حرارت دهی در این دما

تشکیل گردید. با توجه به سرعت گرمایش $10^{\circ}\text{C}/\text{min}$ ، در کل 240 دقیقه زمان برای تشکیل فاز در کوره الکتریکی لازم است. این نتیجه برتری حرارت دهی مایکروویو نسبت به حرارت دهی در کوره الکتریکی را نشان می‌دهد.

- با توجه به نتایج پراش اشعه X، در حرارت دهی توسط امواج مایکروویو تشکیل فاز Zn_2TiO_4 از دمای 1000°C آغاز و در دمای 1200°C تکمیل می‌گردد.
- آنالیز STA نشان داد که در دمای حدود 950°C یک پیک گرمایزا وجود دارد که می‌توان به تشکیل فاز Zn_2TiO_4 مربوط دانست.
- آنالیز SEM نشان داد که در هر دو روش حرارت دهی مایکروویو و حرارت دهی در کوره الکتریکی ذرات سنتز شده از ذرات کوچک‌تر به هم جوش خورده تشکیل گردیده‌اند. به عبارت دیگر پودرهای بدست آمده در هر دو روش شدیداً آکلومره بودند اما آکلومره‌های تشکیل شده با حرارت دهی در مایکروویو بسیار کوچک‌تر از کوره الکتریکی بودند که می‌توان به سریع بودن فرآیند حرارت دهی در مایکروویو اشاره کرد که سبب می‌شود آکلومره‌ها فرصت بزرگ شدن و رشد نداشته باشند.

مراجع

- [1] R. Freer, F. Azough; "Microstructural engineering of microwave dielectric ceramics" *Journal of the European Ceramic Society* 28 (2008) 1433–1441.
- [2] H. BarzegarBafrooei, E. TaheriNassaj, C.F. Hu, Q. Huang, T. Ebadzadeh; "Microwave sintering of nanopowder ZnNb_2O_6 : Densification,microstructure and microwave dielectric properties"*Physica B* 454 (2014), 35–4.
- [3] M. T. Sebastian, *Dielectric Materials for Wireless Communication* Elsevier, 2008.
- [4] S. Ghanbarnezhad, A. Nemati, R. Naghizadeh; "Low Temperature Synthesis of Zinc-TitanateUltra Fine Powders" APCBEE Procedia 5 (2013) 6–10.
- [5] F. H. DullN and D. E. Rase, "Phase Equilibria in the System $\text{ZnO}-\text{TiO}_2$ ", *Journal of the American Ceramic Society*, 43 (1960) 125-131.
- [6] S. F. Bartram and R. A. Slepetys, "Compound Formation and Crystal Structure in the System $\text{ZnO}-\text{TiO}_2$ ", *Journal of the American Ceramic Society*, 44 (1961) 493-499.
- [7] X. Liu, M. Zhao, F. Gao, L. Zhao, and C. Tian, "Effects of WO_3 additions on the phase structure and transition of zinc titanate ceramics", *Journal of Alloys and Compounds*, 450 (2008) 440-445.
- [8] H. Obayashi, Y. Sakurai, and T. Gejo, "Perovskite-type oxides as ethanol sensors", *Journal of Solid State Chemistry*, 17 (1976) 299-303.
- [9] O. Yamaguchi, M. Morimi, H. Kawabata, and K. Shimizu, "Formation and Transformation of ZnTiO_3 ", *Journal of the American Ceramic Society*, 70 (1987), C-97-C-98.
- [10] C.-F. Shih, W.-M. Li, M.-M. Lin, C.-Y. Hsiao, and K.-T. Hung, "Low-temperature sintered $\text{Zn}_2\text{TiO}_4:\text{TiO}_2$ with near-zero temperature coefficient of resonant frequency at microwave frequency", *Journal of Alloys and Compounds*, 485 (2009) 408-412.
- [11] C. Li, Y. Bando, M. Nakamura, N. Kimizuka, and H. Kito, "Precipitate within the spinel-type Zn_2TiO_4 matrix studied by high-resolution analytical transmission electron microscopy", *Materials Research Bulletin*, 35 (2000) 351-358.
- [12] N. Obradovic, N. Mitrovic, and V. Pavlovic, "Structural and electrical properties of sintered zinc-titanate ceramics", *Ceramics International*, 35 (2009) 35-37.
- [13] S. K. Manik and S. K. Pradhan, "Preparation of nanocrystalline microwave dielectric Zn_2TiO_4 and ZnTiO_3 mixture and X-ray microstructure characterization by Rietveld method", *Physica E: Low-dimensional Systems and Nanostructures*, 33 (2006) 69-76.
- [14] Y.H. Yu and M. Xia, "Preparation and characterization of ZnTiO_3 powders by sol-gel process", *Materials Letters*, 77 (2012) 10-12.
- [15] G. Akgül, "Synthesis and structural characterization of zinc titanates", *Journal of Molecular Structure*, 1037 (2013) 35–39.
- [16] S. Das, A. K.Mukhopadhyay, S. Datta, and D. Basu, "Prospects of microwave processing: An overview", *Bulletin of Materials Science*, 32 (2009) 1-13.

تازه‌های نشر

کتاب خواص مکانیکی سرامیک‌ها (جلد اول)

مترجمان: مهدی خدایی، مرجان شیری، حمیدرضا بهاروندی، ناصر احسانی، داود عالی پور
 خواص مکانیکی سرامیک‌ها یکی از مهم‌ترین مباحث شناختی این دسته از مواد است.
 بررسی رفتار سرامیک‌ها در مقابل تنش‌های وارد، از عمده‌ترین مباحث پایه برای درک
 خواص مکانیکی آن‌هاست؛ بنابراین به منبعی نیاز است که علاقمندان را در شناخت هر
 چه بیشتر سرامیک‌ها یاری نماید. کتاب حاضر مشتمل بر چهارده فصل است که با بیان
 مفهوم تنش و کرنش آغاز شده، سپس به بررسی انواع رفتار مکانیکی می‌پردازد. در
 ادامه، رفتار الاستیستیته، مکانیک شکست الاستیک خطی، اندازه‌گیری الاستیستیته،
 استحکام و چermگی شکست، بررسی آماری استحکام، اشاعه ترک در شرایط کمتر از
 حد بحرانی و رفتار منحنی R، را مورد بررسی قرار می‌دهد. سازوکارهای چermه کردن
 سرامیک‌ها مانند تاثیر ریزساختار بر چermگی، چermه کردن از طریق استحاله فازی از
 جمله موضوع‌های دیگر مورد اشاره در این کتاب است. خواص مکانیکی کامپوزیت‌های
 زمینه سرامیکی تقویت شده با الیاف و ویسکر نیز به تفضیل مورد مطالعه قرار می‌گیرد.



معرفی پایان نامه های دانشجویی

پایان نامه دکترا

سنتز الیاف نانوساختار شیشه‌سرامیک $\text{CaCu}_3\text{Ti}_4\text{O}_{12}$ به روش الکتروریسی و بررسی خواص دی الکتریک کامپوزیت $\text{CaCu}_3\text{Ti}_4\text{O}_{12}$ پلی متیل متاکریلات

دانشجو: مریم محمدی
استاد راهنما: پروین علیزاده
دانشگاه تربیت مدرس

چکیده: در این تحقیق اثر افزودن SiO_2 بر رفتار پخت، ریخت شناسی و خواص دی الکتریک نمونه های بالک و الیاف $\text{CaCu}_3\text{Ti}_4\text{O}_{12}$ (CCTO) بررسی شده است. آنالیزهای TEM , SEM , FTIR , XRD , TG-DSC و امپدانس اسپکتروسکوپی جهت مطالعه نمونه ها مورد استفاده قرار گرفته است. با توجه به نتایج به دست آمده، افزودن ۵% SiO_2 به سرامیک های CCTO موجب کاهش دمای سیسترنومونه بالک از 1100°C به 1060°C و الیاف از 900°C به 100°C گردیده است. همچنین بررسی ریزساختار نمونه ها حاکی از رین دانه شدن ساختار بر اثر افزودن SiO_2 (اندازه دانه نمونه بالک و الیاف به ترتیب کمتر از ۲ میکرومتر و کمتر از ۵۰ نانومتر) می باشد. پارامتر شیشه نمونه های حاوی SiO_2 به مقایسه با نمونه های خالص تغییر محسوسی نکرده است. همچنین اندازه گیری های امپدانس نشان دهنده افزایش مقاومت مرzdane و متعاقب آن کاهش اتفاق دی الکتریک در اثر افزودن SiO_2 می باشد. به طوری که مقاومت مرzdane نمونه های بالک خیرخالص سیسترنومونه به مدت ۴ و ۱۲ ساعت به ترتیب برابر با $(\text{M}\Omega)$ 1019 و 1123 به دست آمده و اتفاق دی الکتریک این نمونه ها در فرکانس 1kHz در دمای محیط به مقادیر 0.039 و 0.061 کاهش یافته است. سنتز الیاف CCTO خالص در صورت استفاده از محلول سرامیکی حاوی نمک های نیترات مس و کلسیم امکان پذیر می باشد. محلول های حاوی 27g/m^3 پلی وینیل پاکرولید دون جهت انجام فرایند الکتروریسی پیوسته مناسب می باشند. ثابت دی الکتریک محاسبه شده توسط مدل لیختنکر برای الیاف خالص و غیر خالص CCTO در فرکانس 1kHz به ترتیب برابر با 161 و 17 می باشد. بررسی خواص دی الکتریک کامپوزیت های پلی متیل متاکریلات / الیاف CCTO حاکی از کاهش اتفاق دی الکتریک فصل مشترک الیاف با زمینه پلیمری در فرکانس 100Hz از 10.5 به 10.0 در اثر افزودن ۵% SiO_2 می باشد. به منظور بهبود ترشوندگی الیاف با زمینه، فیلرها در محلول متشکل از دودسیل بنزن سولفونیک اسید و تولوئن عامل دار شده اند. بر اساس نتایج FTIR ظهور پیک جدید در محدوده 1222cm^{-1} نشان دهنده ایجاد پیوند مناسب میان محلول اسید سولفونیک و الیاف بوده و همین امر موجب افزایش ثابت دی الکتریک کامپوزیت های حاوی الیاف عامل دار شده است. کامپوزیت های پلی متیل متاکریلات / الیاف خالص CCTO حاوی 50 حجمی الیاف عامل دار و غیر عامل دار، به ترتیب دارای ثابت دی الکتریک برابر با 110 و 54 در فرکانس 1 هرتز می باشند.

پایان‌نامه کارشناسی ارشد

ساخت و مشخصه‌یابی نانو کامپوزیت سیمان زیست فعال کلسیم آلومیناتی / در حضور بایوگلاس حاوی نانو نقره

دانشجو: هرا اراك

استاد راهنما: محمد رضا نیافروشان

استاد مشاور: علی دوست محمدی

دانشگاه شهرکرد

چکیده: بیوسرامیک‌ها به طور کلی شامل سرامیک‌ها، شیشه‌های زیستی و شیشه سرامیک‌ها می‌باشند. سیمان‌های زیست فعال از جمله بیو سرامیک‌های پرکاربرد هستند که در سیستم‌های کلسیم فسفاتی، کلسیم سیلیکاتی و کلسیم آلومیناتی قرار دارند و به دلیل توانایی پیوند با بافت‌های نرم و سخت از جمله مهم‌ترین بیومواد مصرفی در پزشکی و دندانپزشکی برای ترمیم عیوب استخوانی، دندانی و کلیه بافت‌های نرم و سخت کاربرد دارند. در این پژوهش نمونه‌هایی با ابعاد مناسب از خمیر سیمانی حاوی شیشه زیست فعال در درصد‌های وزنی ۰،۱، ۰،۳ و ۰،۵ و نانو نقره در سه درصد وزنی ۰/۲۵، ۰/۵ و ۰/۷۵ تهیه شد. هیدراسیون این نمونه‌ها در دمای ۳۷ درجه سلسیوس تحت سه دوره زمانی ۷، ۲۱ و ۲۸ روز داخل حمام بن ماری صورت گرفت. سپس به بررسی خواص فیزیکی نمونه‌های سیمانی اعم از دانسته بالک؛ تخالخل باز، همچنین خواص مکانیکی، خاصیت آنتی باکتریال و به بررسی تست سمیت و آزمون FTIR پرداخته شده است نمونه حاوی ۳ درصد وزنی شیشه زیست فعال و ۰/۵ درصد وزنی نانو نقره از نظر خواص فیزیکی و تست استحکام بھینه بوده و نسبت به باکتری گرم مشبت استافیلوکوکوس آرئوس و گرم منفی اشریشیا کلی دارای خاصیت آنتی باکتریال است. افزایش میزان نانو نقره با میزان کشندگی باکتری رابطه مستقیم دارد به طوری که نمونه حاوی ۱ درصد وزنی بعد از ۵ گذشت ۱۰ ساعت از قرار گرفتن در دمای ۳۷ درجه داخل دستگاه چگالی نوری صفر را از خود نشان می‌دهد، نتایج حاصل از تست سمیت سلولی بیانگر این است که نانو کامپوزیت ساخته شده با داشتن درصد زیستایی ۹۳/۹۶۹۸۵ نسبت به سیمان خالص با درصد زیستایی ۸۳/۰۷۱۶۱ دارای خاصیت عدم سمیت سلولی است.

کلمات کلیدی: آلومینا، زیرکونیا، نانولوله کربنی، پلیویدون، ریخته گری نواری.

تقویت زیست فعالی شیشه-سرامیک‌های کلسیم فسفاتی با عملیات حرارتی کنترل شده

دانشجو: محمدرضا جلالی
استاد راهنما: ناصر هاتفی کرگان
دانشگاه سیستان و بلوچستان

چکیده: شیشه-سرامیک‌های کلسیم فسفاتی جزء دسته‌ای از مواد زیست فعال هستند که می‌توانند در کاربردهای زیست-پزشکی به ویژه در جایگزینی استخوان‌های آسیب دیده بدن استفاده شوند. با عملیات حرارتی می‌توان فاز نانوبولورهای تشکیل شده در شیشه-سرامیک را تغییر داد که این امر باعث بهمود در خواص شیشه-سرامیک‌های کلسیم فسفاتی می‌شود. در این تحقیق شیشه-سرامیک‌های کلسیم فسفاتی با مخلوط کردن مواد NaCl و P_2O_5 و CaCl_2 و CaO_5 و به وسیله عملیات حرارتی کنترل شده ساخته شدند. به منظور بررسی زیست فعالی، نمونه‌های شیشه-سرامیکی پس از پودر شدن، طی مدت‌های ۱۰، ۲۰ و ۳۰ روز درون محلول رینگرز غوطه‌ور شدند. ترکیب و ساختار فازهای بلوری تشکیل شده در شیشه-سرامیک‌ها، قبل و بعد از غوطه‌وری با استفاده از آنالیز پراش اشعه X (XRD) مورد بررسی قرار گرفت که در پی آن مشخص شد فازهای بلوری زیست فعال بتا تری کلسیم فسفات ($\text{Ca}_3(\text{PO}_4)_2 - \beta$) و بتا کلسیم پیروفسفات ($\text{Ca}_2\text{P}_2\text{O}_7 - \beta$) با افزایش دمای بازپخت 540°C به 560°C در شیشه-سرامیک‌های ساخته شده شکل گرفته‌اند. همچنین به کمک اطلاعات حاصل از الگوهای XRD طیف‌های FT-IR و تصاویر SEM تشکیل لایه هیدروکسی آپاتیت روی نمونه‌ها بعد از غوطه‌وری درون محلول رینگرز بررسی شد. به طوری که در طیف‌های FT-IR قله‌های جنبی در محدوده $450-480\text{ cm}^{-1}$ ، $550-580\text{ cm}^{-1}$ ، 750 cm^{-1} ، 915 cm^{-1} و 1050 cm^{-1} مشاهده شد که این قله‌ها مربوط به پیوند $\text{P}-\text{O}$ بوده که در شبکه بلوری هیدروکسی آپاتیت نیز دیده می‌شوند. همچنین قله‌های جنبی نیز در حدود نواحی 1611 cm^{-1} ، 1613 cm^{-1} و 3417 cm^{-1} نمایان شد که مربوط به ارتعاش O-H بوده و در شبکه بلوری هیدروکسی آپاتیت به حرکات کششی یون‌های هیدروکسیل نسبت داده می‌شود. نتایج حاصل از آنالیزهای بیان شده نشان می‌دهند که با انتخاب دمای بازپخت مناسب می‌توان تشکیل هیدروکسی آپاتیت را تحت تأثیر قرار داد و به زیست فعالی بالاتری از شیشه-سرامیک کلسیم-فسفاتی ساخته شده دست یافت.

اعضاي حقوقی انجمن سراميك ايران

اعضاي حقوقی ویژه انجمن سراميك ايران



شرکت پویا همراه سرام (بازرگانی) و مهندسین مشاور(ا)

مدیر عامل: مهندس محسنی طارمسري

آدرس دفتر مرکزی: تهران، تهرانپارس،

خیابان رشید، بخش خیابان ۱۴۴ غربی، ساختمان امیرکبیر، طبقه ۲، واحد ۱۰

تلفن دفتر مرکزی: ۰۲۱-۷۷۲۹۵۴۹۸

نشانی سایت: www.phceram.com



تهپه و تولید مواد نسوز کشور

مدیر عامل: مهندس باقری

آدرس دفتر مرکزی: تهران، یوسف آباد،

خیابان ابن سینا، بخش خیابان ۳۱، شماره ۸۲

تلفن دفتر مرکزی: ۰۲۱-۸۸۷۱۲۵۶۲

نشانی سایت: www.irrep.com



لابيران

مدیر عامل: دکتر نعمتی

آدرس دفتر مرکزی: تهران، میدان

ونک، خیابان گاندي شمالی، کوی شهيد صانعی، شماره ۲۵

تلفن دفتر مرکزی: ۰۲۱-۸۸۷۹۵۱۴۱-۲

نشانی سایت: www.loab.iran.com



شرکت سهامي شيشه قزوين (عام)

مدیر عامل: مهندس محمدرضا علاقنديان

آدرس دفتر مرکزی: تهران،

خیابان استاد مطهری، خیابان شهید سرافراز، پلاک ۳۴

تلفن دفتر مرکزی: ۰۲۱-۸۸۷۳۱۵۱۵

نشانی سایت: www.ghazvinglass.com

Glassworks Hounsell Ltd

مدیر عامل:

Mr. William Brinkman

آدرس دفتر مرکزی: Glassworks Hounse, Park Lane, Halesowen, West Midlands, United Kingdom

تلفن دفتر مرکزی:

۴۴-(۰)-۱۳۸۴۵۶۰۶

فاکس: ۴۴-(۰)-۱۳۸۴۵۶۱۳۶

نشانی سایت:

<http://www.glassworkshounsell.co.uk>



مجتمع کارخانجات تولیدی

توس چيني

مدیر عامل: مهدى كاملان نجار

آدرس دفتر مرکزی: مشهد،

صلع غربى میدان احمدآباد، پلاک

۱۲

تلفن دفتر مرکزی: ۰۵۱۳-۸۴۱۶۸۸۰

نشانی سایت: www.toosporcelain.com

اعضای حقوقی ممتاز انجمن سرامیک ایران

دانشگاه آزاد اسلامی واحد دزفول

مدیر عامل: دکتر متین

آدرس: دزفول، کوی آزادگان، دانشگاه آزاد اسلامی



تلفن دفتر مرکزی:

۰۶۴-۱۶۲۶۲۰۹۰

نشانی سایت:

www.iaud.ac.ir

چینی بهداشتی آرمیتاژ

مدیر عامل: مهندس محمدحسین وکیلی مقدم

آدرس دفتر مرکزی: تهران، میدان ونک، خیابان ونک، پاساز تک،

طبقه دوم، آپارتمان شماره ۷

تلفن دفتر مرکزی: ۰۲۱-۸۸۷۹۰۲۲۷

نشانی سایت: <http://www.armitagesw.com>



چینی بهداشتی



شاپیراد تجارت پارس

مدیر عامل: مهندس محمدرضا

آجرلو

آدرس: تهران، خیابان آفریقا،

خیابان فرزان غربی، پلاک ۸۰، واحد ۱۱

تلفن: ۰۲۱-۸۸۶۴۸۳۱۰

نشانی سایت: www.shyrad.com

دانشگاه آزاد اسلامی واحد علوم و

تحقیقات خوزستان

مدیریت: دکتر لک

آدرس: اهواز، سهراه فرودگاه، دانشگاه آزاد

واحد علوم و تحقیقات

تلفن دفتر مرکزی: ۰۶۱-۳۴۴۵۷۱۷۴

نشانی سایت: www.khouzestan.srbiau.ac.ir



کاشی گرانیت و کاشی لعاب زهره

مدیر عامل: مهندس خیاط

آدرس دفتر مرکزی: خراسان رضوی، کاشمر، کیلومتر ۱۲ محور



کاشمر به مشهد، جنب

شهرک صنعتی، شرکت کاشی

زهره کاشمر

تلفن دفتر مرکزی: ۰۵۱-۵۵۳۸۳۵۹۱

نشانی سایت: www.zohretile.com

کاشی کسری

مدیر عامل: مهندس روشنفسکر

آدرس دفتر مرکزی: تهران، خیابان آفریقا،

خیابان ناهید شرقی، پلاک ۱۲، طبقه ۳ و ۵

تلفن دفتر مرکزی: ۰۲۱-۲۲۰۱۰۱۴۰

نشانی سایت:

www.kasratileco.com



فرآورده‌های نسوز ایران

مدیر عامل: مهندس لقمانی



آدرس دفتر مرکزی: تهران، خیابان بهار شیراز،

خیابان سلیمان خاطر، بعد از ملایری پور، پلاک ۵۱

واحد ۳

تلفن دفتر مرکزی: ۰۲۱-۸۸۳۴۳۴۰۸

نشانی سایت: www.irefco.ir

فرآورده‌های نسوز آذربایجان

مدیر عامل: مهندس سلیمانی فرد

آدرس دفتر مرکزی: تهران، خیابان ولیعصر، بالاتر از پارک ساعی،

کوچه ساعی ۲، روبروی مدرسه پسرانه هاتف، پلاک ۳۱، واحد منفي ۱

تلفن دفتر مرکزی:

۰۲۱-۸۸۸۸۲۰۹۵

نشانی سایت:

www.azarref.ir



شرکت فرآورده‌های نسوز آذربایجان
AZAR REFRactories CO.

اعضاي حقوقی انجمن سراميك ايران

آريا تهران سرام

مدير عامل: محمد على سليماني
آدرس دفتر مرکزی: تهران، خيابان ملاصدرا، خيابان شيرازی جنوبی، خيابان اتحاد، پلاک ۴، واحد ۱۰۱۰-۸۸۰۵۹۶۱۰

تلفن دفتر مرکزی: آريا تهران سرام

آپادانا سرام

مدير عامل: مهندس نجفي
آدرس دفتر مرکزی: تهران، خيابان ملاصدرا، روبروي بيمارستان بقيه الله، كوچه گلشت، گلشت يكم، پلاک ۸ ۰۲۱-۸۴۳۱۰۰۰۰

تلفن دفتر مرکزی: آپادانا سرام

نشانى سایت: www.apadanaceram.com

ايران آيمدي

مدير عامل: مهندس مطلب لو
آدرس دفتر مرکزی: تهران، خيابان شيراز شمالی، نيش كوچه شهريار، ساختمان ۳۳، واحد ۱۲ ۰۲۱-۸۰۴۷۰۷۱

تلفن دفتر مرکزی: ايران آيمدي

نشانى سایت: www.imdco.net

اشكان پارت آفرین

مدير عامل: دكتر غفارى
آدرس دفتر مرکزی: کرج، گلشهر ويلا رودكى ۲۷۱ غربى، پلاک ۸ ۰۲۶۳-۶۶۷۰۸۳۶

تلفن دفتر مرکزی: اشكان پارت آفرین

پارس کائولون

مدير عامل: مهندس صمدی
آدرس: طبس، نرسيده به جو خواه، معدن کائولون پارس ۰۲۱-۸۰۷۵۵۷۳

تلفن: پارس کائولون

نشانى سایت: www.parskaolin.com

پاتروشان نیکتا

مدير عامل: مهندس حسام ادip
آدرس: تهران، خيابان ملاصدرا، پلاک ۱۶۲، طبقه چهارم ۰۲۱-۸۲۱۰۸۹۰

تلفن: پاتروشان نیکتا

نشانى سایت: www.patron.group

پژوهشگاه مواد و انرژي

مديريت: دكتر صالحی
آدرس دفتر مرکزی: تهران، ميدان آزادی، انتهاي خيابان الوند، كوچه جوين، پلاک ۱۶ ۰۲۱-۸۷۷۱۶۲۶-۲۷

تلفن دفتر مرکزی: پژوهشگاه مواد و انرژي

نشانى سایت: www.merc.ac.ir

پژوهشگاه علوم و فناوري رنگ

مديريت: دكتر رنجبر
آدرس دفتر مرکزی: بزرگراه صياد شيرازی شمالی، خروجي لويزان، ميدان حسين آباد، خيابان وفامنش، نيش كوچه شمس، پلاک ۵۹ ۰۲۱-۲۲۹۴۴۱۸۴

تلفن: پژوهشگاه علوم و فناوري رنگ

نشانى سایت: www.icrc.ac.ir

پيشگامان سراميك برسام

مدير عامل: مهندس سرجهاني
آدرس دفتر مرکزی: شيراز، بلوار اميركبير برج صنعت ورودي ۳، طبقه ۴، واحد ۴۱۷ ۰۷۱-۳۸۳۸۵۴۴۴

تلفن دفتر مرکزی: پيشگامان سراميك برسام

نشانى سایت: www.barsamceram.com

پيشرو ذوب آتور

مدير عامل: مهندس ملائي دارياني
آدرس دفتر مرکزی: تهران، خيابان احمد قصیر، كوچه يكم، پلاک ۶، واحد ۱۰ ۰۲۱-۸۸۵۴۹۸۸۴

تلفن دفتر مرکزی: پيشرو ذوب آتور

نشانى سایت: www.pishrozob.com



تولیدی و صنعتی سامان کاشی
 مدیر عامل: مهندس سیدمحمسنی
 آدرس دفتر مرکزی: تهران، بلوار میرداماد،
 بین نفت و مدرس، شماره ۲۳۷، طبقه ۱
 تلفن دفتر مرکزی: ۰۲۱-۲۲۵۸۸۲۱
 نشانی سایت: www.samantile.com



ترجمه سرامیک
 مدیر عامل: مهندس سلطانی
 آدرس دفتر مرکزی: تهران،
 خیابان ونک، خیابان آفتاب، برج آفتاب، طبقه اول اداری، واحد ۱
 تلفن: ۰۲۱-۸۸۶۱۲۹۳۹
 نشانی سایت: www.terme.ir

تهیه و تولید خاک نسوز استقلال آباده
 مدیر عامل: مهندس زارعی
 آدرس دفتر مرکزی: آباده، چهارراه جوادیه
 تلفن دفتر مرکزی: ۰۷۱-۴۴۳۳۷۹۹۷



تولیدی و مهندسی نسوزین
 مدیر عامل: مهندس زرعیان
 آدرس دفتر مرکزی: تهران، میدان
 آرژانتین، خیابان بیهقی، خیابان دوازدهم
 شرقی، پلاک ۲، طبقه ۳، شماره ۶
 تلفن دفتر مرکزی: ۰۲۱-۸۸۵۰۴۵۹۱
 نشانی سایت: www.nasoozin.com



چینی اصفهان
 مدیر عامل: مهندس جهانبانی
 آدرس: اصفهان، جاده دولت آباد، خیابان بهارستان، اولین فرعی سمت
 چپ، خیابان خوشانی
 تلفن دفتر مرکزی: ۰۳۱-۴۵۸۳۶۲۰۰

تهیه و تولید مواد اولیه آریاکانی اسپادانا
 مدیر عامل: دکتر پویامهر
 آدرس دفتر مرکزی: اصفهان، خیابان ملاصدرا، خیابان پانزدهم،
 پلاک ۳۴، واحد ۳
 تلفن دفتر مرکزی: ۰۳۱۳-۶۶۱۷۵۳۷-۸



چینی زرین ایران
 مدیر عامل: مهندس قصاعی
 آدرس دفتر مرکزی: تهران، میدان ونک،
 خیابان ونک، ساختمان شماره ۲۵
 تلفن دفتر مرکزی: ۰۲۱-۸۸۷۰۰۴۴
 نشانی سایت: www.zariniran.com



چینی بهداشتی ارس
 مدیر عامل: مهندس حسین پور
 آدرس دفتر مرکزی: تهران،
 خیابان ملاصدرا، خیابان شیخ بهایی،
 میدان شیخ بهایی، برج صدف، طبقه ۴، واحد ۶۴
 تلفن دفتر مرکزی: ۰۲۱-۸۸۶۰۶۵۰۸
 نشانی سایت: www.arasind.com



دانشگاه ملایر
 مدیریت: دکتر علیرضا سوری
 آدرس: دانشگاه ملایر، دانشکده فنی و مهندسی،
 گروه مهندسی مواد
 تلفن: ۰۸۱-۳۲۳۵۵۴۶۵
 نشانی سایت: www.malayeru.ac.ir



خاک چینی ایران
 مدیر عامل: مهندس نوروزی
 آدرس دفتر مرکزی: خیابان ولیعصر، نرسیده به
 پل پارک وی، کوچه خاکزاد، پلاک ۲۱، طبقه اول
 تلفن دفتر مرکزی: ۰۲۱-۲۲۰۱۸۱۰۷



رنگدانه های سرامیکی گهر فام
 مدیر عامل: مهندس مهینی
 آدرس دفتر مرکزی: یزد، شهرک صنعتی خضرآباد، بلوار اقامیه،
 خیابان زیتون
 تلفن دفتر مرکزی: ۰۳۵۳-۷۲۷۲۴۴۸



درسا سرام ایستادیس
 مدیر عامل: مهندس ندافیان
 آدرس دفتر مرکزی: سعادت آباد،
 بلوار فرهنگ، نبش خیابان ۲۰ شرقی، پلاک ۲، طبقه ۴ شمالی
 تلفن: ۰۲۱-۲۲۳۸۳۱۶۰
 نشانی سایت: www.Doramic.com



Sara Loab Maybod.co

سارا لاب مید
مدیر عامل: مهندس جعفری پور
میدی
آدرس دفتر مرکزی: مید، شهرک
صنعتی جهان آباد، بلوار نسترن، انتهای
بلوار سمت راست
تلفن دفتر مرکزی: ۰۳۵۲-۷۷۷۷۲۲۸
نشانی سایت: www.saralaab.com



سارا کاشی سپاهان
مدیر عامل: مهندس مجذون
آدرس دفتر مرکزی: اصفهان، خیابان
سجاد، ابتدای خیابان ارباب، جنب بانک
صادرات، مجتمع کسری، واحد ۱
تلفن دفتر مرکزی: ۰۳۱۳-۶۶۲۷۱۱۷
نشانی سایت: www.saratile.com



سرامیک های صنعتی اردکان
مدیر عامل: مهندس برهانی
آدرس دفتر مرکزی: اصفهان،
میدان آزادی، ابتدای خیابان
سعادت آباد، پلاک ۱، طبقه ۴، واحد ۸
تلفن دفتر مرکزی: ۰۳۱۳-۶۶۸۷۷۷۲
نشانی سایت: www.aic.ir



ساقار و قطعات نسوز
مدیر عامل: مهندس معرفتی
آدرس: مرند، کیلومتر ۵ جاده قدیم جلفا،
شهرک صنعتی سرامیکی
تلفن: ۰۴۱-۴۲۲۲۳۸۲
نشانی سایت: www.saggarmfg.com



شرکت صنایع سرام آرا
مدیر عامل: مهندس آهنی ها
آدرس دفتر مرکزی: تهران،
خیابان سپهبد قرنی، بالاتر از چهارراه طالقانی، خیابان شاداب غربی،
پلاک ۳۳، طبقه ۶
تلفن دفتر مرکزی: ۰۲۱-۸۸۸۹۱۰۴۵
نشانی سایت: www.ceramara.ir

شرکت بین المللی سارنگ تدارک

مدیر عامل: مهندس اتحادی
آدرس دفتر مرکزی: تهران، خیابان ظفر، پلاک ۱۷۸، طبقه ۱،
واحد ۴
تلفن دفتر مرکزی: ۰۲۱-۲۲۶۵۱۸۰
نشانی سایت: www.sis-company.com



شرکت مهندسی بازرگانی
درداران سریر
مدیر عامل: مهندس طهماسبی
آدرس دفتر مرکزی: تهران،
خیابان ولیعصر، خیابان فتحی شقاوی، میدان سلماس، پلاک ۳، طبقه ۳
تلفن دفتر مرکزی: ۰۲۱-۸۸۳۳۷۳۶۸-۸
نشانی سایت: www.sarirco.com



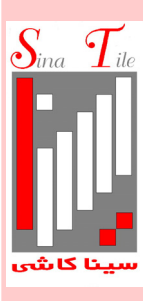
شرکت فیبرونا
مدیر عامل: مهندس شاهپوری
آدرس دفتر مرکزی: تهران،
خیابان میرزا شیرازی، نیش استاد
مطهری، شماره ۲۱۱
تلفن دفتر مرکزی: ۰۲۱-۸۸۷۲۳۳۵۵
نشانی سایت: www.fiberona.com



صناعی کاشی نیلوفر
مدیر عامل: مهندس نوربخش
آدرس دفتر مرکزی: مشهد، بلوار
فردوسي، مجتمع تجاری اسکان، طبقه ۱،
واحد ۲
تلفن دفتر مرکزی: ۰۵۱۳-۷۶۲۳۳۳۶
نشانی سایت: www.nilooftile.com



صناعی کاشی زرین خراسان
مدیر عامل: مهندس عمید متشر
آدرس دفتر مرکزی: تهران، خیابان
ملادصفرا، خیابان شیراز جنوبی، پلاک ۹۹،
طبقه اول
تلفن دفتر مرکزی: ۰۲۱-۸۸۰۶۷۶۸۱
نشانی سایت: www.zarrintile.com



صنایع کاشی و سرامیک سینا

مدیر عامل: مهندس عزیزان

آدرس دفتر مرکزی: تهران، بلوار میرداماد، بعد از
میدان مادر، پلاک ۲۳

تلفن دفتر مرکزی: ۰۲۱-۲۲۲۷۲۳۰۱

نشانی سایت: www.sinatile.ir



صنایع کاشی و سرامیک الوند

مدیر عامل: مهندس هوشیاری

آدرس دفتر مرکزی: تهران، خیابان آفریقا، بالاتر از چهارراه اسفندیار، کوچه شهید سعیدی، پلاک ۲۳

تلفن دفتر مرکزی: ۰۲۱-۲۰۵۷۸۱۱

نشانی سایت: www.alvancer.com



فرآوردهای نسوز آذر شهاب تبریز

مدیر عامل: مهندس صدیقی

آدرس دفتر مرکزی: تبریز، خیابان راه آهن، ایستگاه سرچشمه،
مجتمع تجاری میلاد، طبقه ۳، فروشگاه شهاب



تلفن دفتر مرکزی: ۰۴۱-۳۵۵۱۸۴۴۱

نشانی سایت: www.azarshahab.com



کائولین و خاکهای نسوز خراسان

مدیر عامل: مهندس زیارت نیا

آدرس دفتر مرکزی: مشهد، بلوار فلسطین، فلسطین ۱۴، پلاک ۲۸

تلفن دفتر مرکزی: ۰۵۱۳-۷۶۷۳۰۳۴-۵

نشانی سایت: www.kaolin-co.com

صنعت سرام

مدیر عامل: مهندس غفاری

آدرس دفتر مرکزی: تهران، خیابان فرجام، بین چهارراه خاور و ولیعصر، پلاک ۶۲۰ واحد ۱۱

تلفن دفتر مرکزی: ۰۲۱-۷۷۷۲۳۵۸۹



کاشی تیما

مدیر عامل: دکتر ناصری

آدرس دفتر مرکزی: مشهد، شهرک صنعتی
توس، فاز ۲، اندیشه ۲، انتهای دانش ۲

تلفن دفتر مرکزی: ۰۵۱۳-۵۴۱۳۹۹۰

نشانی سایت: www.tima-tile.com



کاشی ایرانا

مدیر عامل: مهندس حاصل طلب

آدرس دفتر مرکزی: تهران، کیلومتر ۱۳
جاده مخصوص کرج، روپروری ایران خودرو

تلفن دفتر مرکزی: ۰۲۱-۴۴۹۰۵۰۰۱-۵

نشانی سایت: www.irana-tile.com



کاشی طوس

مدیر عامل: مهندس توکلی فرد

آدرس دفتر مرکزی: مشهد

خیابان سناباد، جنب داروخانه سناباد، ساختمان ۴۶۵، طبقه ۳

تلفن دفتر مرکزی: ۰۵۱۳-۸۴۱۶۴۱۸

نشانی سایت: www.toostileco.com



کاشی ستاره میبد

مدیر عامل: مهندس خالقیه

آدرس دفتر مرکزی: تهران، خیابان
مالصدرا، شیزار جنوبی، گرمسار غربی، کوچه بهار، پلاک ۲۶، طبقه ۴، واحد ۷

تلفن دفتر مرکزی: ۰۲۱-۸۰۴۳۷۴۴

نشانی سایت: www.setarehtile.com



کاشی کرد

مدیر عامل: مهندس چنگیزی

آدرس دفتر مرکزی: تهران، پلاک ۳۴

شهروری شمالي، هویزه شرقی

تلفن دفتر مرکزی: ۰۲۱-۸۳۵۲۳۳۳

نشانی سایت: www.cordgroup.com



کاشی فیروزه مشهد

مدیر عامل: مهندس سقاء رضوی

آدرس دفتر مرکزی: مشهد، بلوار سجاد، خیابان بیستون ۲، مجتمع
تجاری طوس، طبقه ۵ و ۶

صندوق پستی: ۹۱۳۷۵-۴۴۳۷

تلفن دفتر مرکزی: ۰۵۱۳-۷۶۷۰۰۰۱

نشانی سایت: www.firoozehtile.com

کاشی مرجان

مدیر عامل: مهندس معصومی

آدرس دفتر مرکزی: اصفهان، خیابان

چهار باع بالا، کوچه کاویان، پلاک ۴۱

تلفن دفتر مرکزی: ۰۳۱۳-۶۲۴۸۰۱۹

نشانی سایت: www.marjantileco.com**کاشی مسعود ايران**

مدیر عامل: مهندس فرشادپور

آدرس دفتر مرکزی: تهران، خیابان آفریقای شمالی، ساختمان

مرکز تجارت ایران، طبقه ۹، واحد ۶

تلفن دفتر مرکزی: ۰۲۱-۲۶۲۱۲۶۲۵-۳۷

نشانی سایت: www.masoudtile.com**کسری لعب مبید**

مدیر عامل: مهندس میرحسینی

آدرس: یزد، شهرک صنعتی جهان آباد، بلوار مریم، فرعی سمت راست

تلفن: ۰۳۵۳-۲۳۷۲۹۳۱

Noavarin Ceramics

A Modern Thought, Based on Ancient Art

www.noavarinceramics.ir**کاشی نواوران**

مدیر عامل: مهندس طباطبایی

آدرس دفتر مرکزی: یزد، مبید، شهرک صنعتی جهان آباد، بلوار مریم

تلفن: ۰۳۵۳-۲۳۷۲۱۹۳

نشانی سایت: www.noavaranceramics.ir**لعبة مارال مبید**

مدیر عامل: دکتر داود قهرمانی

آدرس دفتر مرکزی: یزد، مبید

شهرک صنعتی جهان آباد، بلوار

نسترن شمالی، خیابان صنعت ۹

تلفن دفتر مرکزی: ۰۳۵-۳۲۳۷۴۰۹۶-۷

نشانی سایت: www.maralloab.ir**گلسار فارس**

مدیر عامل: مهندس فرحمدند

آدرس دفتر مرکزی: تهران، خیابان کریم خان

زند، خیابان سپهبد قرنی، خیابان برادران شاداب،

پلاک ۲، طبقه ۳۳، ۳۳

تلفن دفتر مرکزی: ۰۲۱-۸۸۹۰۸۰۴۴

نشانی سایت: www.golsarfars.com**لعاپ ياس فارس**

مدیر عامل: مهندس کریمی علوجیه

آدرس: شیراز، کیلومتر ۳ جاده شیراز بوشهر، بعد از پل شهید علیپور،

جاده ایستگاه شماره ۱ گاز

تلفکس: ۰۷۱۳-۸۳۰۱۹۹۰

مدیر عامل: دکتر یوسفی

آدرس دفتر مرکزی: تهران، خیابان ملاصدرا،

خیابان شیراز جنوبی، کوچه اتحاد، پلاک ۱۴، طبقه ۲

تلفن دفتر مرکزی: ۰۲۱-۸۸۰۴۳۶۹۶

نشانی سایت: <http://www.mashhadglaze.com>**مجتمع تولیدی چینی مقصود**

مدیر عامل: مهندس ایمانی

آدرس دفتر مرکزی: تهران، خیابان

ولیعصر، بالاتر از پارک ساعی، نبش

کوچه ۳۴، پلاک ۱۱۵۹، طبقه ۲

تلفن دفتر مرکزی: ۰۲۱-۸۸۸۶۹۸۵

نشانی سایت: www.maghsoudporcelain.com**مجتمع تولید چینی بهداشتی نوین سرام**

مدیر عامل: مهندس حق

آدرس دفتر مرکزی: مشهد، چهارراه

ابوطالب، مجتمع برجیس، طبقه دوم، واحد ۳

تلفن دفتر مرکزی: ۰۵۱-۱۷۲۷۶۰۳۳

نشانی سایت: www.novinceram.com**مجتمع صنعتی اردکان (چینی رزا)**

مدیر عامل: مهندس ضراییه

آدرس دفتر مرکزی: یزد، چهارراه یزد

با، ساختمان یزدباف، طبقه ۲

تلفن دفتر مرکزی: ۰۳۵۳-۵۲۲۹۷۶۰

نشانی سایت: www.chinirose.com**معدنی و صنعتی سوراوجین عقیق**

مدیر عامل: مهندس معصومی

آدرس دفتر مرکزی: تهران، سعادت

آباد، خیابان علامه شمامی، انتهای کوچه

اقبال ملی، پلاک ۱، واحد ۲

تلفن دفتر مرکزی: ۰۲۱-۲۲۰۸۱۳۷۳

نشانی سایت: www.iranclay.com

مقره سازی ایران



شرکت مقره سازی ایران
«مانه»
Iran Insulator Co.

مدیر عامل: دکتر کورنگی
آدرس دفتر مرکزی: تهران،
خیابان بهار جنوبی، کوچه
نیلوفر، شماره ۴

تلفن دفتر مرکزی: ۰۲۱-۷۷۵۲۸۴۴۲

نشانی سایت: wwwiraninsulator.com

مفید شیشه

مدیر عامل: مهندس موسوی کریمی
آدرس دفتر مرکزی: تهران، خیابان
ولیعصر، پایین تر از میدان ونک، شماره
۲۵۴۰، طبقه ۷

تلفن دفتر مرکزی: ۰۲۱-۸۸۶۶۴۸۱۱

نشانی سایت: wwwmofidglass.com

مهفام جام (سهامی خاص)

مدیر عامل: مهندس دهقان

آدرس دفتر مرکزی: تهران، میدان آزادی، خیابان احمد قصیر،
چهاردهم غربی، پلاک ۲۶، طبقه ۳
تلفن دفتر مرکزی: ۰۲۱-۸۸۵۱۵۰۱۵

تقویم رویدادهای سرامیک

پنجمین کنفرانس بینالمللی آلومینیوم ایران

هتل المپیک، تهران

۱۳۹۷ ۵-۴ اردیبهشت

<http://iic20.ir/fa/>

ششمین کنفرانس بینالمللی متالورژی پودر

هتل عباسی، اصفهان

۱۳۹۷ ۲۷ فروردین

<http://pmauto2018.com/fa/>

7th Asia-Oceania Ceramic Federation Conference

Katahira Sakura Hall, Tohoku University, Sendai, Japan

March, 12-14 2018

<http://www.isac-6.imr.tohoku.ac.jp/>

11th International Advanced Ceramics Exhibition & Conference

China

March, 25-27 2018

<http://www.cn-aceexpo.com/>

54th Annual Symposium on Refractories

St. Louis, MO United States

March, 21-22 2018

<http://ceramics.org/sections/st-louis-section>

CERAMICS CHINA

Guangzhou China

30 May-02 Jun 2018

<http://www.ceramicschina.net/home>

Ceramitec 2018

Munich, Germany

April, 10-13 2018

<https://www.tradefairdates.com/Ceramitec-M3506/Munich.html>

XVI ECerS Conference

Torino, Italy

June, 16-20 2019

<http://www.ecers2019.org/>

Electroceramics XVI

Hasselt, Belgium

July, 9-12 2018

www.electroceramicsxvi.org

Glass Association of North America (GAN) BEC Conference

Las Vegas, NV United States

March, 4-6 2018

<http://www.glasswebsite.com/>

Indian Ceramics 2018

Gujarat India

March, 7-9 2018

<http://www.indian-ceramics.com>

International Conference on Injection Molding of Metals, Ceramics and Carbides

Irvine, CA United States

May, 5-7 2018

<http://www.mim2018.org>

PACRIM13 the13th Pacific Rim conference of Ceramic Societies

Okinawa Convention Center, Japan

October, 27-31 2019

<http://www.ceramic.or.jp/pacrim13/>

Tecnargilla 2018

Rimini Italy

September, 24-28 2018

<http://www.tecnargilla.it>

**42nd International Conference and Expo on Advanced Ceramics and Composites
(ICACC,18)**

Daytona Beach, Fla. USA

January, 21-26 2018

www.ceramics.org/icacc2018

**12th International Conference on Ceramic Materials and Components for Energy
and Environmental Applications (CMCEE2018)**

Singapore

July, 22-27 2018

www.ceramics.org/meetings/acers-meetings

